

Anhang D Überblick Radparameter

Nachfolgend werden die Verläufe von ausgewählten Radparametern für die 11 verschiedenen, 10-achsigen Schnellbahngarnituren der Baureihe A und für 18 der 22 verschiedenen, 12-achsigen Schnellbahngarnituren der Baureihe B (die Garnituren 229, 244, 264 und 303 weisen weniger als 15 verwertbare Vorbeifahrten auf, weshalb auf deren Betrachtung verzichtet wurde) dargestellt. Diese Verläufe beruhen auf einer linearen Interpolation zwischen den Werkstättenaufenthalten, bei welchen die Radprofile erfasst wurden. Die Zeitpunkte dieser Aufenthalte sind zur Orientierung durch senkrechte, rote Linien gekennzeichnet. Um eine direkte Gegenüberstellung zu den Verlaufsdarstellungen akustischer Auffälligkeiten in Anhang C zu erlauben, werden für jede Garnitur zwei Darstellungsvarianten gewählt: zum einen werden die Verläufe über der Zeit aufgetragen, wobei die Vorbeifahrtszeitpunkte von den in den beiden Messquerschnitten erfassten Zügen durch Punkte auf den Interpolationslinien angedeutet sind, und zum anderen werden die Verläufe über der Vorbeifahrtsnummer (fortlaufende Nummerierung aller betrachteten Vorbeifahrten einer Garnitur) dargestellt. Zur Bewertung der absoluten Profilwerte werden die Grenzwerte für den Betrieb und für die Inspektion in den Diagrammen eingetragen (waagrechte strichlierte und punktierte Linien).

D.1 Schnellbahn Typ A

Typ A - 101, kein Regen (MQ1 und MQ2)

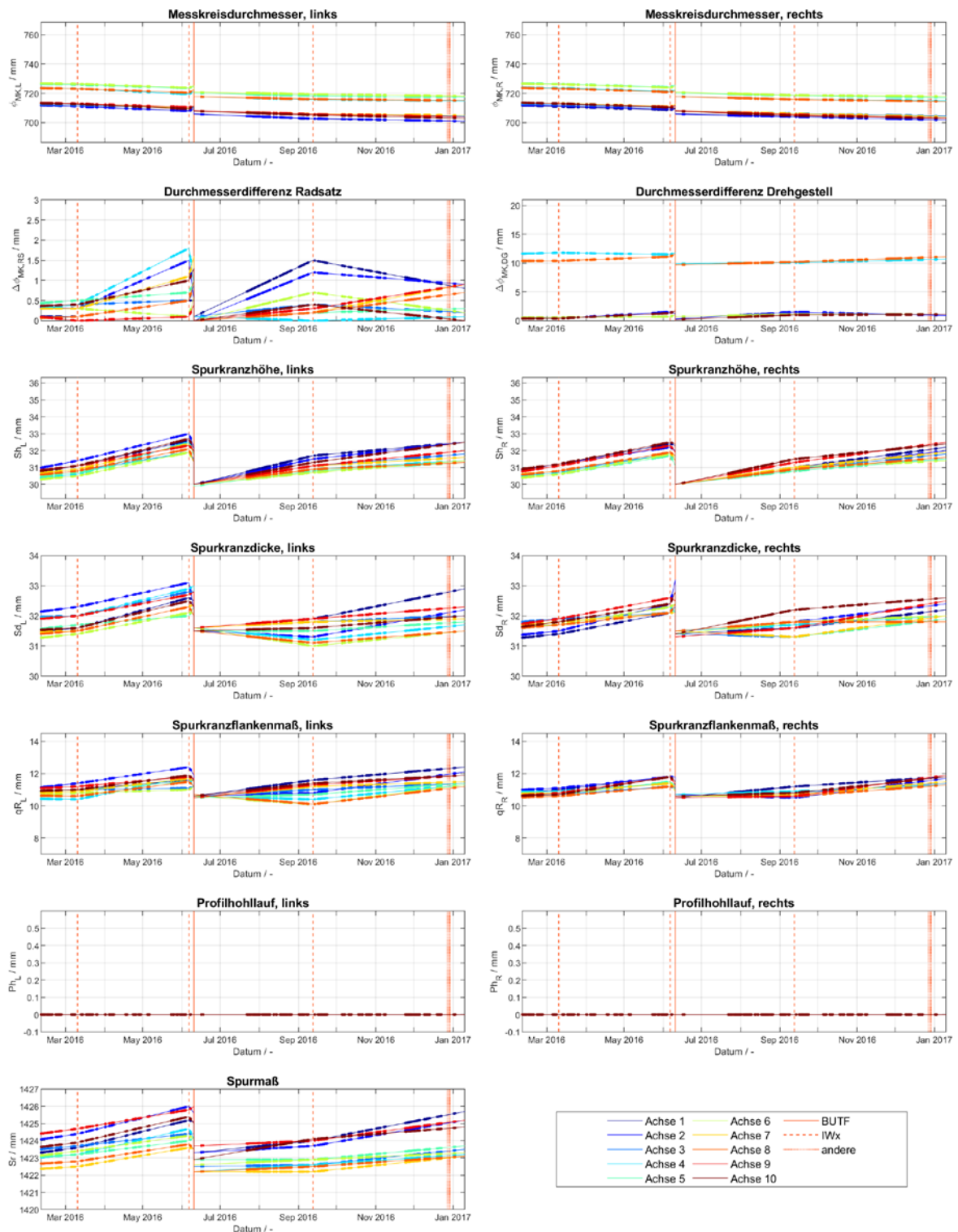


Abb. D-1: Verläufe ausgewählter Radparameter der Garnitur 101 der Schnellbahnbaureihe A über der Zeit – lineare Interpolation zwischen den Radprofilmessungen (durchgezogene Linien) mit Kennzeichnung der Vorbeifahrten während der niederschlagsfreien Zeitabschnitte in MQ1 und MQ2 (Punkte auf den Interpolationslinien)

Typ A - 101, kein Regen (MQ1 und MQ2)

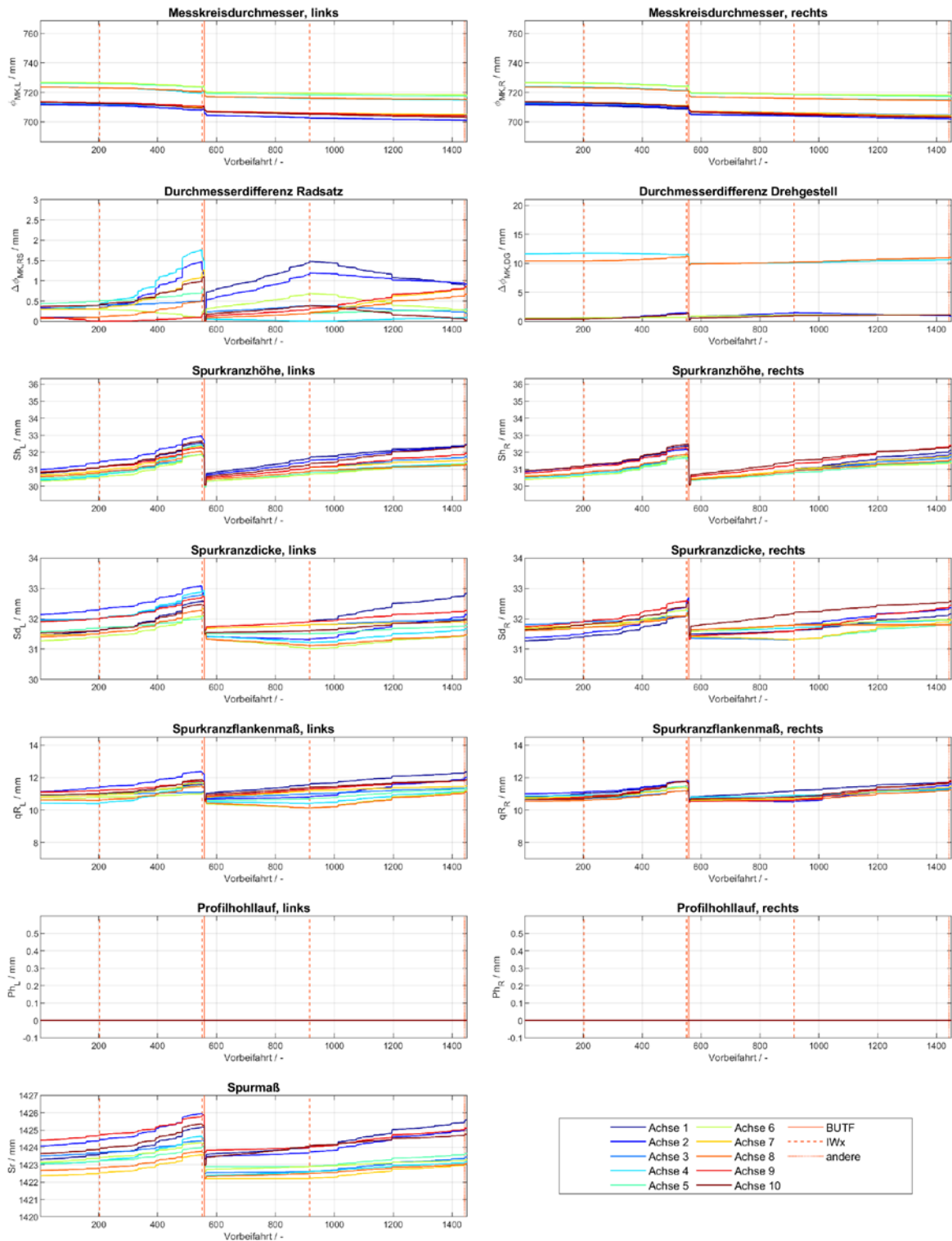


Abb. D-2: Verläufe ausgewählter Radparameter der Garnitur 101 der Schnellbahnbaureihe A über den Vorbeifahrten während der niederschlagsfreien Zeitabschnitte in MQ1 und MQ2 zum direkten Vergleich mit vorbeifahrtsbasierten Verlaufsdarstellungen von auffälligen Emissionen aus Anhang C

Typ A - 127, kein Regen (MQ1 und MQ2)

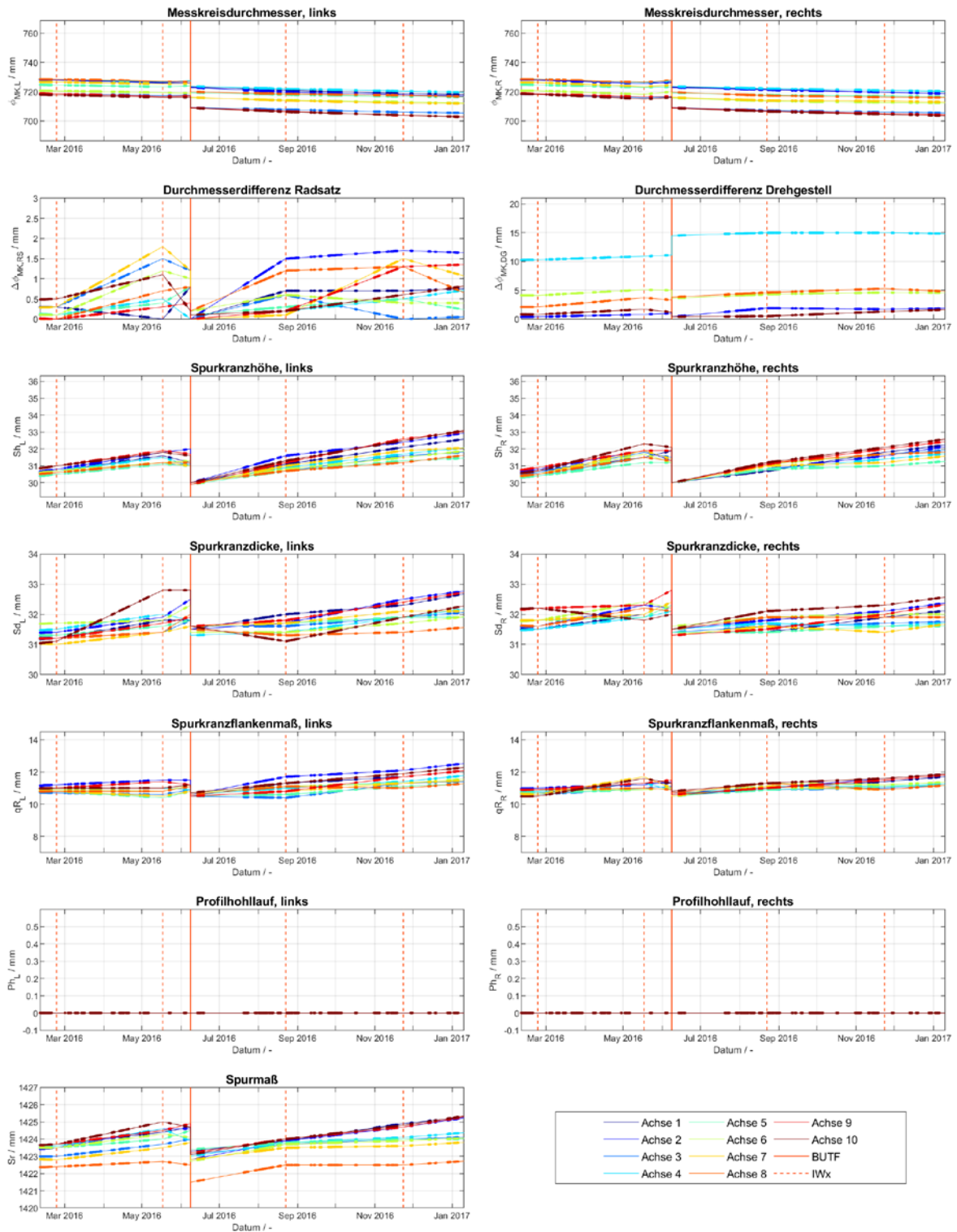


Abb. D-3: Verläufe ausgewählter Radparameter der Garnitur 127 der Schnellbahnbaureihe A über der Zeit – lineare Interpolation zwischen den Radprofilmessungen (durchgezogene Linien) mit Kennzeichnung der Vorbeifahrten während der niederschlagsfreien Zeitabschnitte in MQ1 und MQ2 (Punkte auf den Interpolationslinien)

Typ A - 127, kein Regen (MQ1 und MQ2)

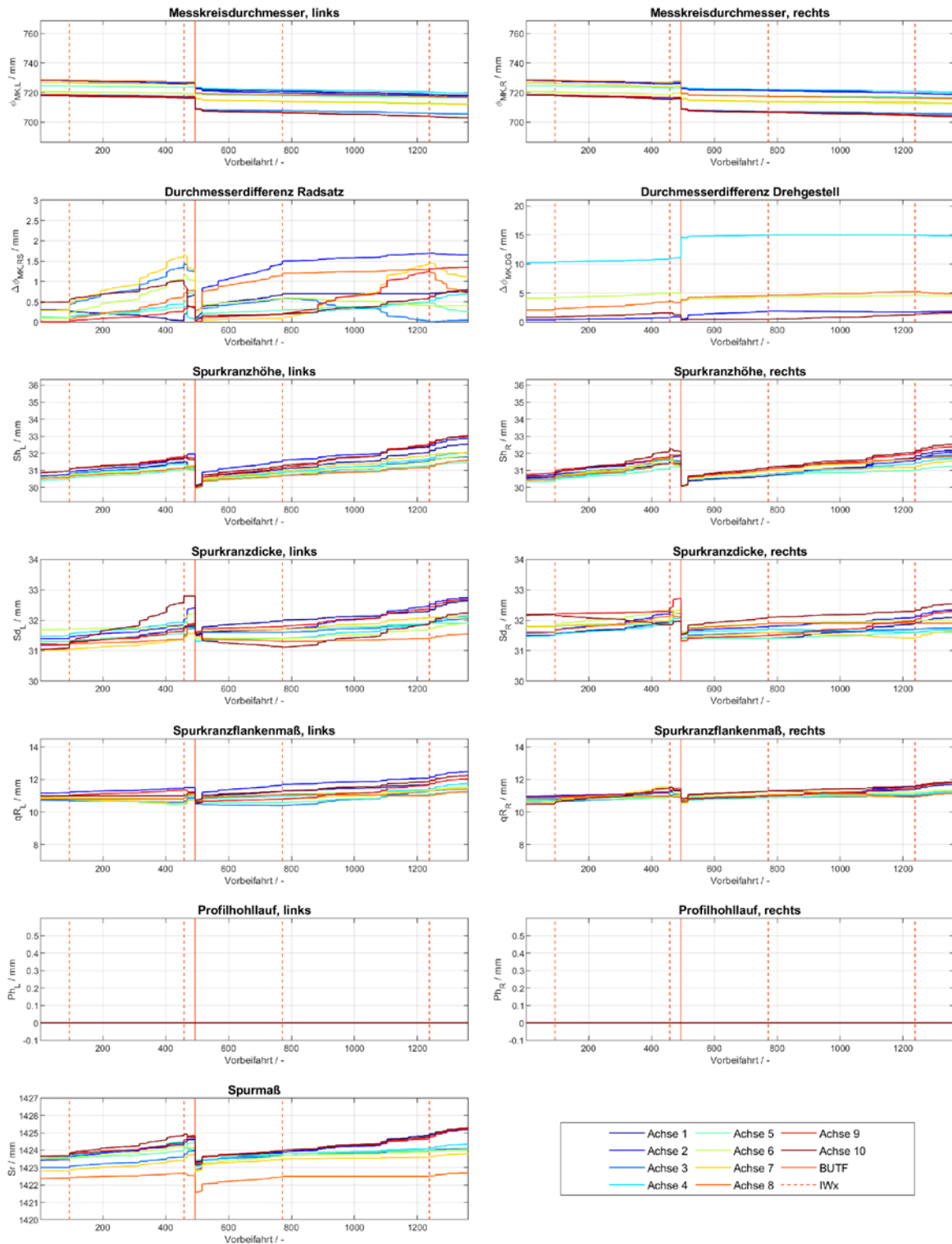


Abb. D-4: Verläufe ausgewählter Radparameter der Garnitur 127 der Schnellbahnbaureihe A über den Vorbeifahrten während der niederschlagsfreien Zeitabschnitte in MQ1 und MQ2 zum direkten Vergleich mit vorbeifahrtsbasierten Verlaufsdarstellungen von auffälligen Emissionen aus Anhang C

Typ A - 128, kein Regen (MQ1 und MQ2)

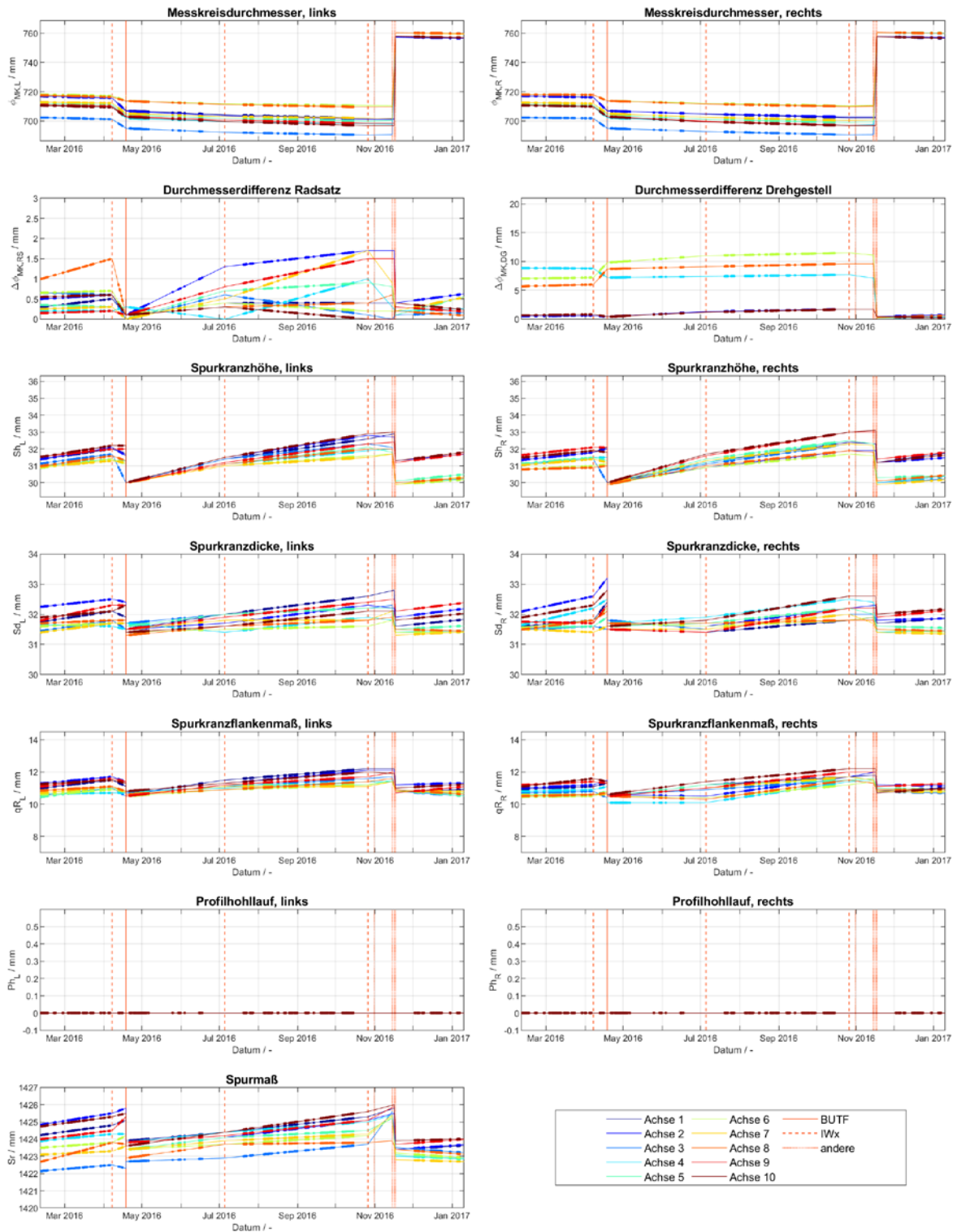


Abb. D-5: Verläufe ausgewählter Radparameter der Garnitur 128 der Schnellbahnbaureihe A über der Zeit – lineare Interpolation zwischen den Radprofilmessungen (durchgezogene Linien) mit Kennzeichnung der Vorbeifahrten während der niederschlagsfreien Zeitabschnitte in MQ1 und MQ2 (Punkte auf den Interpolationslinien)

Typ A - 128, kein Regen (MQ1 und MQ2)

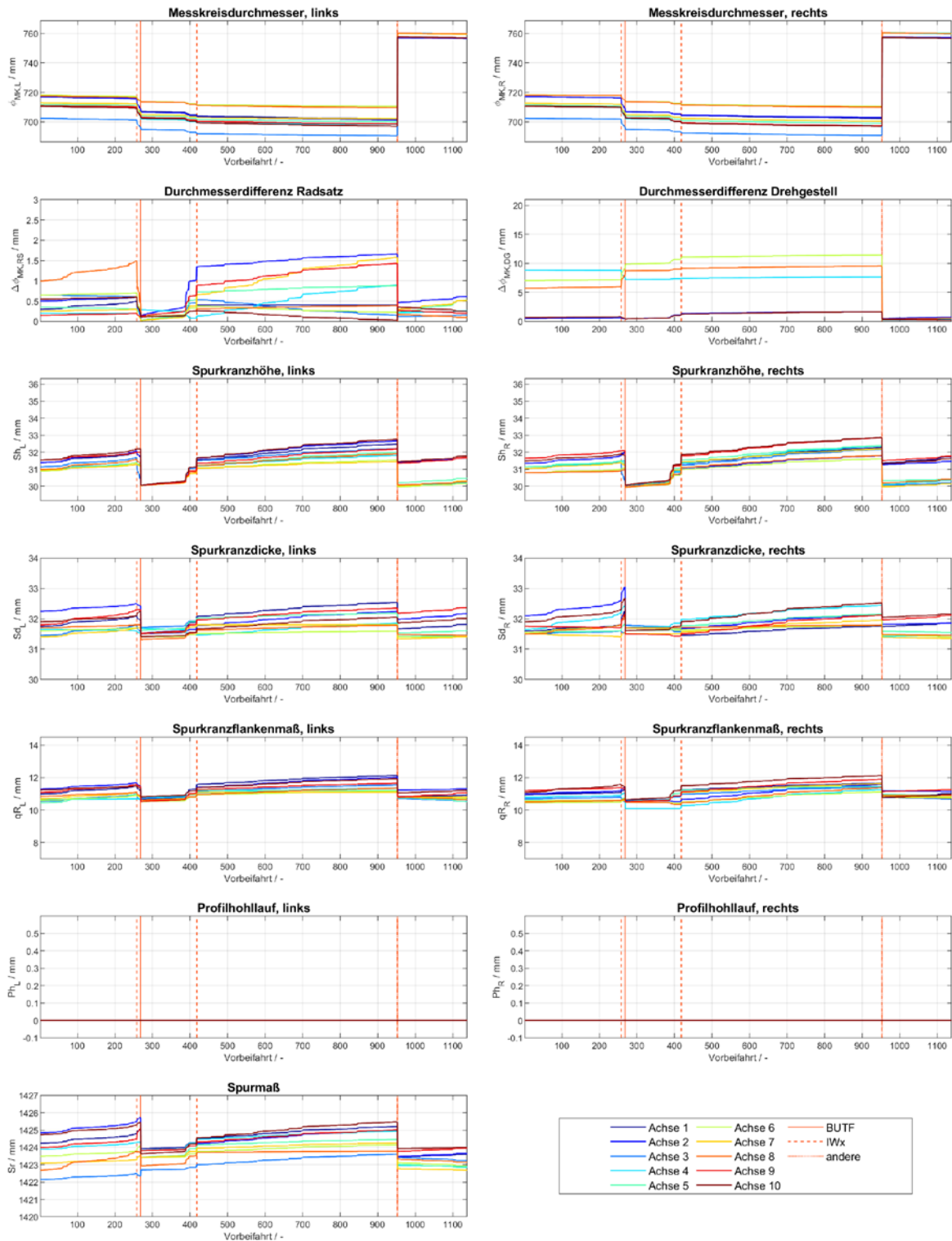


Abb. D-6: Verläufe ausgewählter Radparameter der Garnitur 128 der Schnellbahnbaureihe A über den Vorbeifahrten während der niederschlagsfreien Zeitabschnitte in MQ1 und MQ2 zum direkten Vergleich mit vorbeifahrtsbasierten Verlaufsdarstellungen von auffälligen Emissionen aus Anhang C

Typ A - 130, kein Regen (MQ1 und MQ2)

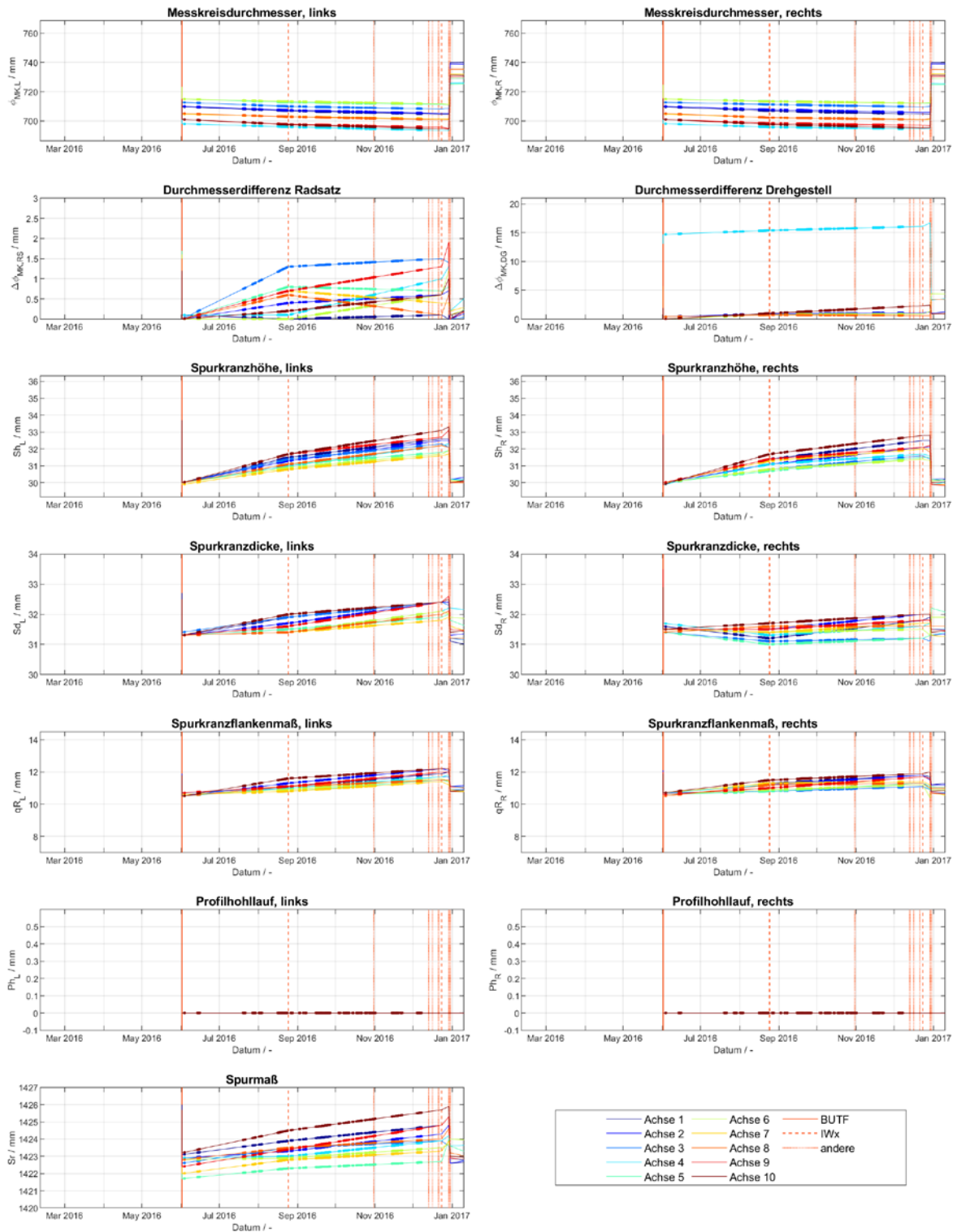


Abb. D-7: Verläufe ausgewählter Radparameter der Garnitur 130 der Schnellbahnbaureihe A über der Zeit – lineare Interpolation zwischen den Radprofilmessungen (durchgezogene Linien) mit Kennzeichnung der Vorbeifahrten während der niederschlagsfreien Zeitabschnitte in MQ1 und MQ2 (Punkte auf den Interpolationslinien)

Typ A - 130, kein Regen (MQ1 und MQ2)

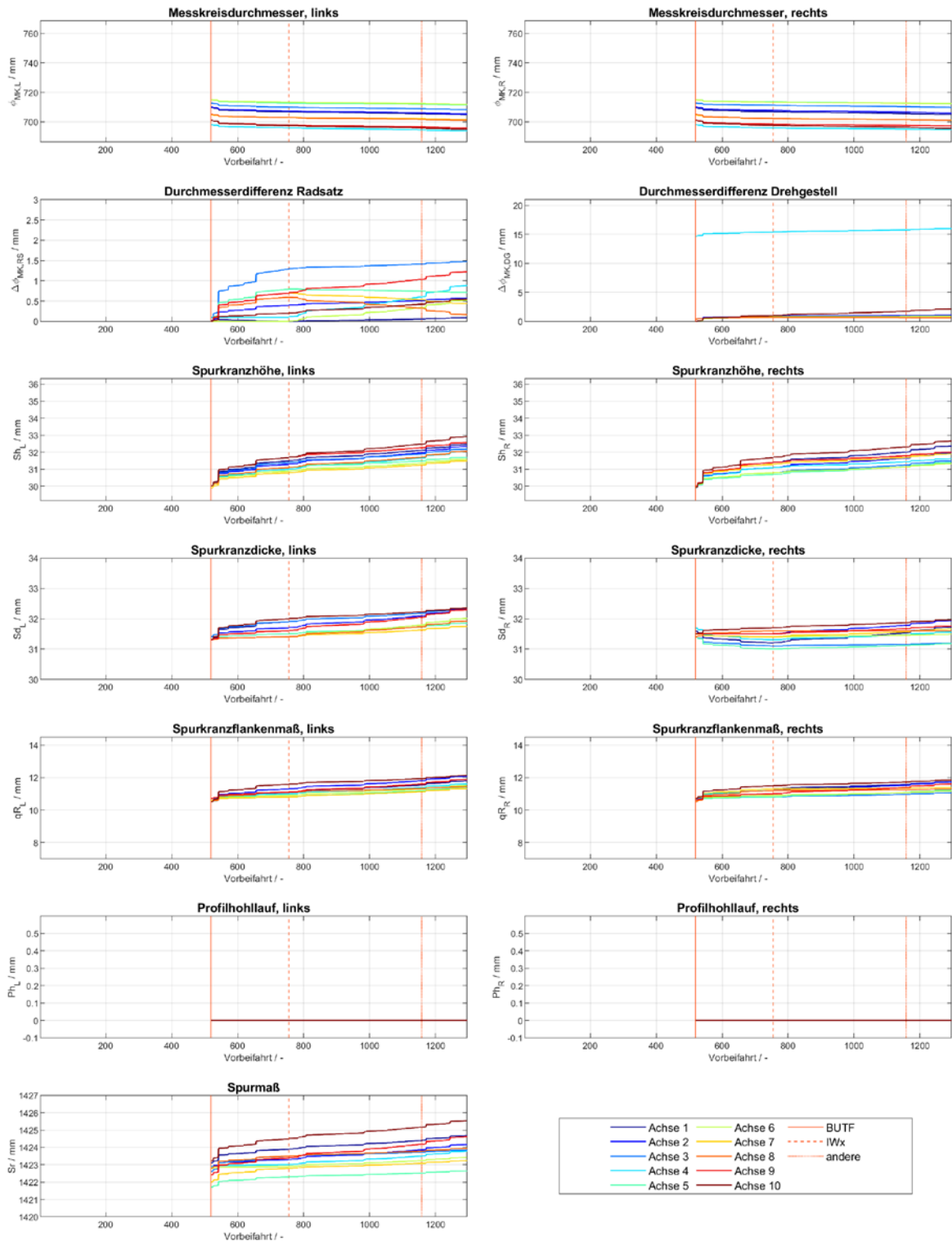


Abb. D-8: Verläufe ausgewählter Radparameter der Garnitur 130 der Schnellbahnbaureihe A über den Vorbeifahrten während der niederschlagsfreien Zeitabschnitte in MQ1 und MQ2 zum direkten Vergleich mit vorbeifahrtsbasierten Verlaufsdarstellungen von auffälligen Emissionen aus Anhang C

Typ A - 131, kein Regen (MQ1 und MQ2)

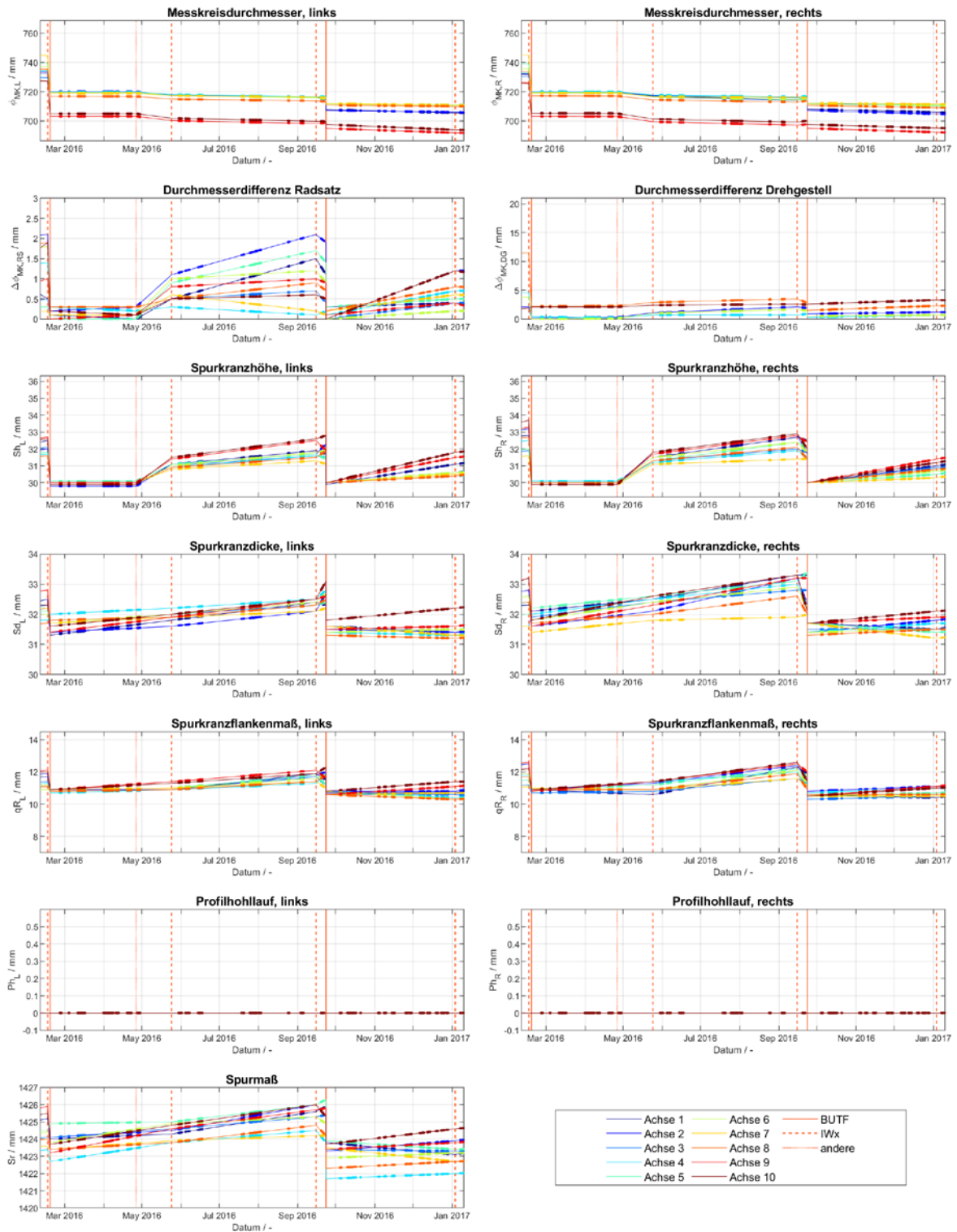


Abb. D-9: Verläufe ausgewählter Radparameter der Garnitur 131 der Schnellbahnbaureihe A über der Zeit – lineare Interpolation zwischen den Radprofilmessungen (durchgezogene Linien) mit Kennzeichnung der Vorbeifahrten während der niederschlagsfreien Zeitabschnitte in MQ1 und MQ2 (Punkte auf den Interpolationslinien)

Typ A - 131, kein Regen (MQ1 und MQ2)

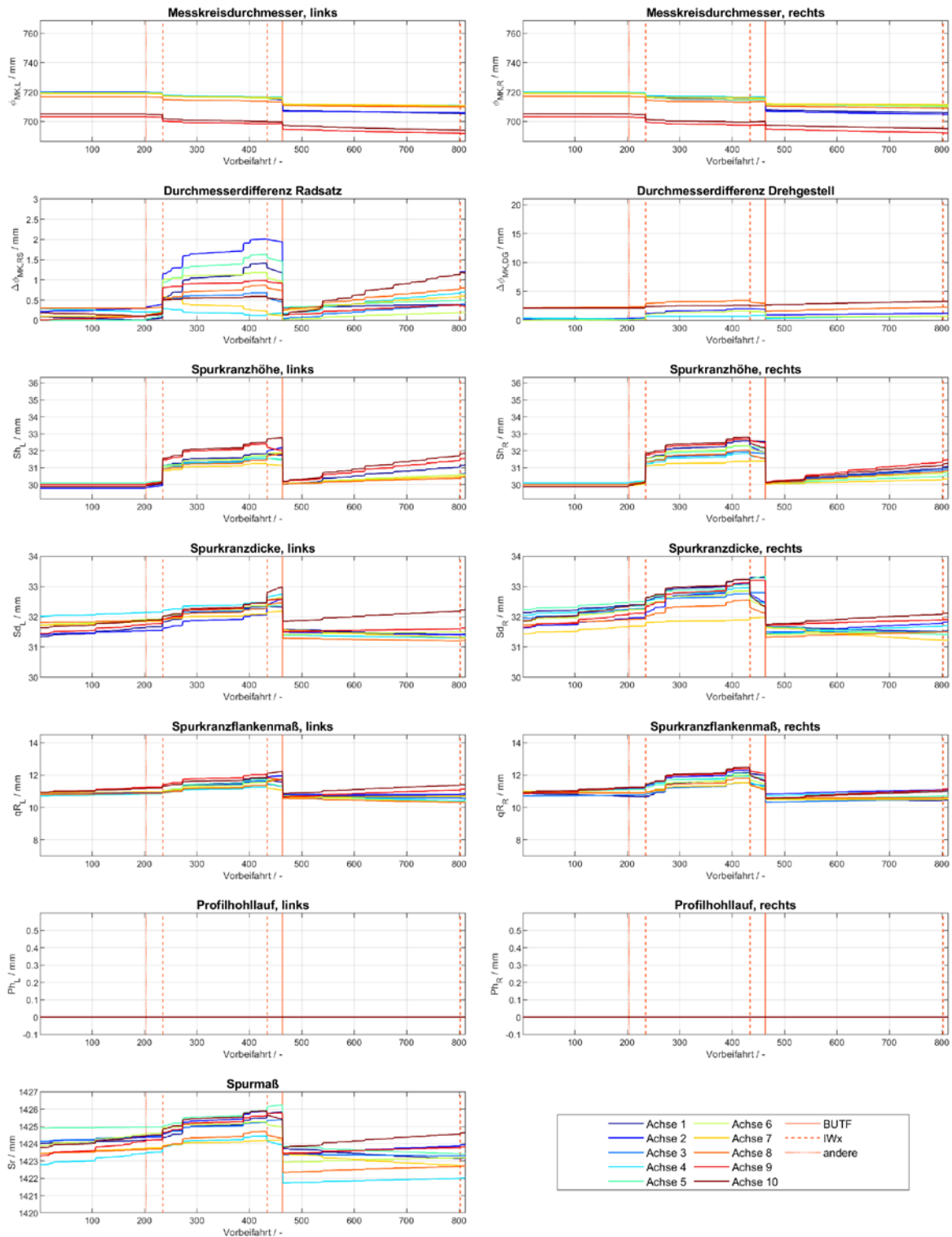


Abb. D-10: Verläufe ausgewählter Radparameter der Garnitur 131 der Schnellbahnbaureihe A über den Vorbeifahrten während der niederschlagsfreien Zeitabschnitte in MQ1 und MQ2 zum direkten Vergleich mit vorbeifahrtsbasierten Verlaufsdarstellungen von auffälligen Emissionen aus Anhang C

Typ A - 133, kein Regen (MQ1 und MQ2)

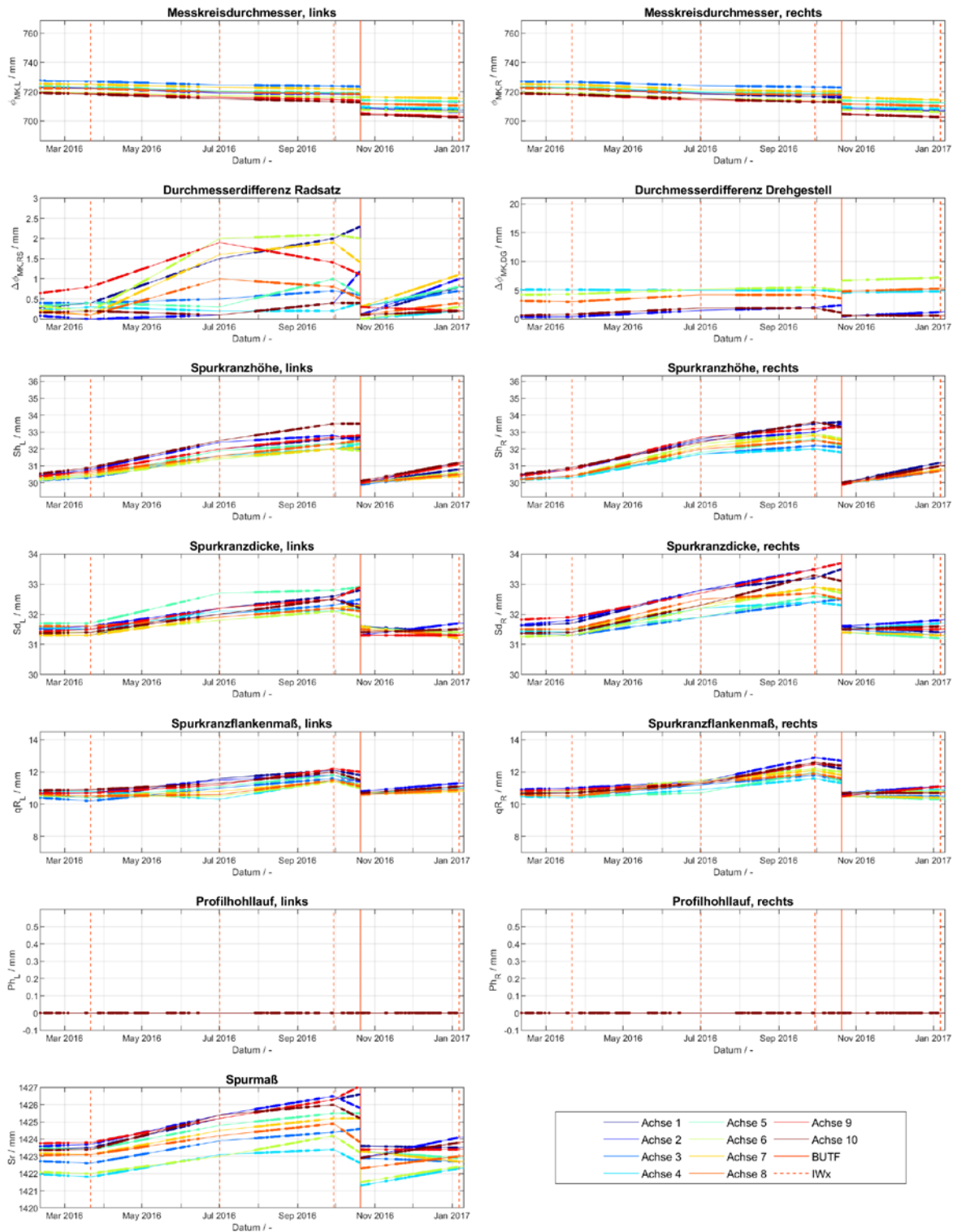


Abb. D-11: Verläufe ausgewählter Radparameter der Garnitur 133 der Schnellbahnbaureihe A über der Zeit – lineare Interpolation zwischen den Radprofilmessungen (durchgezogene Linien) mit Kennzeichnung der Vorbeifahrten während der niederschlagsfreien Zeitabschnitte in MQ1 und MQ2 (Punkte auf den Interpolationslinien)

Typ A - 133, kein Regen (MQ1 und MQ2)

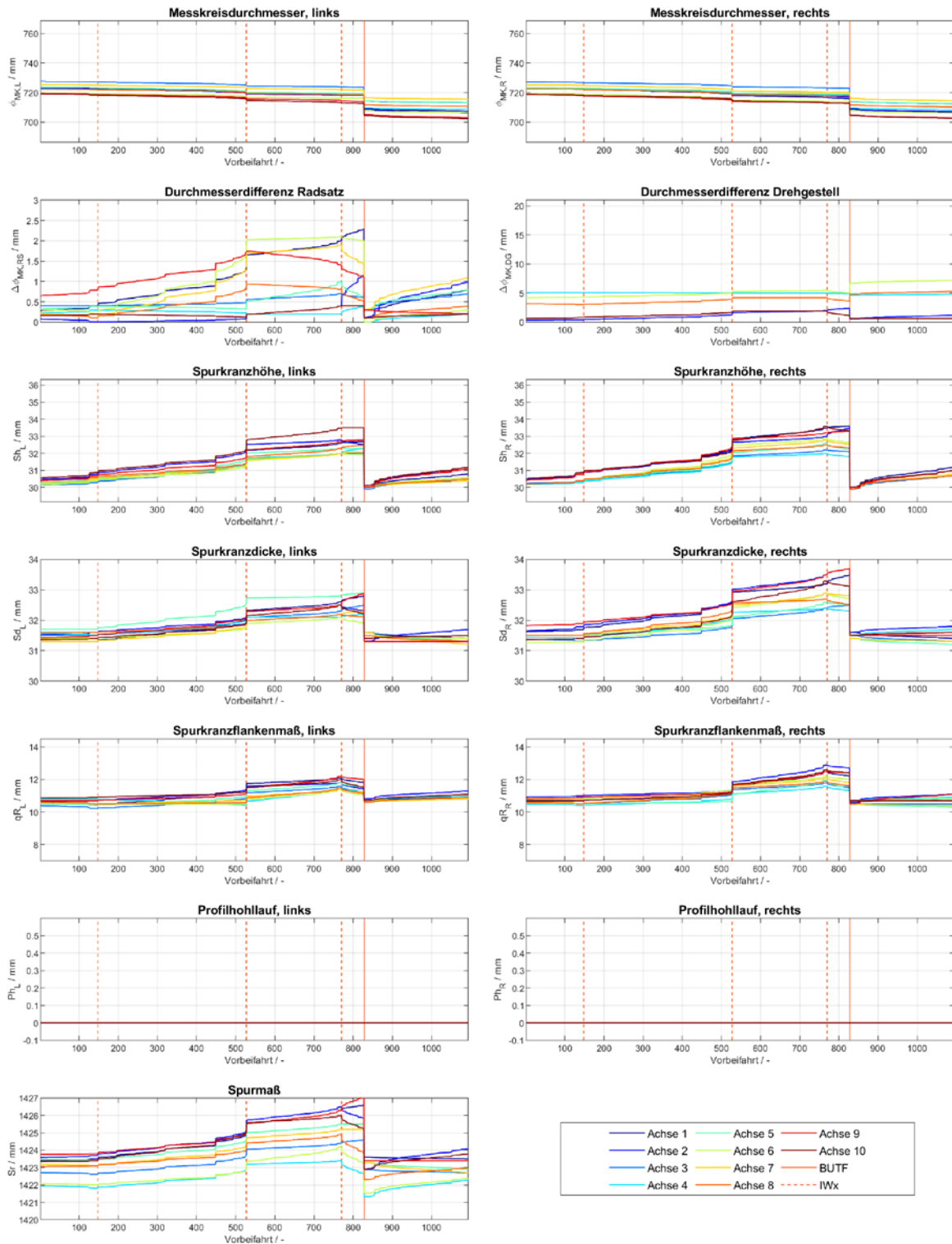


Abb. D-12: Verläufe ausgewählter Radparameter der Garnitur 133 der Schnellbahnbaureihe A über den Vorbeifahrten während der niederschlagsfreien Zeitabschnitte in MQ1 und MQ2 zum direkten Vergleich mit vorbeifahrtsbasierten Verlaufsdarstellungen von auffälligen Emissionen aus Anhang C

Typ A - 134, kein Regen (MQ1 und MQ2)

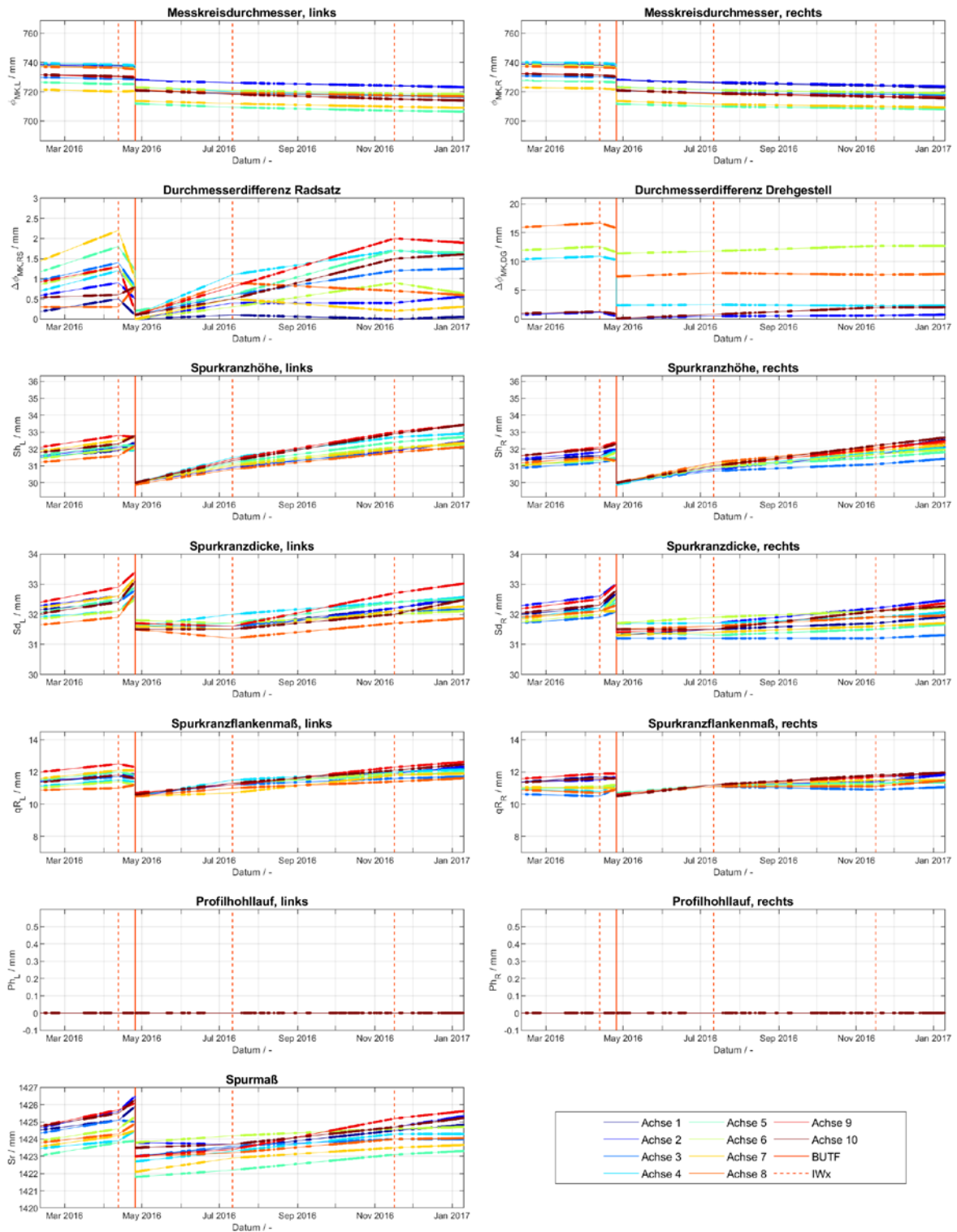


Abb. D-13: Verläufe ausgewählter Radparameter der Garnitur 134 der Schnellbahnbaureihe A über der Zeit – lineare Interpolation zwischen den Radprofilmessungen (durchgezogene Linien) mit Kennzeichnung der Vorbeifahrten während der niederschlagsfreien Zeitabschnitte in MQ1 und MQ2 (Punkte auf den Interpolationslinien)

Typ A - 134, kein Regen (MQ1 und MQ2)

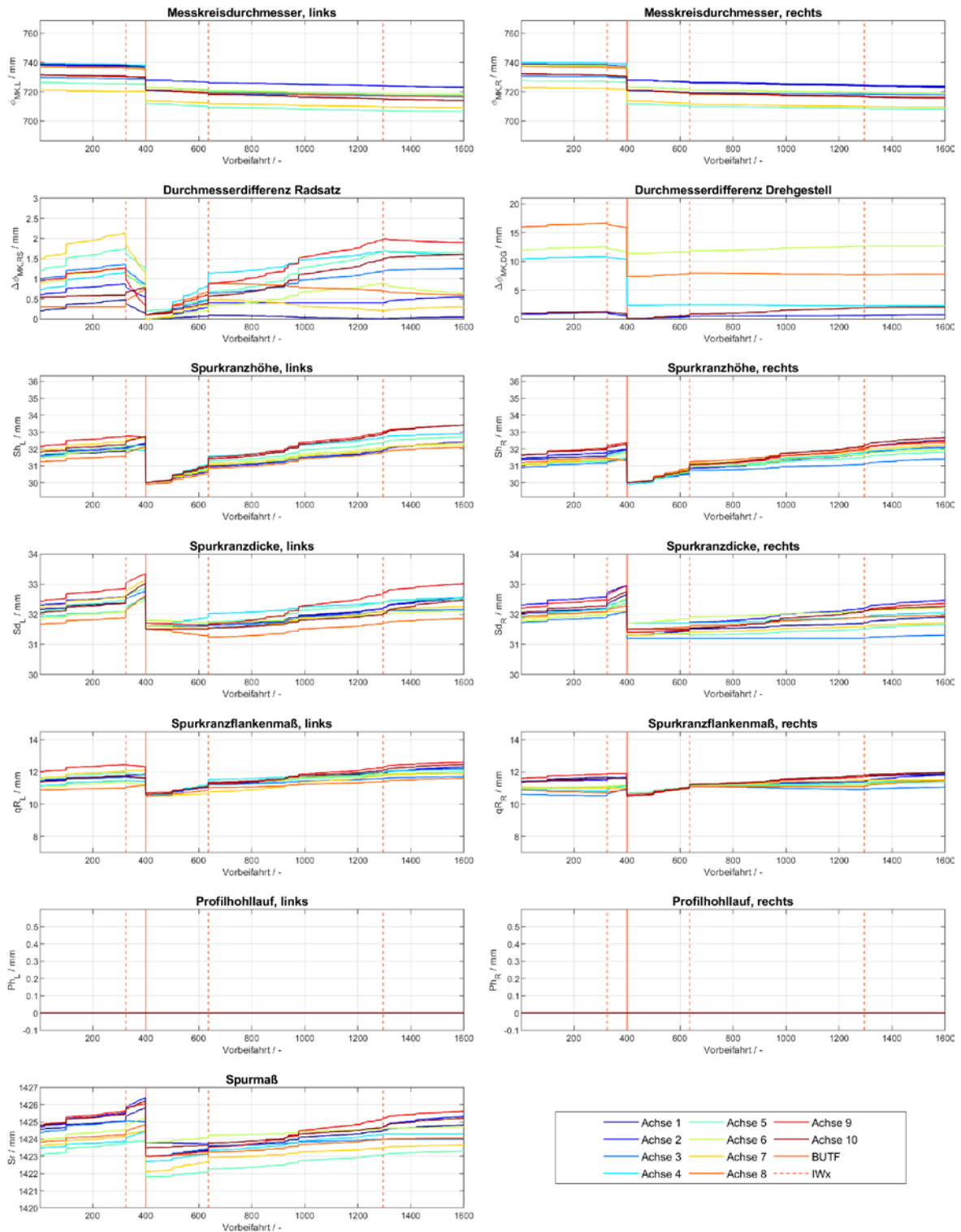


Abb. D-14: Verläufe ausgewählter Radparameter der Garnitur 134 der Schnellbahnbaureihe A über den Vorbeifahrten während der niederschlagsfreien Zeitabschnitte in MQ1 und MQ2 zum direkten Vergleich mit vorbeifahrtsbasierten Verlaufsdarstellungen von auffälligen Emissionen aus Anhang C

Typ A - 135, kein Regen (MQ1 und MQ2)

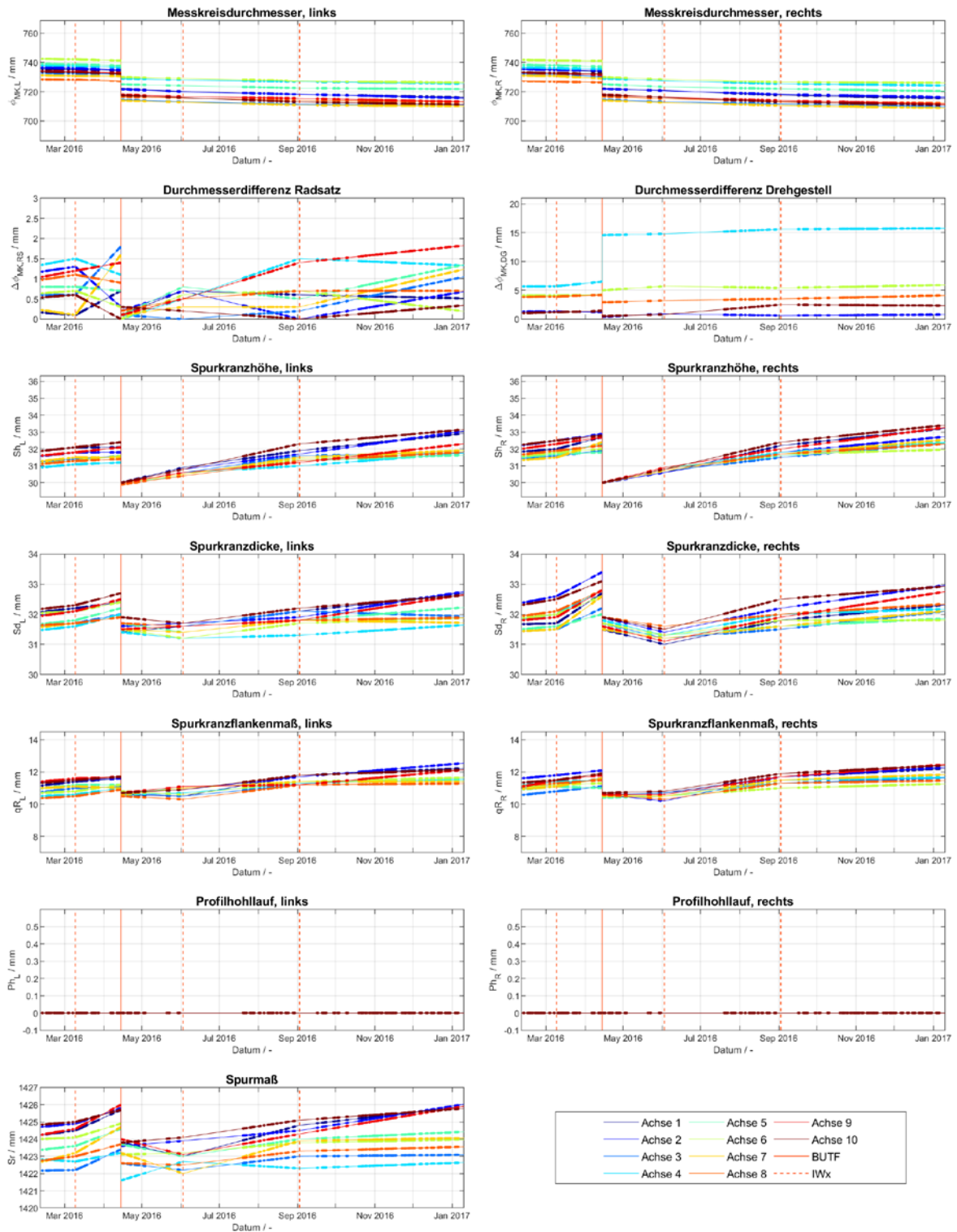


Abb. D-15: Verläufe ausgewählter Radparameter der Garnitur 135 der Schnellbahnbaureihe A über der Zeit – lineare Interpolation zwischen den Radprofilmessungen (durchgezogene Linien) mit Kennzeichnung der Vorbeifahrten während der niederschlagsfreien Zeitabschnitte in MQ1 und MQ2 (Punkte auf den Interpolationslinien)

Typ A - 135, kein Regen (MQ1 und MQ2)

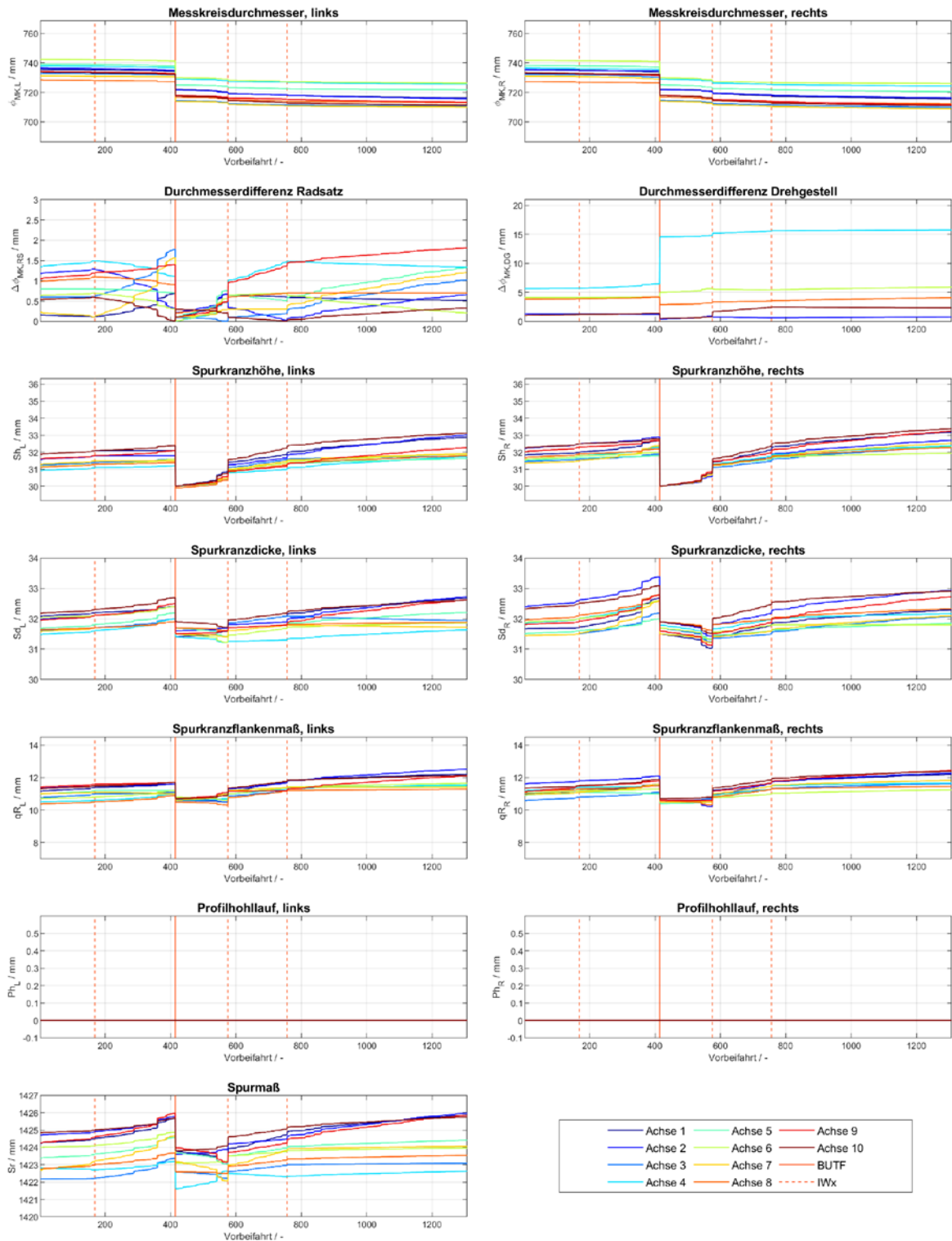


Abb. D-16: Verläufe ausgewählter Radparameter der Garnitur 135 der Schnellbahnbaureihe A über den Vorbeifahrten während der niederschlagsfreien Zeitabschnitte in MQ1 und MQ2 zum direkten Vergleich mit vorbeifahrtsbasierten Verlaufsdarstellungen von auffälligen Emissionen aus Anhang C

Typ A - 136, kein Regen (MQ1 und MQ2)

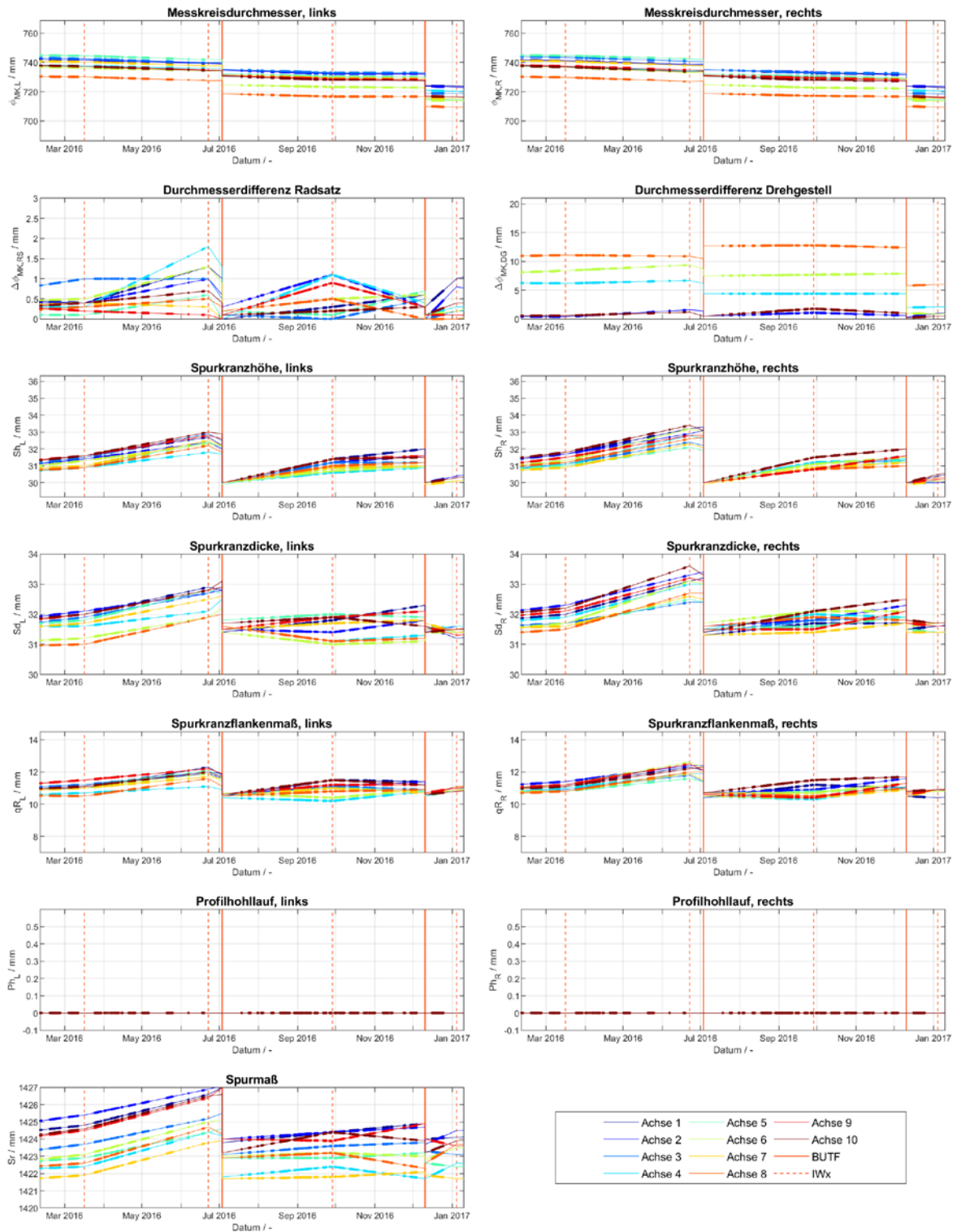


Abb. D-17: Verläufe ausgewählter Radparameter der Garnitur 136 der Schnellbahnbaureihe A über der Zeit – lineare Interpolation zwischen den Radprofilmessungen (durchgezogene Linien) mit Kennzeichnung der Vorbeifahrten während der niederschlagsfreien Zeitabschnitte in MQ1 und MQ2 (Punkte auf den Interpolationslinien)

Typ A - 136, kein Regen (MQ1 und MQ2)

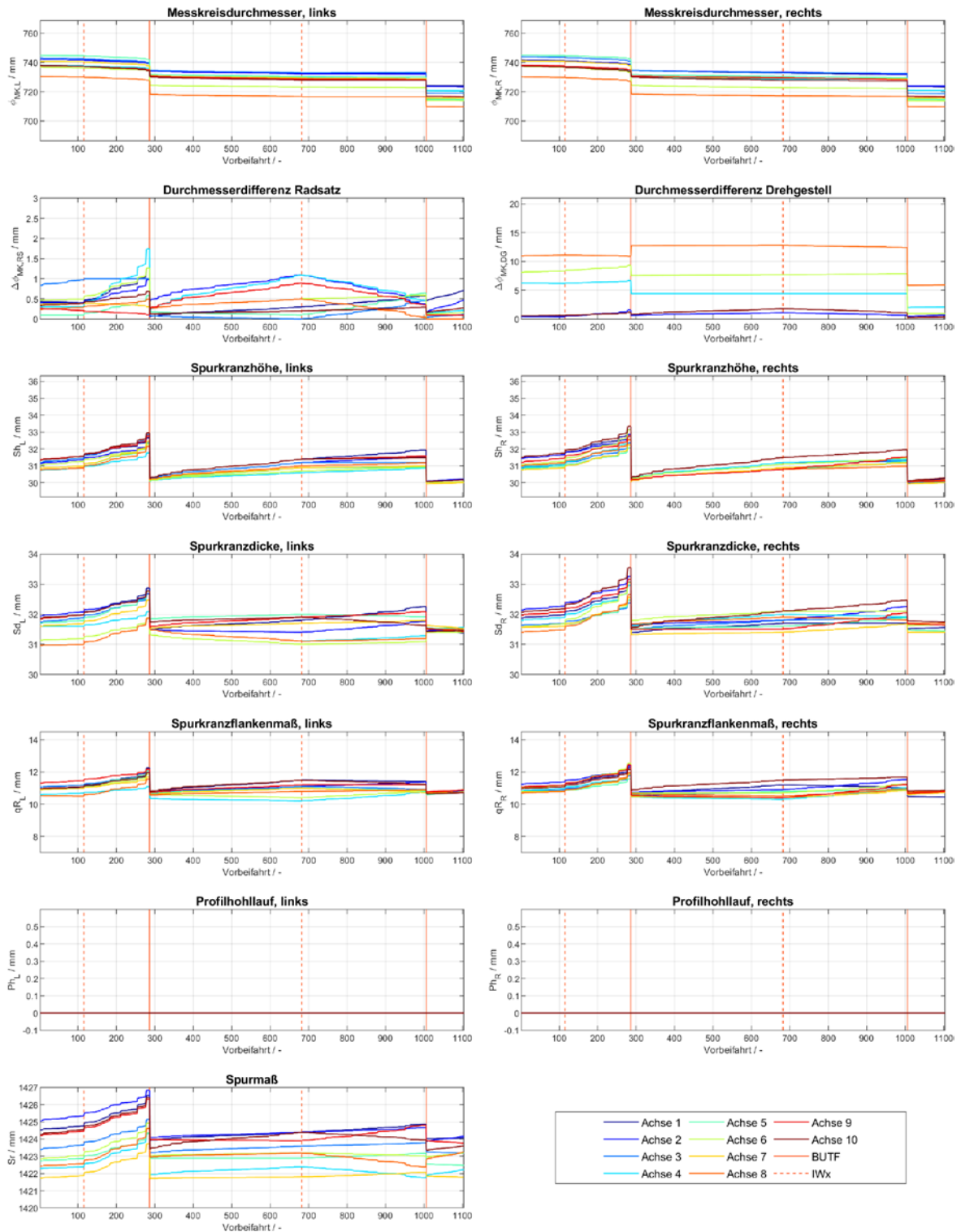


Abb. D-18: Verläufe ausgewählter Radparameter der Garnitur 136 der Schnellbahnbaureihe A über den Vorbeifahrten während der niederschlagsfreien Zeitabschnitte in MQ1 und MQ2 zum direkten Vergleich mit vorbeifahrtsbasierten Verlaufsdarstellungen von auffälligen Emissionen aus Anhang C

Typ A - 137, kein Regen (MQ1 und MQ2)

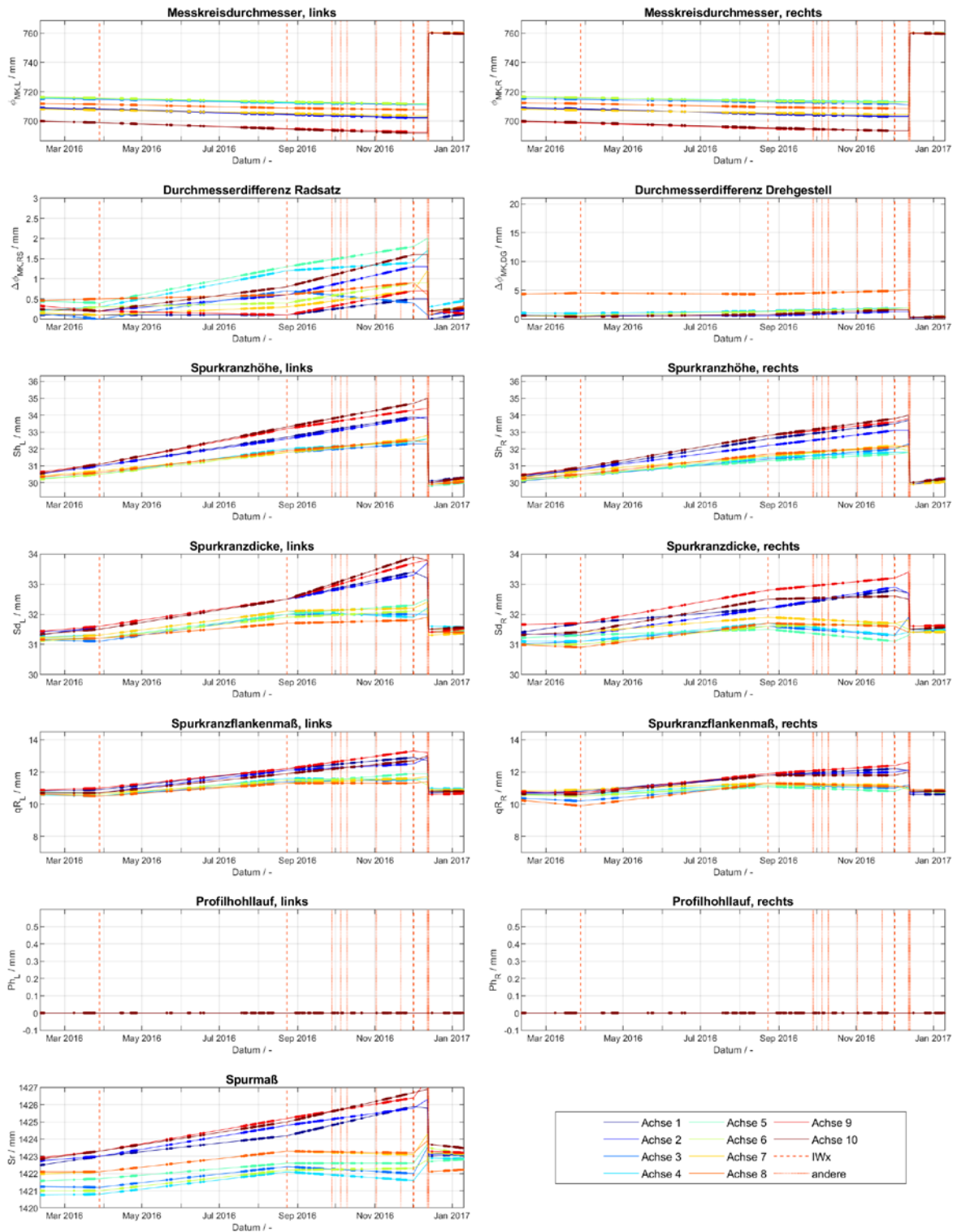


Abb. D-19: Verläufe ausgewählter Radparameter der Garnitur 137 der Schnellbahnbaureihe A über der Zeit – lineare Interpolation zwischen den Radprofilmessungen (durchgezogene Linien) mit Kennzeichnung der Vorbeifahrten während der niederschlagsfreien Zeitabschnitte in MQ1 und MQ2 (Punkte auf den Interpolationslinien)

Typ A - 137, kein Regen (MQ1 und MQ2)

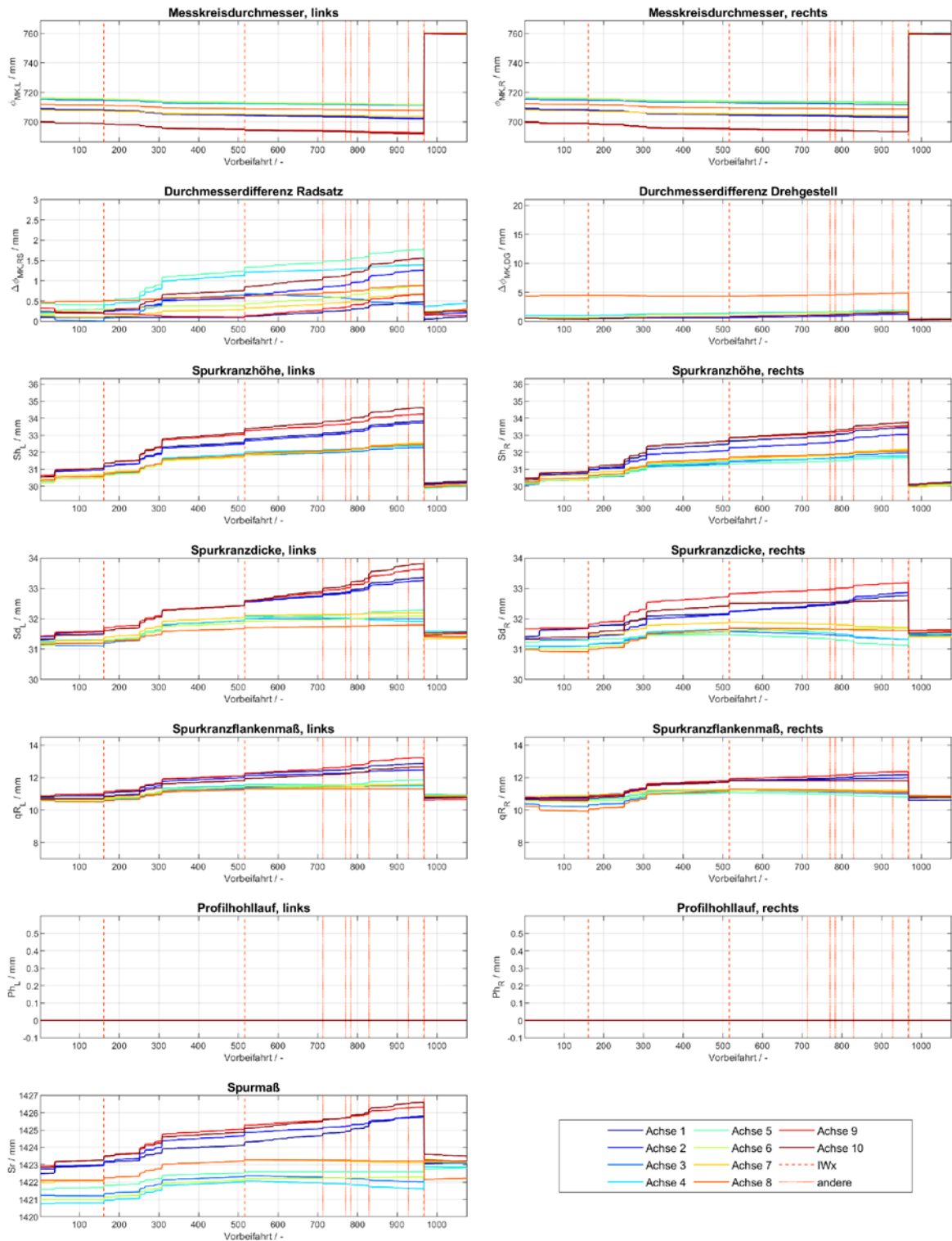


Abb. D-20: Verläufe ausgewählter Radparameter der Garnitur 137 der Schnellbahnbaureihe A über den Vorbeifahrten während der niederschlagsfreien Zeitabschnitte in MQ1 und MQ2 zum direkten Vergleich mit vorbeifahrtsbasierten Verlaufsdarstellungen von auffälligen Emissionen aus Anhang C

Typ A - 140, kein Regen (MQ1 und MQ2)

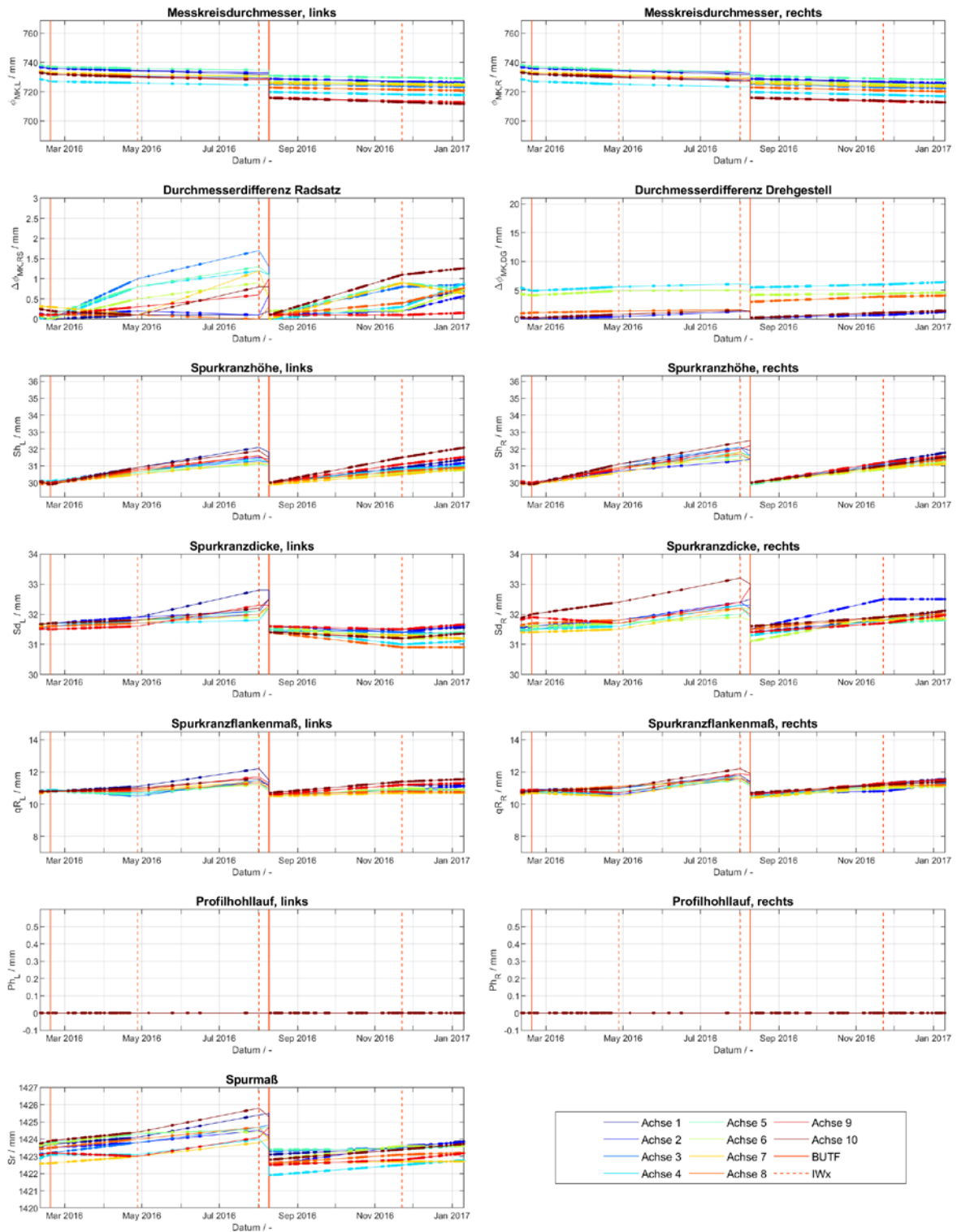


Abb. D-21: Verläufe ausgewählter Radparameter der Garnitur 140 der Schnellbahnbaureihe A über der Zeit – lineare Interpolation zwischen den Radprofilmessungen (durchgezogene Linien) mit Kennzeichnung der Vorbeifahrten während der niederschlagsfreien Zeitabschnitte in MQ1 und MQ2 (Punkte auf den Interpolationslinien)

Typ A - 140, kein Regen (MQ1 und MQ2)

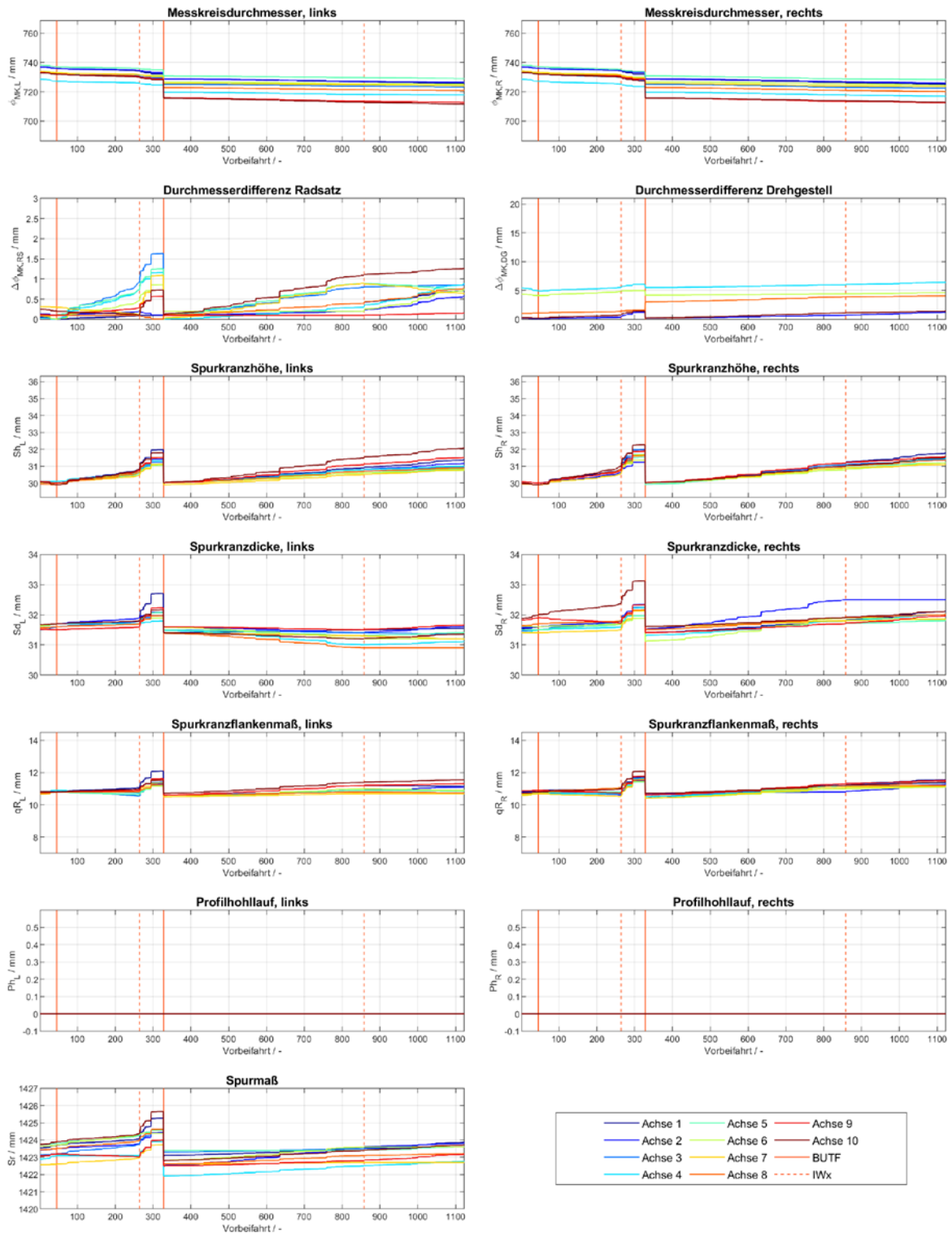


Abb. D-22: Verläufe ausgewählter Radparameter der Garnitur 140 der Schnellbahnbaureihe A über den Vorbeifahrten während der niederschlagsfreien Zeitabschnitte in MQ1 und MQ2 zum direkten Vergleich mit vorbeifahrtsbasierten Verlaufsdarstellungen von auffälligen Emissionen aus Anhang C

D.2 Schnellbahn Typ B

Typ B - 220, kein Regen (MQ1 und MQ2)

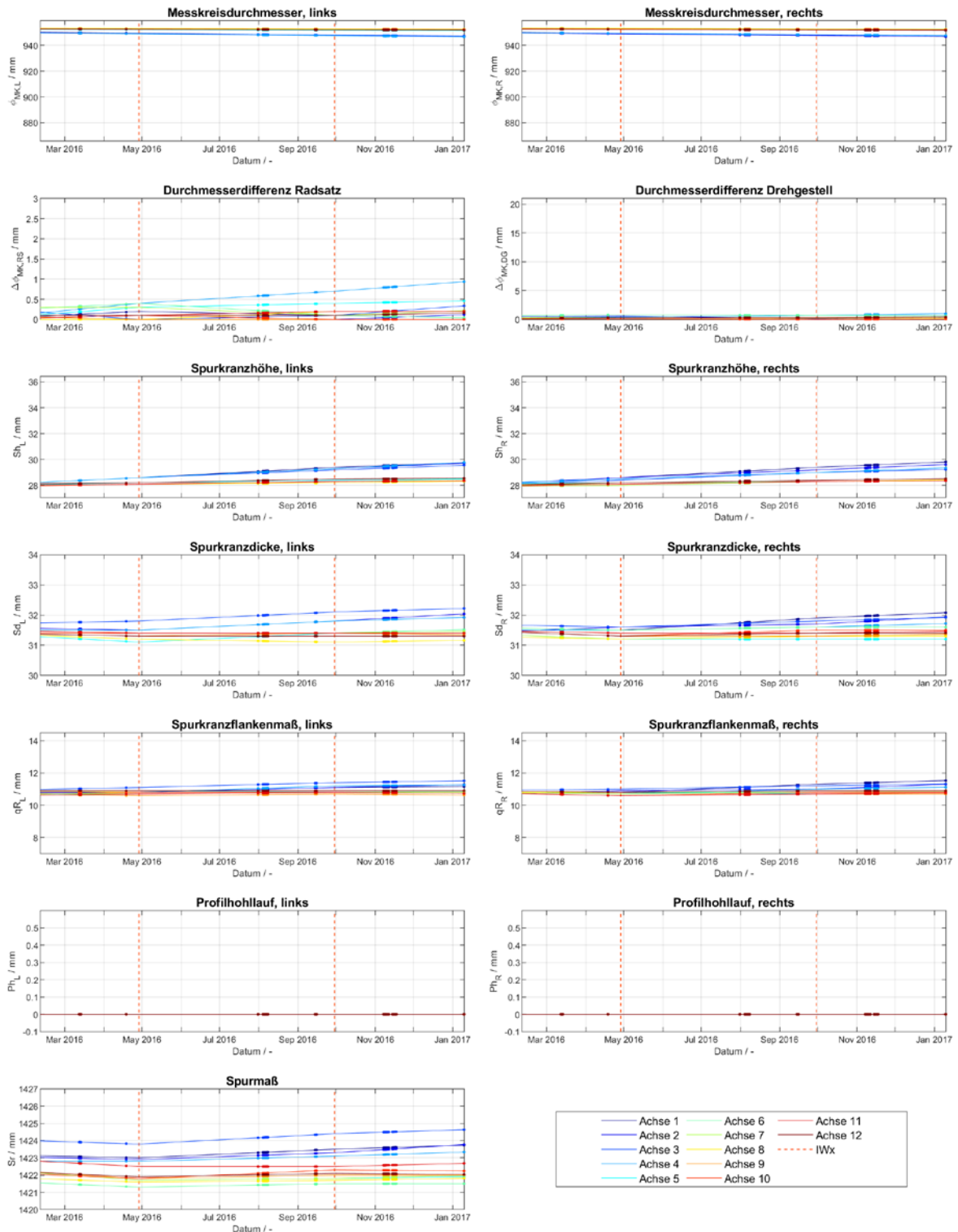


Abb. D-23: Verläufe ausgewählter Radparameter der Garnitur 220 der Schnellbahnbaureihe B über der Zeit – lineare Interpolation zwischen den Radprofilmessungen (durchgezogene Linien) mit Kennzeichnung der Vorbeifahrten während der niederschlagsfreien Zeitabschnitte in MQ1 und MQ2 (Punkte auf den Interpolationslinien)

Typ B - 220, kein Regen (MQ1 und MQ2)

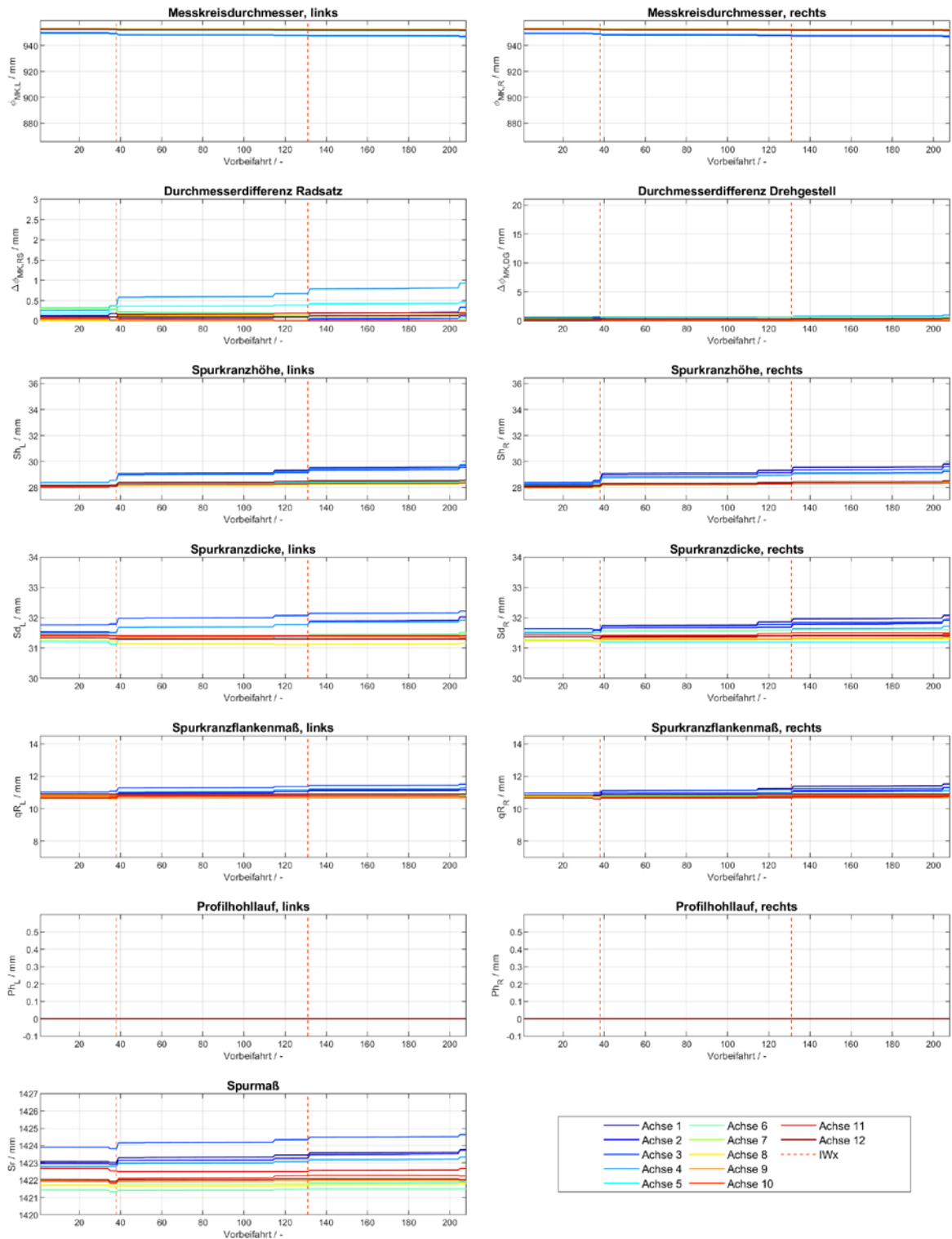


Abb. D-24: Verläufe ausgewählter Radparameter der Garnitur 220 der Schnellbahnbaureihe B über den Vorbeifahrten während der niederschlagsfreien Zeitabschnitte in MQ1 und MQ2 zum direkten Vergleich mit vorbeifahrtsbasierten Verlaufsdarstellungen von auffälligen Emissionen aus Anhang C

Typ B - 221, kein Regen (MQ1 und MQ2)

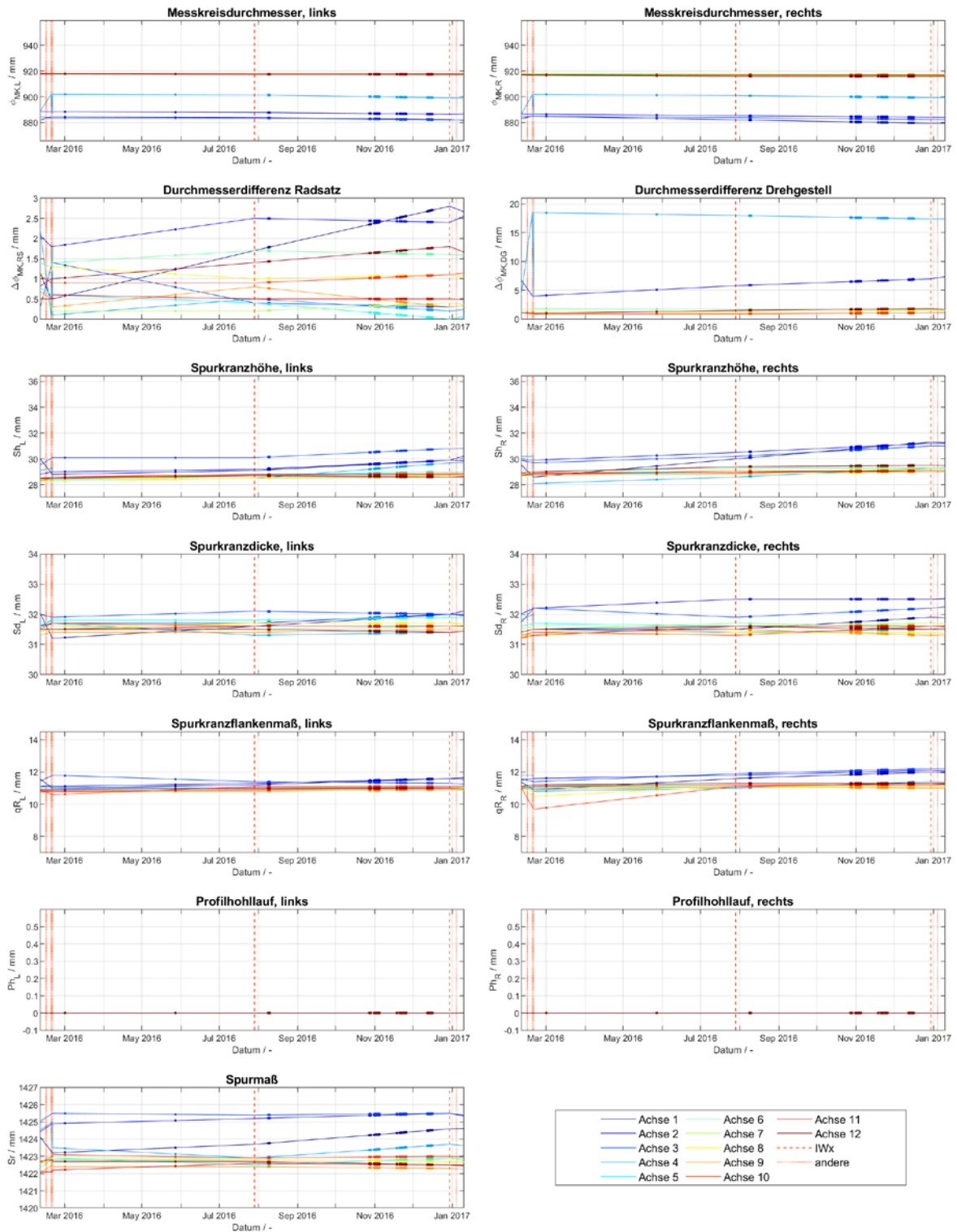


Abb. D-25: Verläufe ausgewählter Radparameter der Garnitur 221 der Schnellbahnbaureihe B über der Zeit – lineare Interpolation zwischen den Radprofilmessungen (durchgezogene Linien) mit Kennzeichnung der Vorbeifahrten während der niederschlagsfreien Zeitabschnitte in MQ1 und MQ2 (Punkte auf den Interpolationslinien)

Typ B - 221, kein Regen (MQ1 und MQ2)

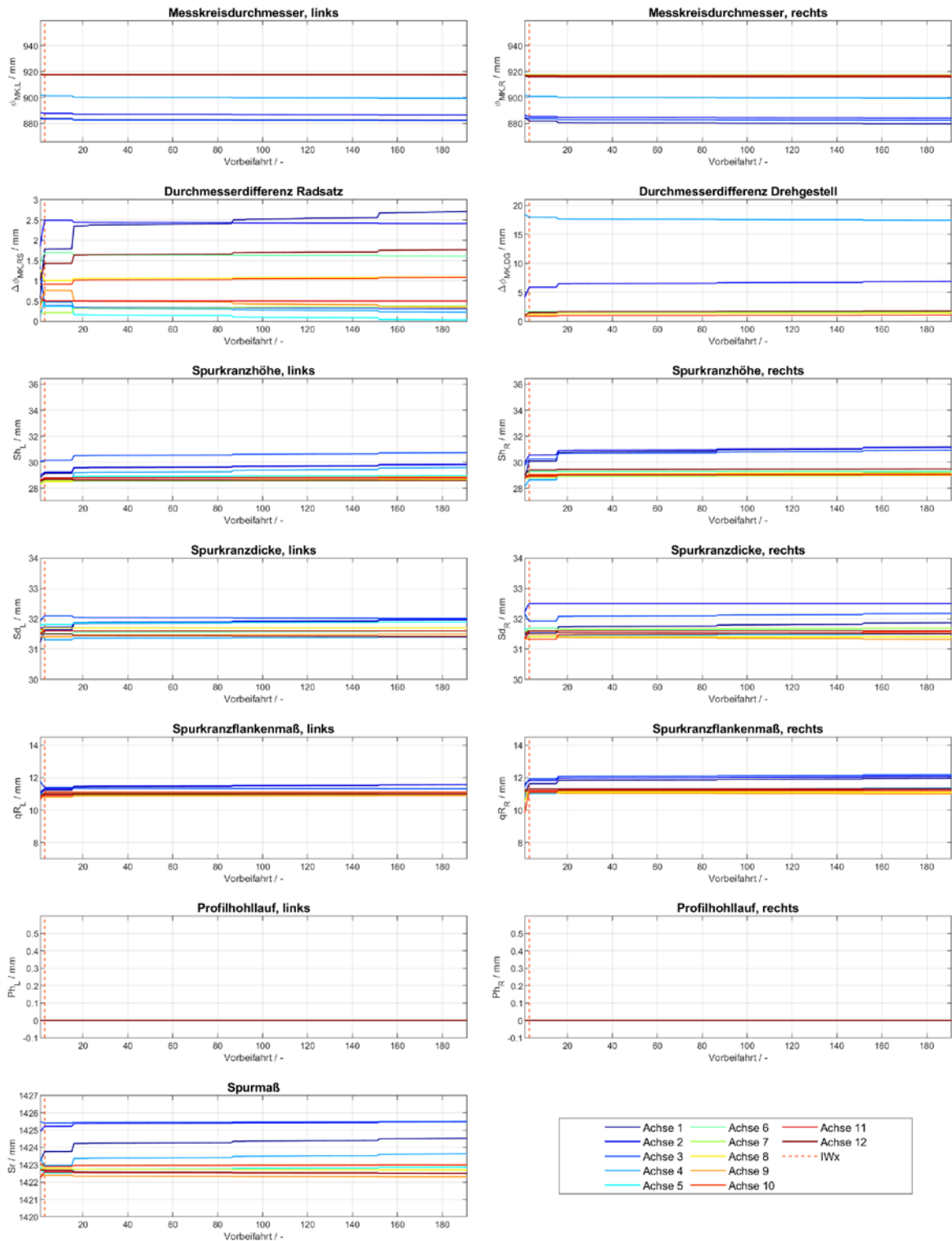


Abb. D-26: Verläufe ausgewählter Radparameter der Garnitur 221 der Schnellbahnbaureihe B über den Vorbeifahrten während der niederschlagsfreien Zeitabschnitte in MQ1 und MQ2 zum direkten Vergleich mit vorbeifahrtsbasierten Verlaufsdarstellungen von auffälligen Emissionen aus Anhang C

Typ B - 227, kein Regen (MQ1 und MQ2)

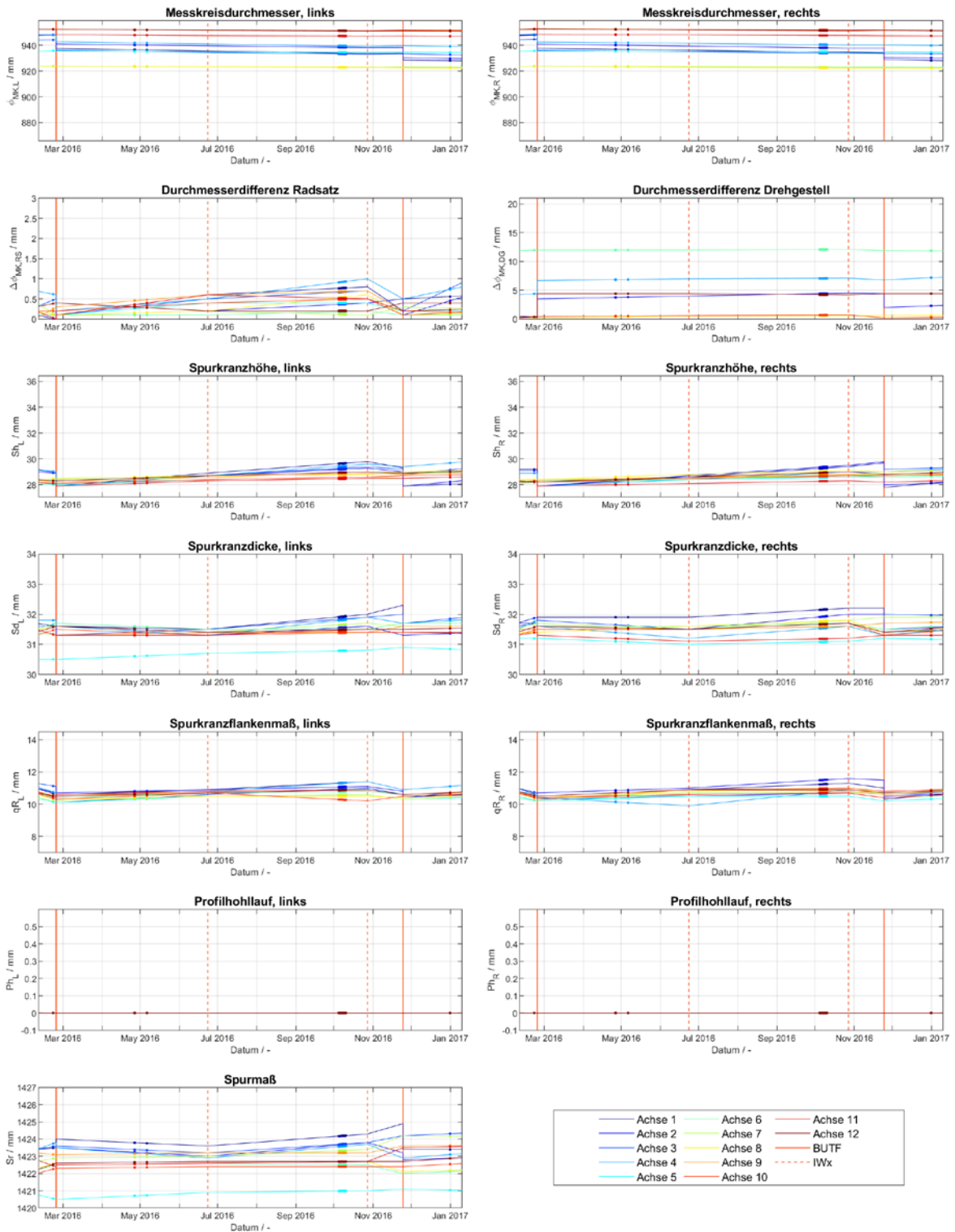


Abb. D-27: Verläufe ausgewählter Radparameter der Garnitur 227 der Schnellbahnbaureihe B über der Zeit – lineare Interpolation zwischen den Radprofilmessungen (durchgezogene Linien) mit Kennzeichnung der Vorbeifahrten während der niederschlagsfreien Zeitabschnitte in MQ1 und MQ2 (Punkte auf den Interpolationslinien)

Typ B - 227, kein Regen (MQ1 und MQ2)

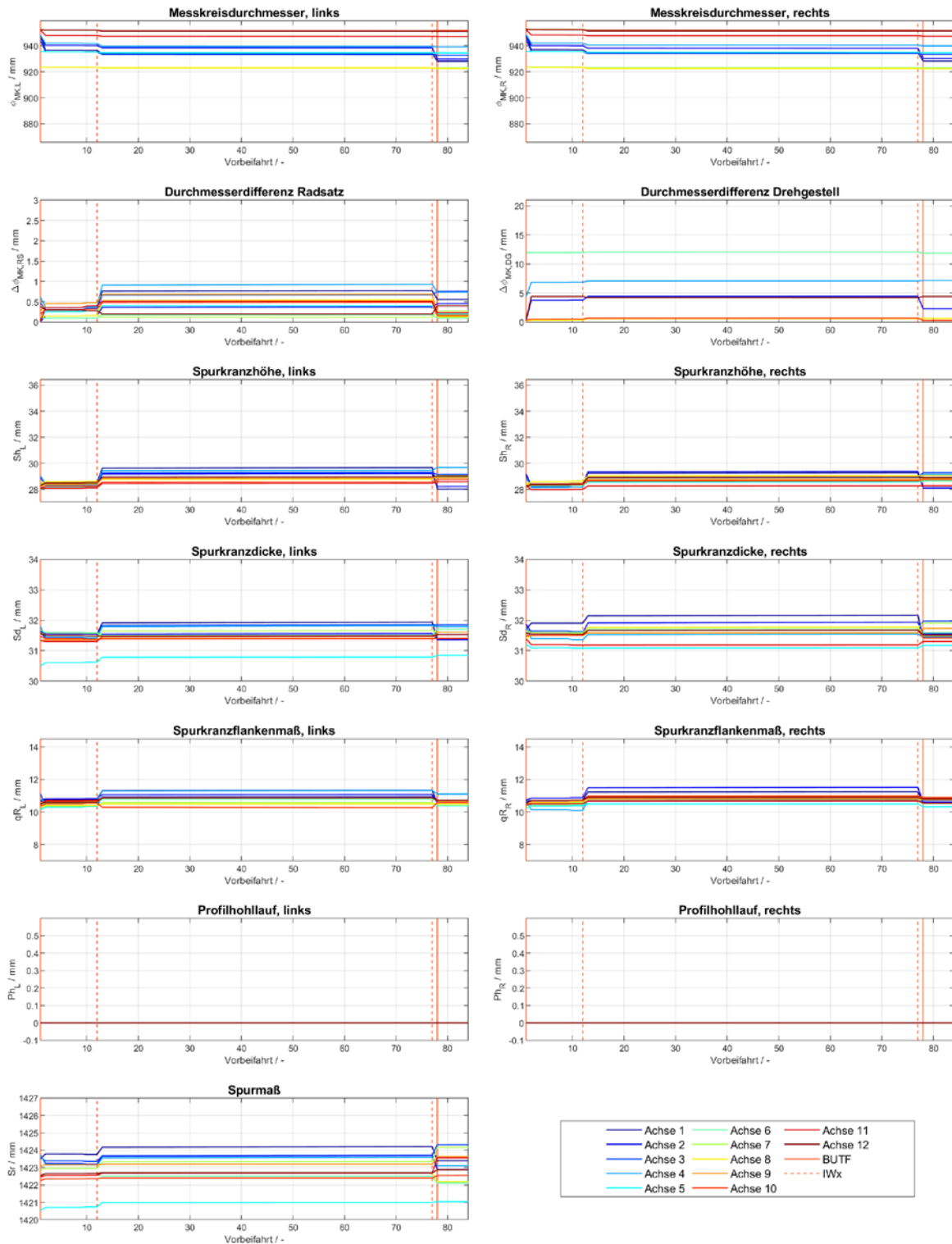


Abb. D-28: Verläufe ausgewählter Radparameter der Garnitur 227 der Schnellbahnbaureihe B über den Vorbeifahrten während der niederschlagsfreien Zeitabschnitte in MQ1 und MQ2 zum direkten Vergleich mit vorbeifahrtsbasierten Verlaufsdarstellungen von auffälligen Emissionen aus Anhang C

Typ B - 233, kein Regen (MQ1 und MQ2)

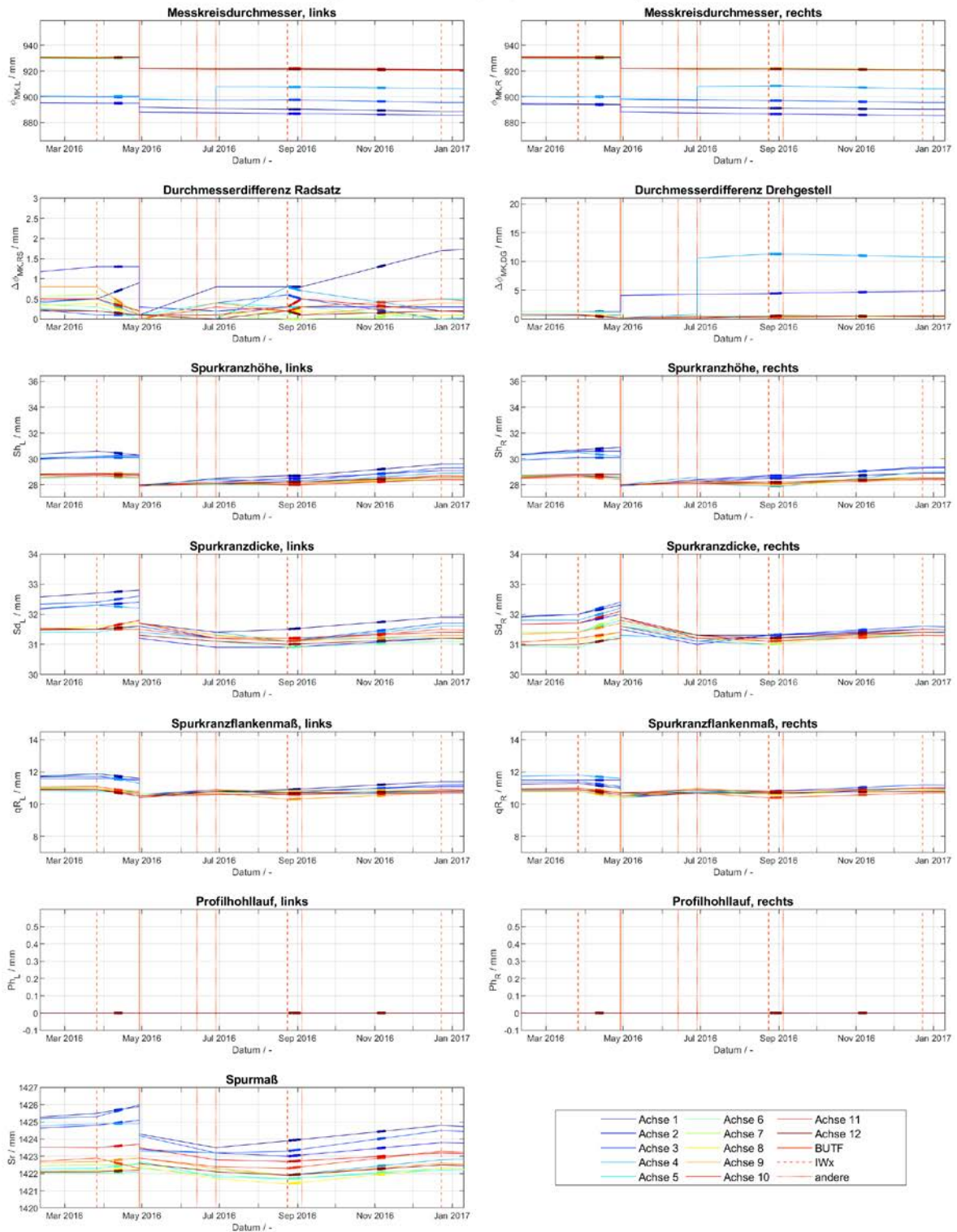


Abb. D-29: Verläufe ausgewählter Radparameter der Garnitur 233 der Schnellbahnbaureihe B über der Zeit – lineare Interpolation zwischen den Radprofilmessungen (durchgezogene Linien) mit Kennzeichnung der Vorbeifahrten während der niederschlagsfreien Zeitabschnitte in MQ1 und MQ2 (Punkte auf den Interpolationslinien)

Typ B - 233, kein Regen (MQ1 und MQ2)

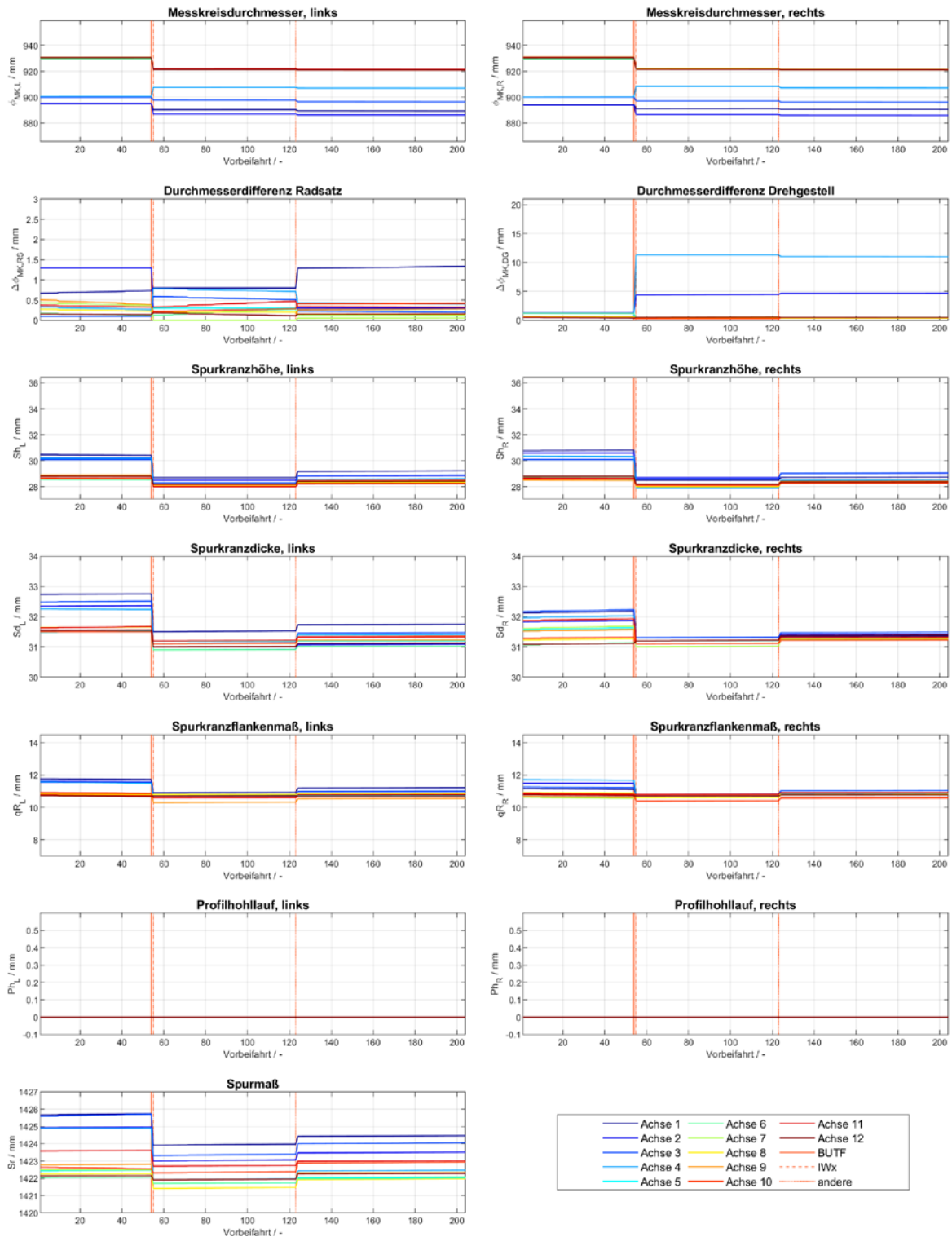


Abb. D-30: Verläufe ausgewählter Radparameter der Garnitur 233 der Schnellbahnbaureihe B über den Vorbeifahrten während der niederschlagsfreien Zeitabschnitte in MQ1 und MQ2 zum direkten Vergleich mit vorbeifahrtsbasierten Verlaufsdarstellungen von auffälligen Emissionen aus Anhang C

Typ B - 245, kein Regen (MQ1 und MQ2)

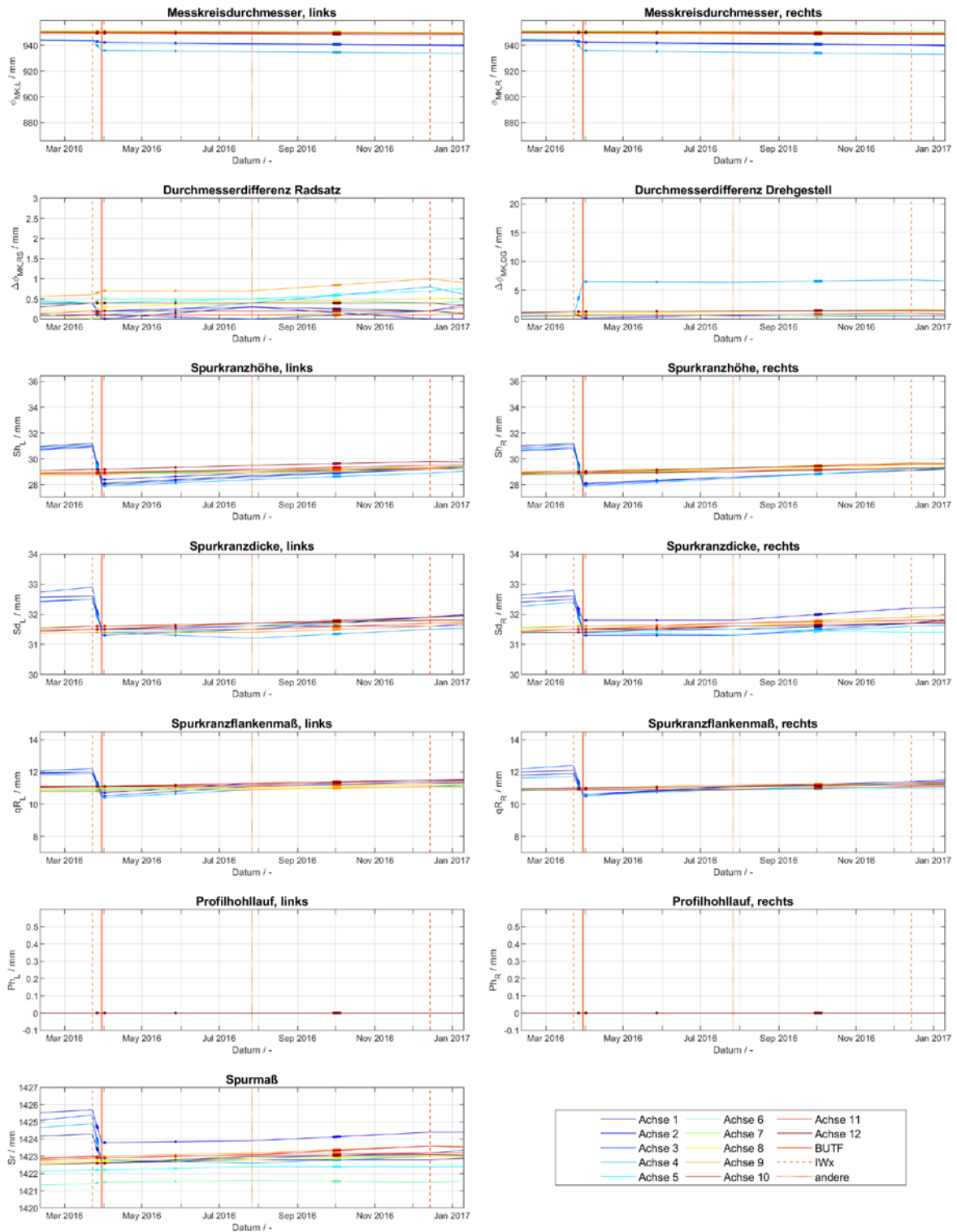


Abb. D-31: Verläufe ausgewählter Radparameter der Garnitur 245 der Schnellbahnbaureihe B über der Zeit – lineare Interpolation zwischen den Radprofilmessungen (durchgezogene Linien) mit Kennzeichnung der Vorbeifahrten während der niederschlagsfreien Zeitabschnitte in MQ1 und MQ2 (Punkte auf den Interpolationslinien)

Typ B - 245, kein Regen (MQ1 und MQ2)

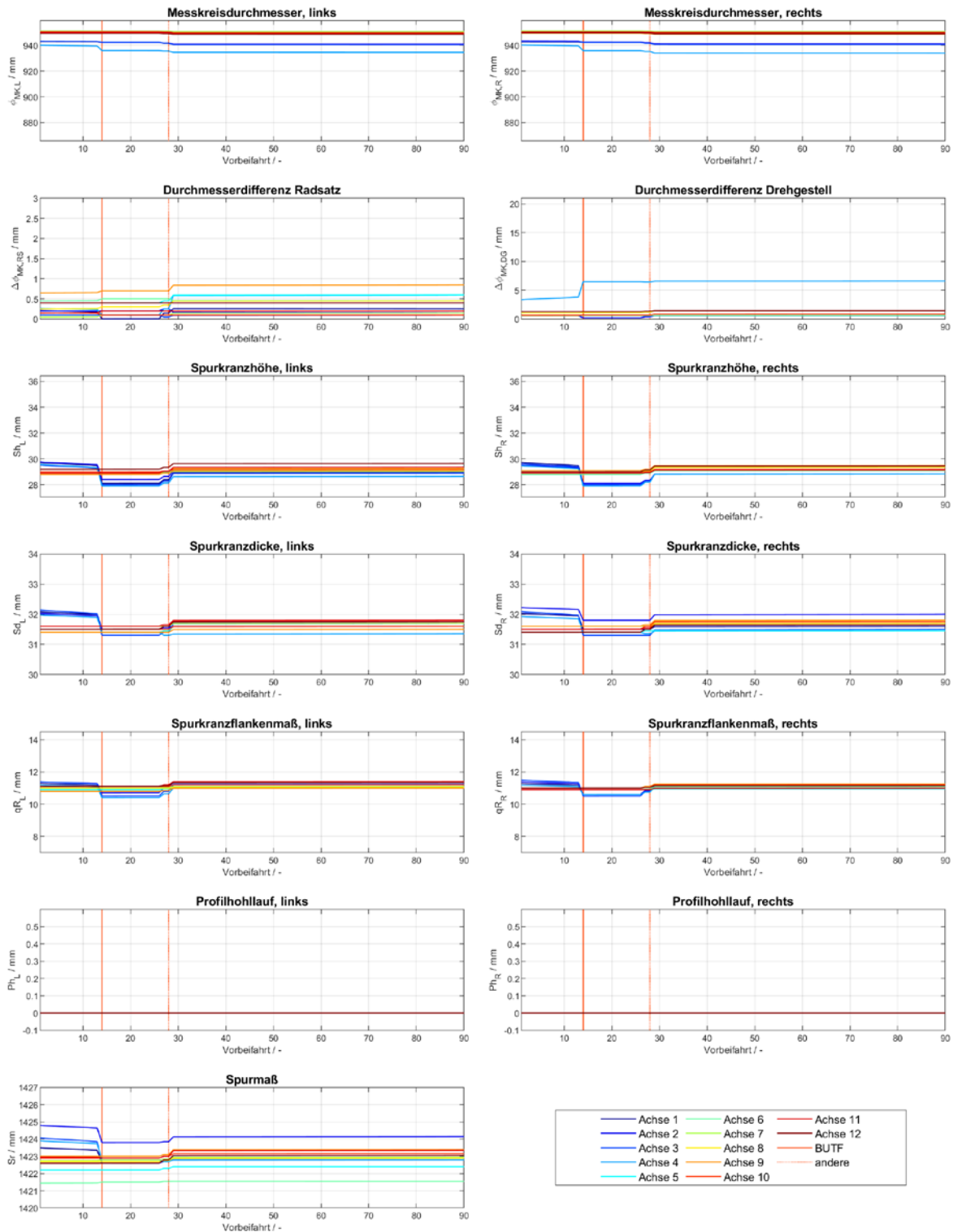


Abb. D-32: Verläufe ausgewählter Radparameter der Garnitur 245 der Schnellbahnbaureihe B über den Vorbeifahrten während der niederschlagsfreien Zeitabschnitte in MQ1 und MQ2 zum direkten Vergleich mit vorbeifahrtsbasierten Verlaufsdarstellungen von auffälligen Emissionen aus Anhang C

Typ B - 248, kein Regen (MQ1 und MQ2)

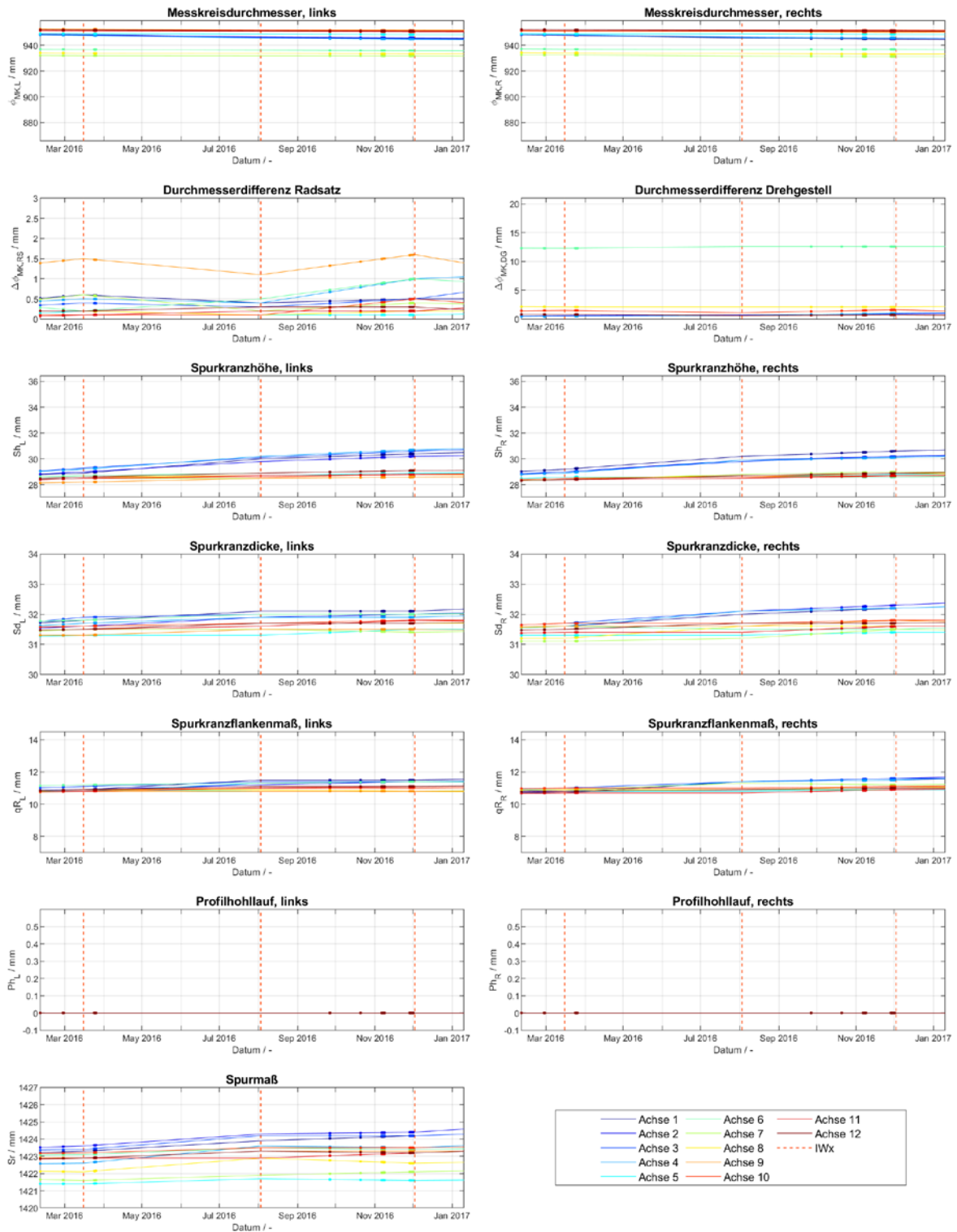


Abb. D-33: Verläufe ausgewählter Radparameter der Garnitur 248 der Schnellbahnbaureihe B über der Zeit – lineare Interpolation zwischen den Radprofilmessungen (durchgezogene Linien) mit Kennzeichnung der Vorbeifahrten während der niederschlagsfreien Zeitabschnitte in MQ1 und MQ2 (Punkte auf den Interpolationslinien)

Typ B - 248, kein Regen (MQ1 und MQ2)

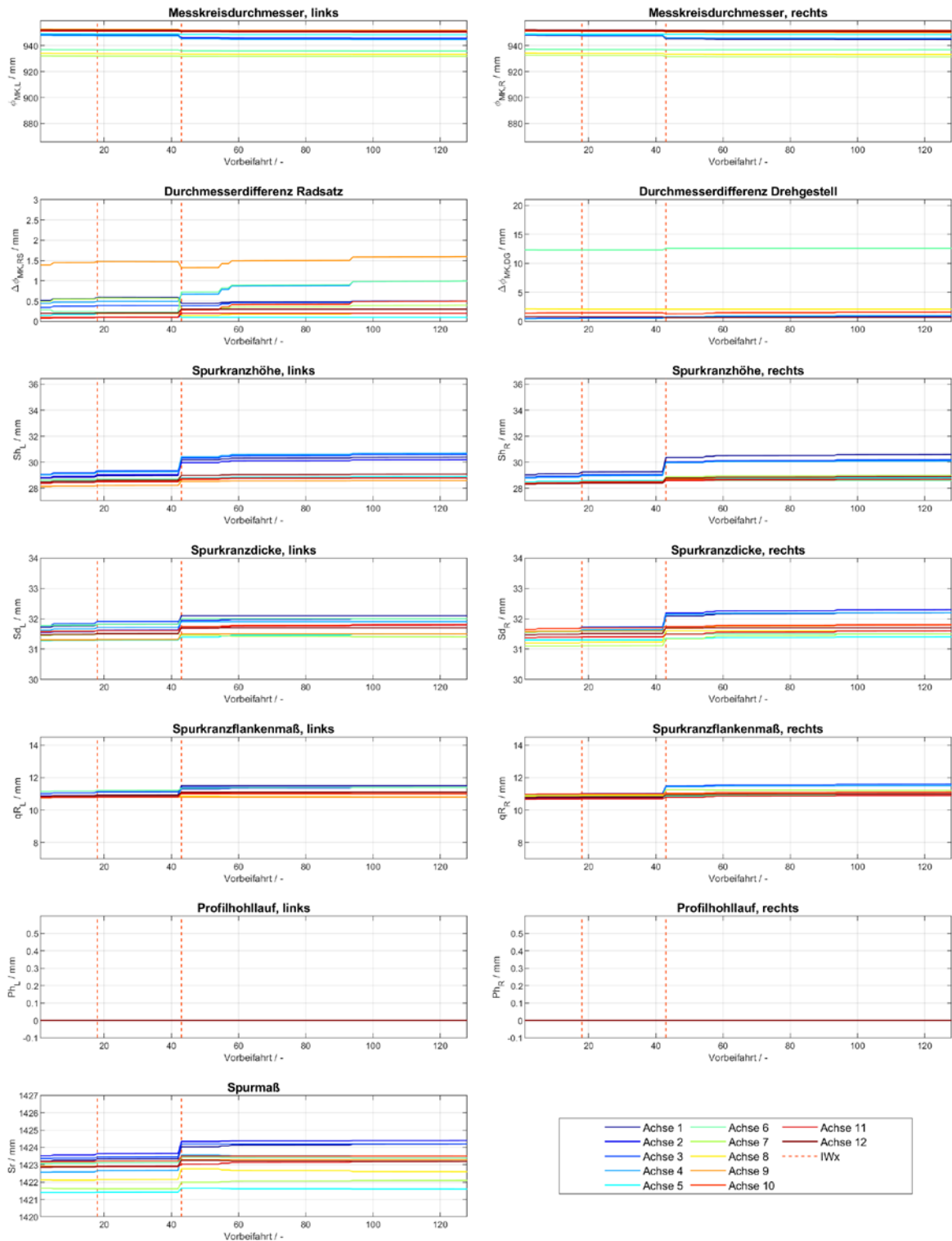


Abb. D-34: Verläufe ausgewählter Radparameter der Garnitur 248 der Schnellbahnbaureihe B über den Vorbeifahrten während der niederschlagsfreien Zeitabschnitte in MQ1 und MQ2 zum direkten Vergleich mit vorbeifahrtsbasierten Verlaufsdarstellungen von auffälligen Emissionen aus Anhang C

Typ B - 250, kein Regen (MQ1 und MQ2)

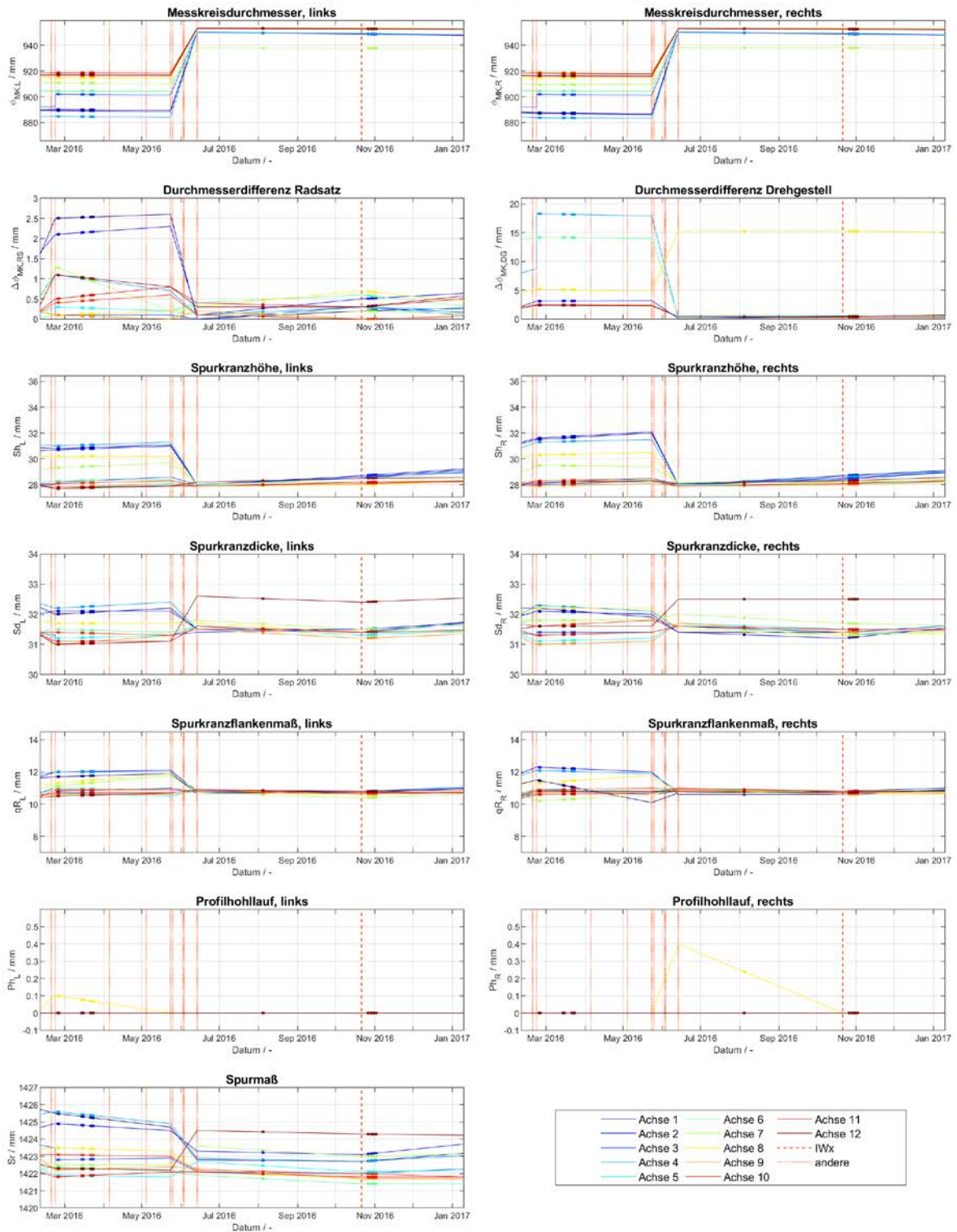


Abb. D-35: Verläufe ausgewählter Radparameter der Garnitur 250 der Schnellbahnbaureihe B über der Zeit – lineare Interpolation zwischen den Radprofilmessungen (durchgezogene Linien) mit Kennzeichnung der Vorbeifahrten während der niederschlagsfreien Zeitabschnitte in MQ1 und MQ2 (Punkte auf den Interpolationslinien)

Typ B - 250, kein Regen (MQ1 und MQ2)

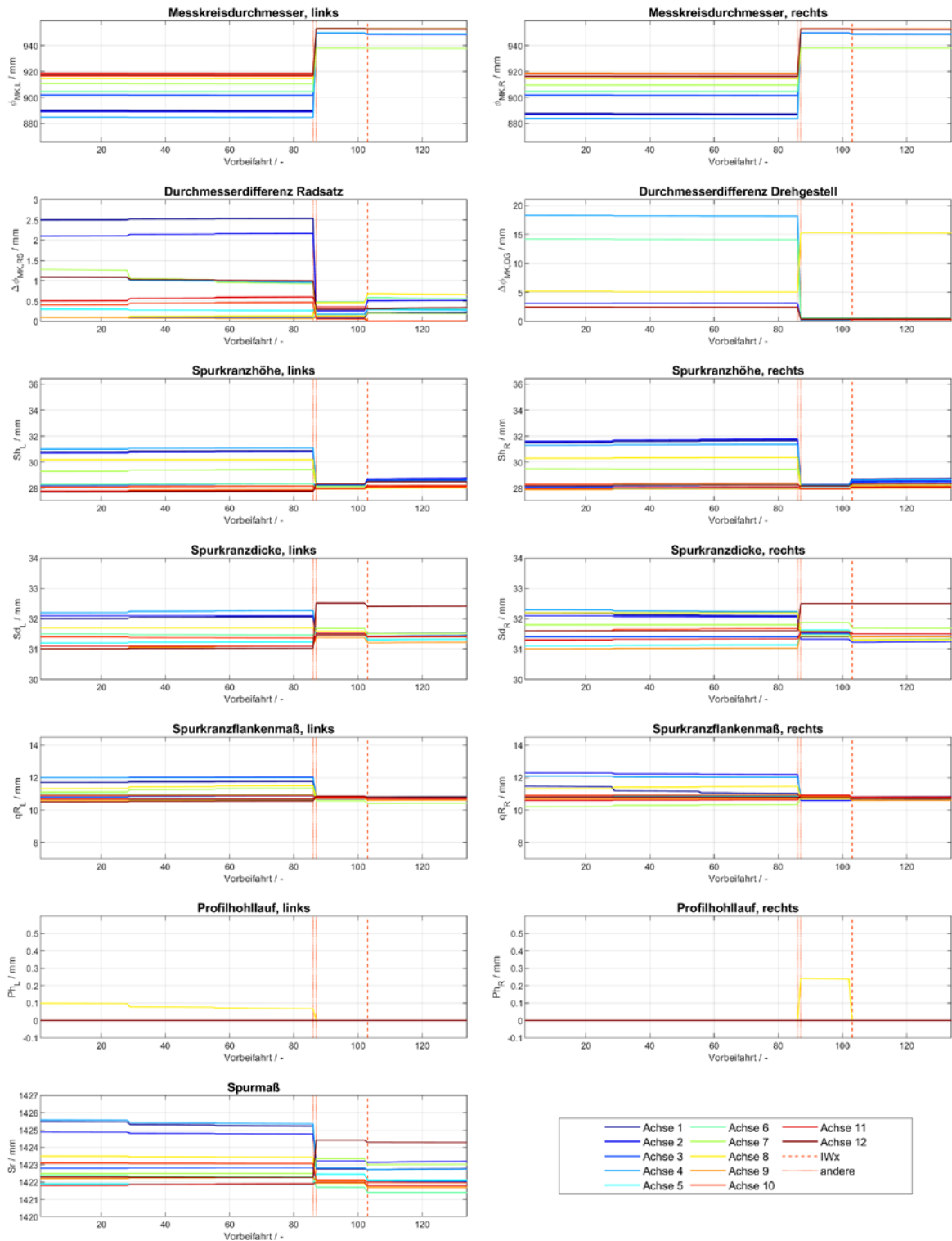


Abb. D-36: Verläufe ausgewählter Radparameter der Garnitur 250 der Schnellbahnbaureihe B über den Vorbeifahrten während der niederschlagsfreien Zeitabschnitte in MQ1 und MQ2 zum direkten Vergleich mit vorbeifahrtsbasierten Verlaufsdarstellungen von auffälligen Emissionen aus Anhang C

Typ B - 253, kein Regen (MQ1 und MQ2)

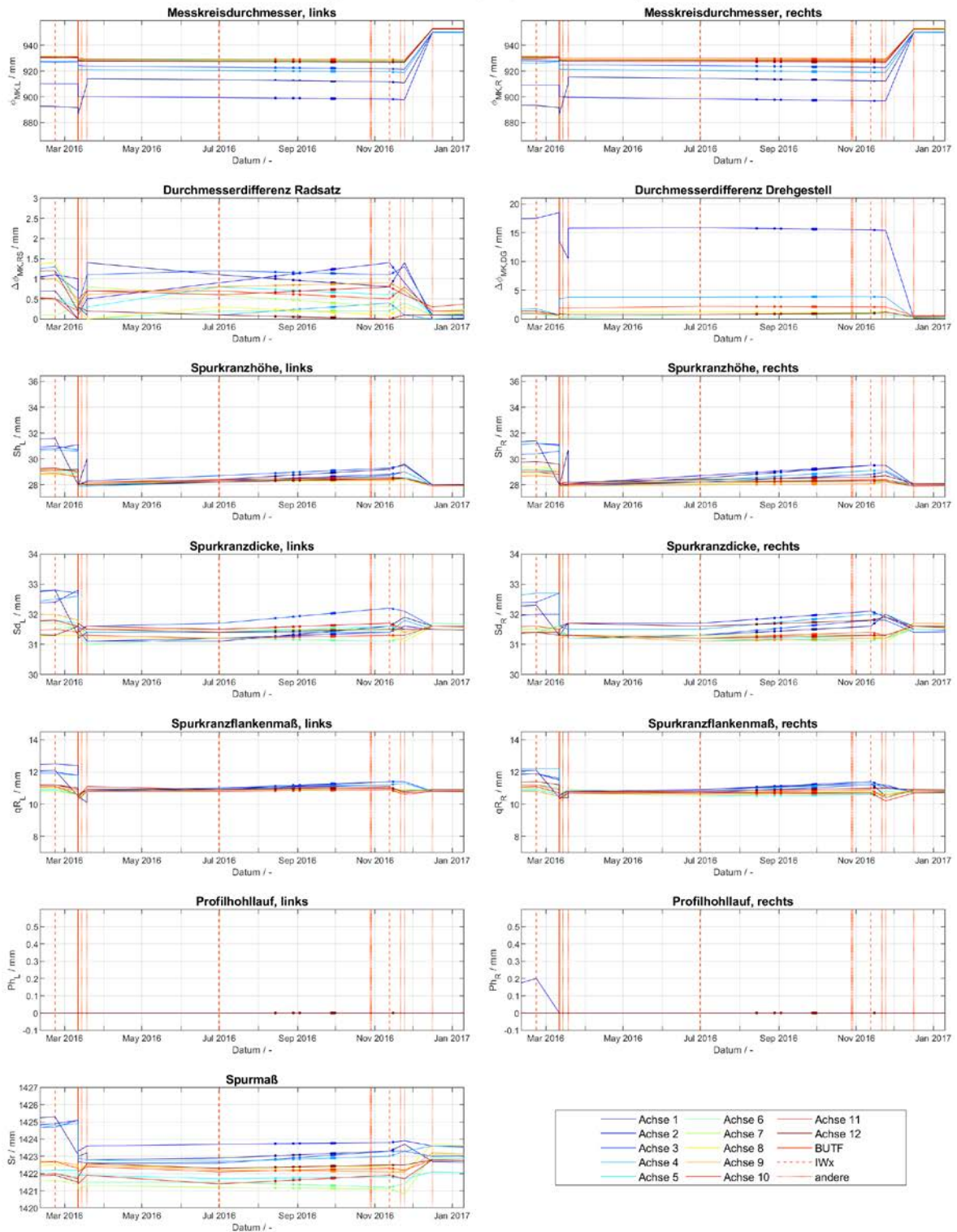


Abb. D-37: Verläufe ausgewählter Radparameter der Garnitur 253 der Schnellbahnbaureihe B über der Zeit – lineare Interpolation zwischen den Radprofilmessungen (durchgezogene Linien) mit Kennzeichnung der Vorbeifahrten während der niederschlagsfreien Zeitabschnitte in MQ1 und MQ2 (Punkte auf den Interpolationslinien)

Typ B - 253, kein Regen (MQ1 und MQ2)

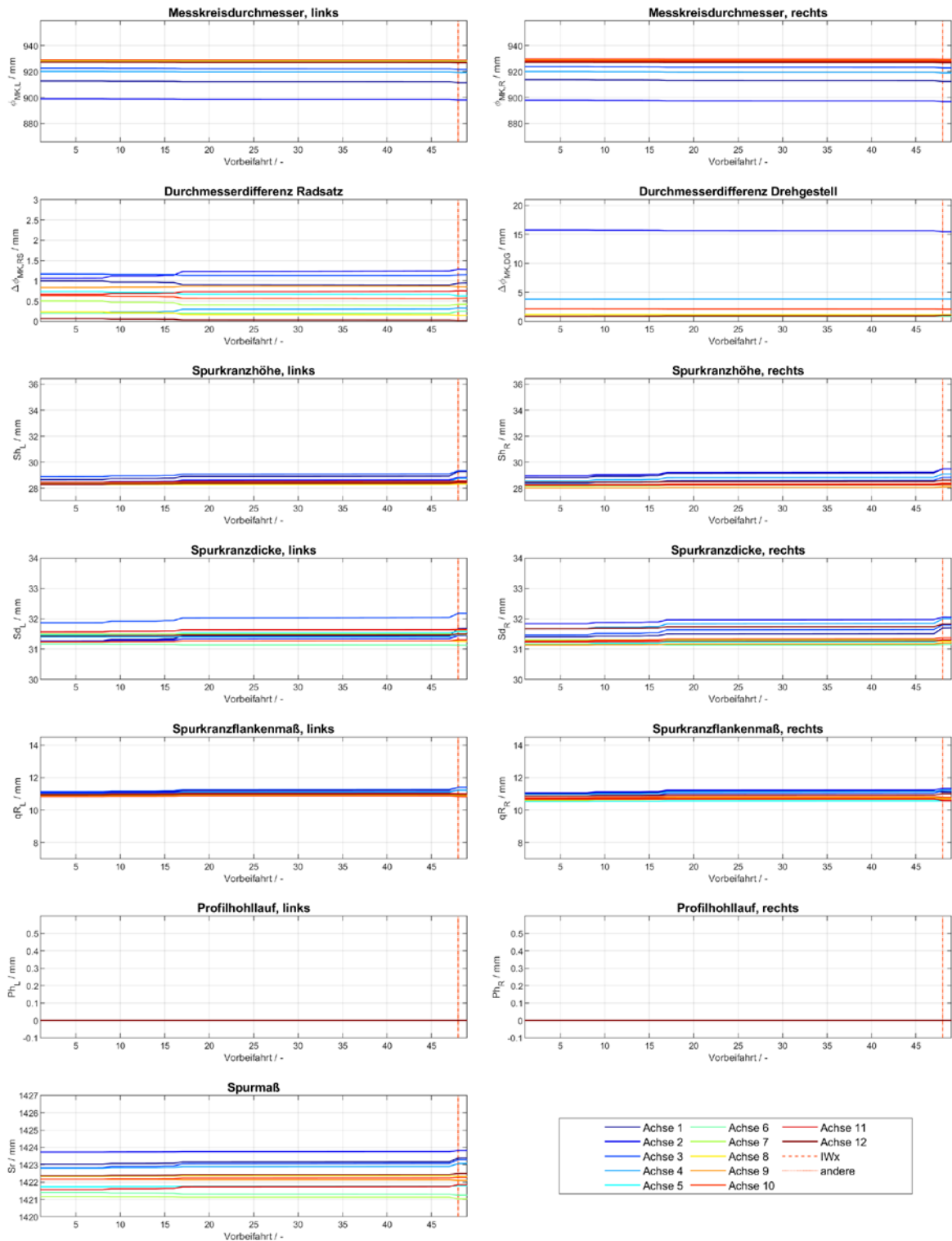


Abb. D-38: Verläufe ausgewählter Radparameter der Garnitur 253 der Schnellbahnbaureihe B über den Vorbeifahrten während der niederschlagsfreien Zeitabschnitte in MQ1 und MQ2 zum direkten Vergleich mit vorbeifahrtsbasierten Verlaufsdarstellungen von auffälligen Emissionen aus Anhang C

Typ B - 258, kein Regen (MQ1 und MQ2)

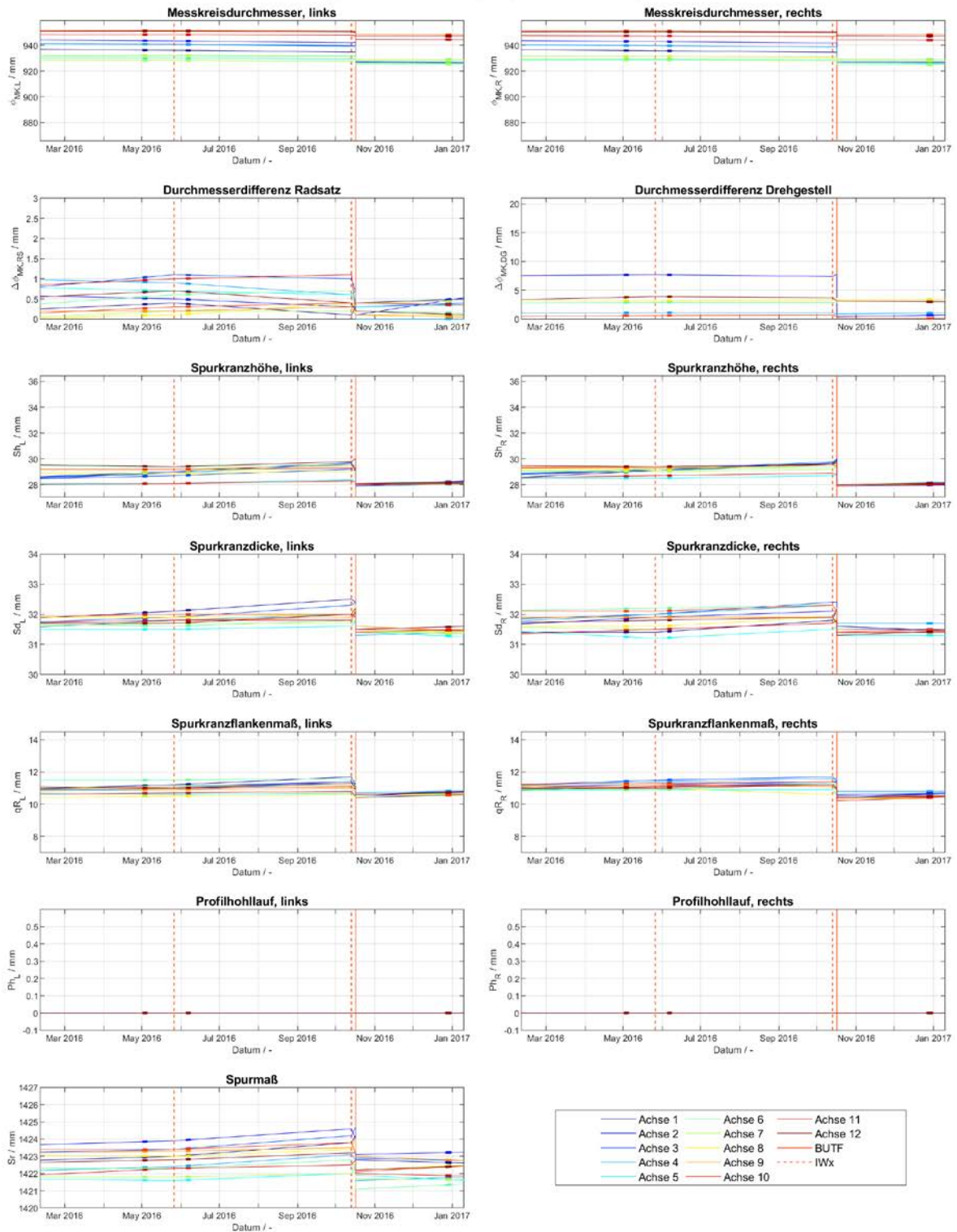


Abb. D-39: Verläufe ausgewählter Radparameter der Garnitur 258 der Schnellbahnbaureihe B über der Zeit – lineare Interpolation zwischen den Radprofilmessungen (durchgezogene Linien) mit Kennzeichnung der Vorbeifahrten während der niederschlagsfreien Zeitabschnitte in MQ1 und MQ2 (Punkte auf den Interpolationslinien)

Typ B - 258, kein Regen (MQ1 und MQ2)

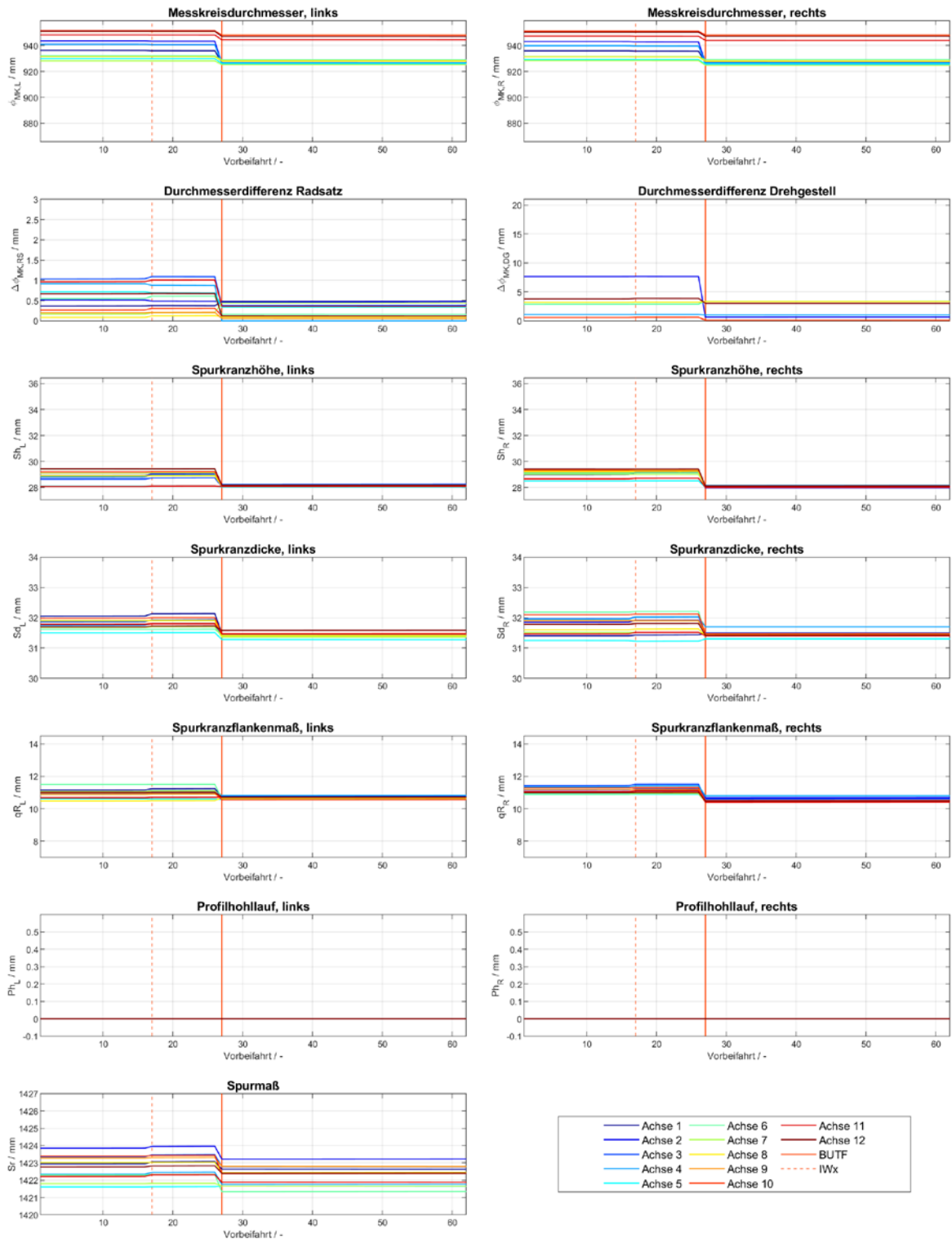


Abb. D-40: Verläufe ausgewählter Radparameter der Garnitur 258 der Schnellbahnbaureihe B über den Vorbeifahrten während der niederschlagsfreien Zeitabschnitte in MQ1 und MQ2 zum direkten Vergleich mit vorbeifahrtsbasierten Verlaufsdarstellungen von auffälligen Emissionen aus Anhang C

Typ B - 260, kein Regen (MQ1 und MQ2)

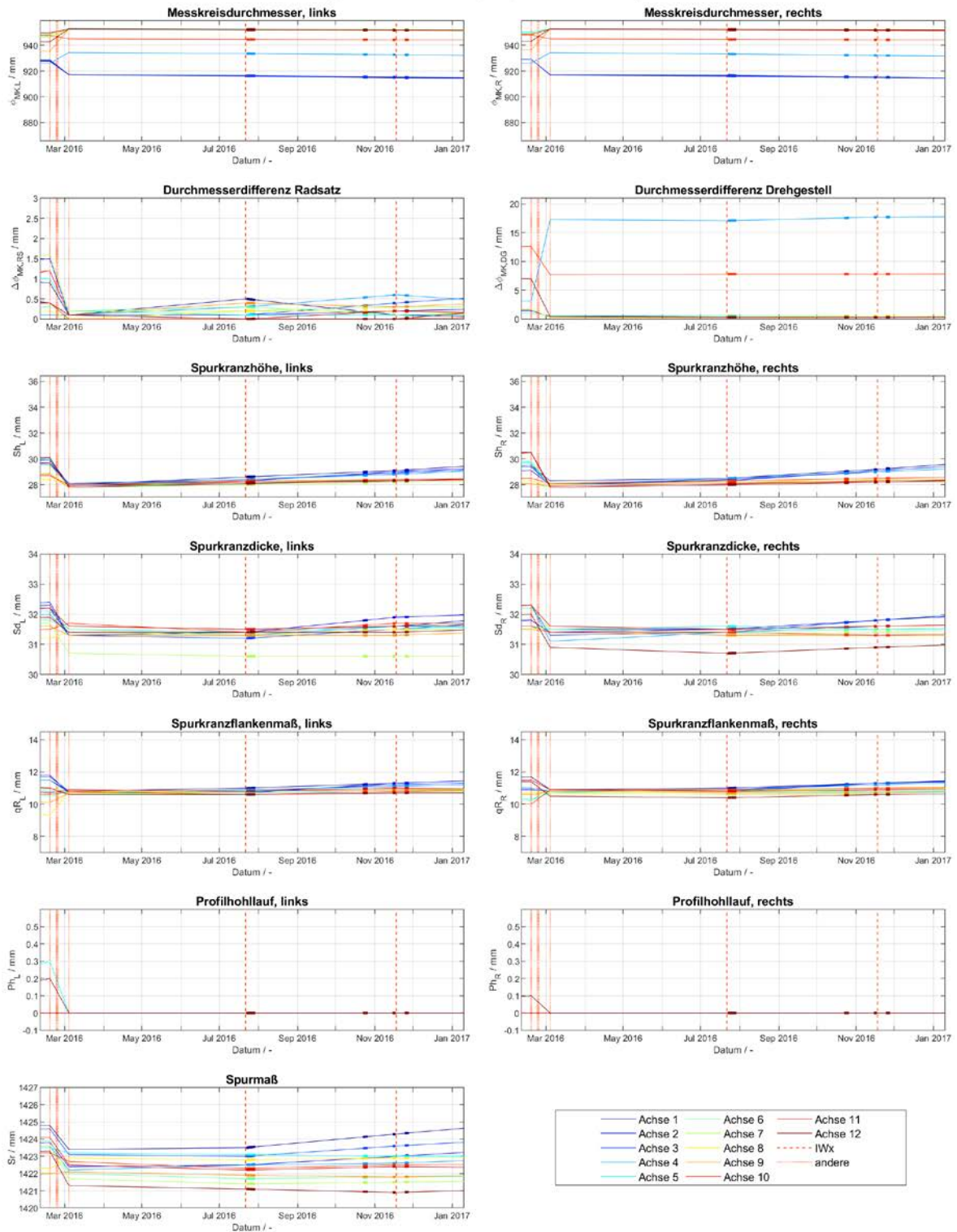


Abb. D-41: Verläufe ausgewählter Radparameter der Garnitur 260 der Schnellbahnbaureihe B über der Zeit – lineare Interpolation zwischen den Radprofilmessungen (durchgezogene Linien) mit Kennzeichnung der Vorbeifahrten während der niederschlagsfreien Zeitabschnitte in MQ1 und MQ2 (Punkte auf den Interpolationslinien)

Typ B - 260, kein Regen (MQ1 und MQ2)

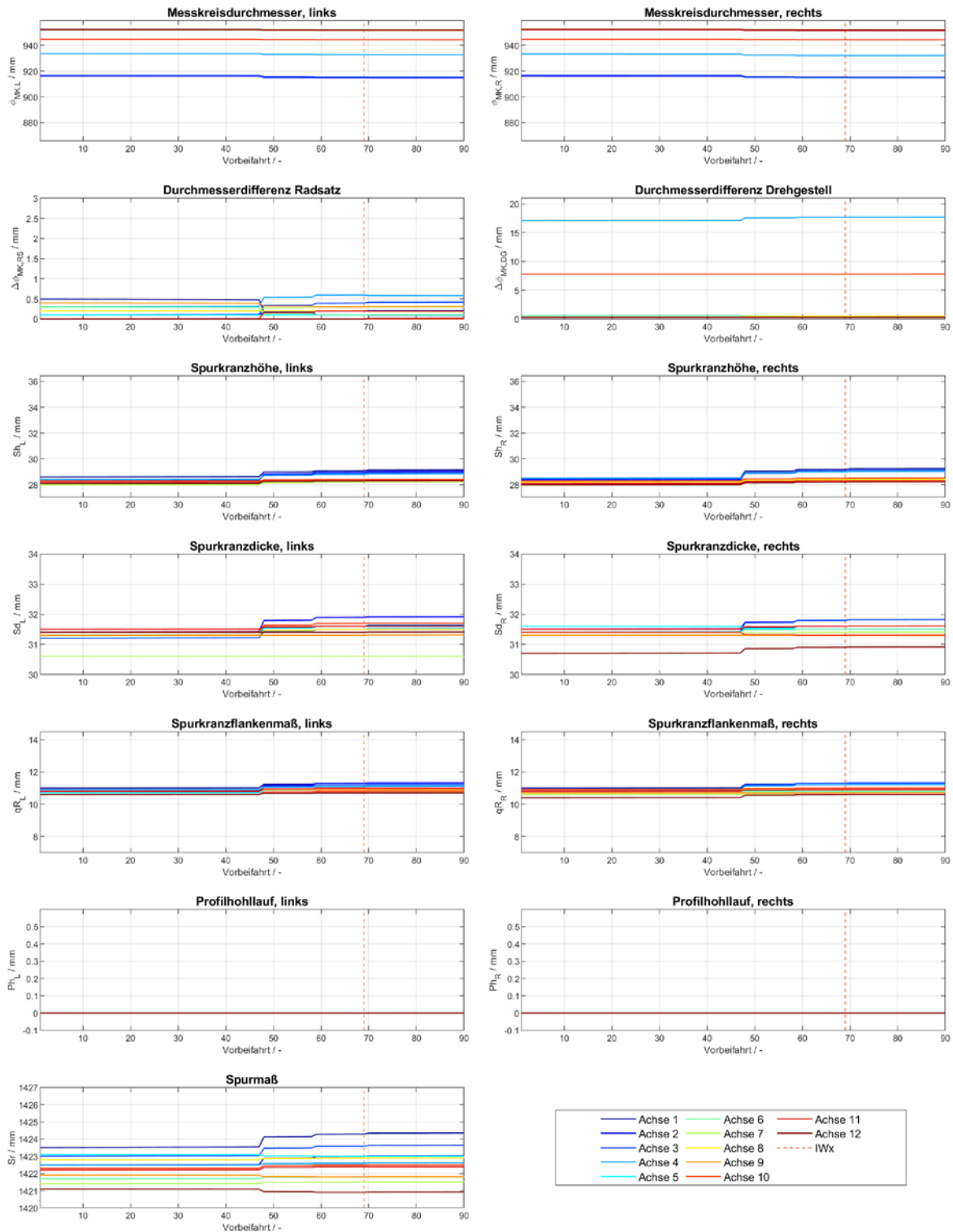


Abb. D-42: Verläufe ausgewählter Radparameter der Garnitur 260 der Schnellbahnbaureihe B über den Vorbeifahrten während der niederschlagsfreien Zeitabschnitte in MQ1 und MQ2 zum direkten Vergleich mit vorbeifahrtsbasierten Verlaufsdarstellungen von auffälligen Emissionen aus Anhang C

Typ B - 270, kein Regen (MQ1 und MQ2)

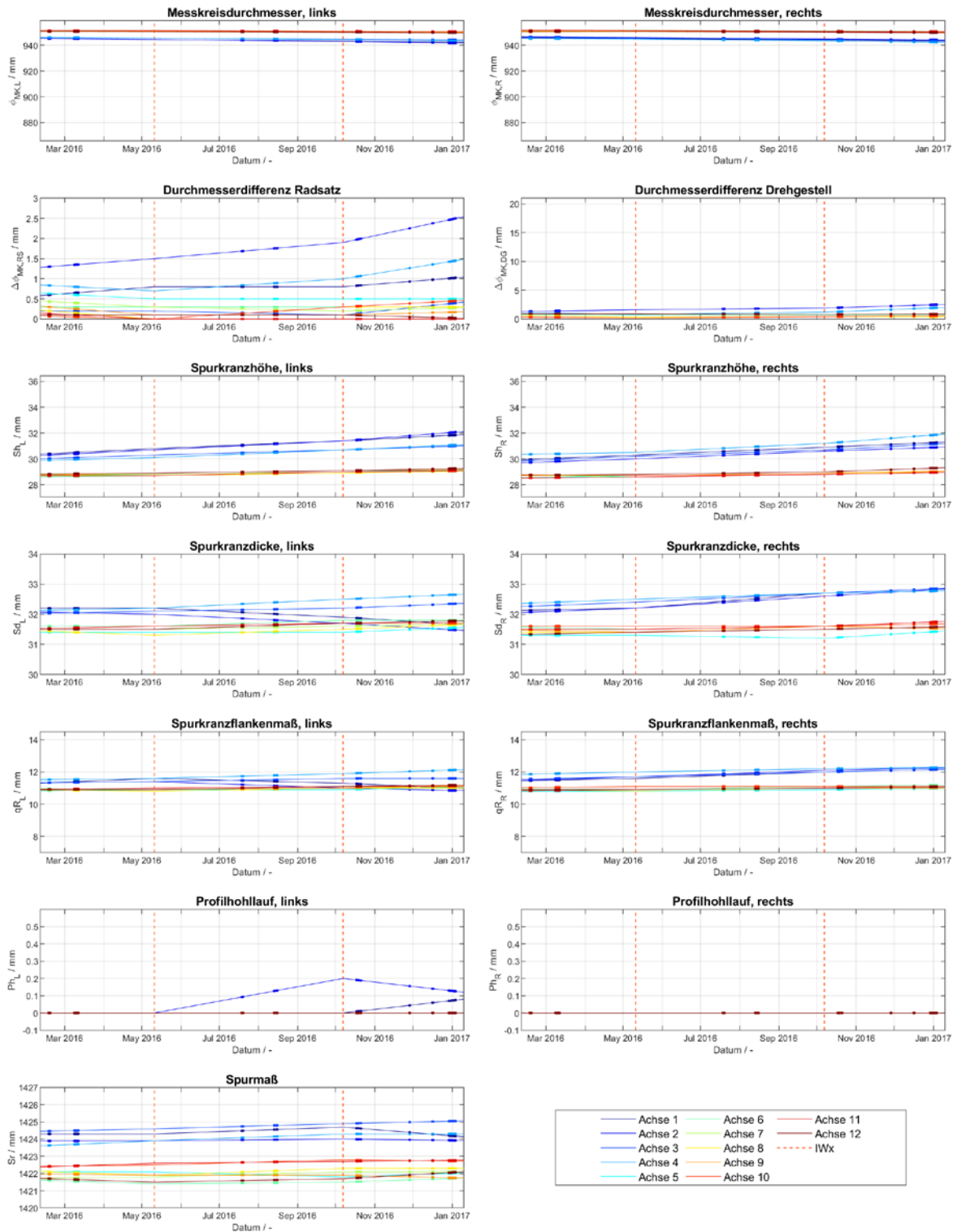


Abb. D-43: Verläufe ausgewählter Radparameter der Garnitur 270 der Schnellbahnbaureihe B über der Zeit – lineare Interpolation zwischen den Radprofilmessungen (durchgezogene Linien) mit Kennzeichnung der Vorbeifahrten während der niederschlagsfreien Zeitabschnitte in MQ1 und MQ2 (Punkte auf den Interpolationslinien)

Typ B - 270, kein Regen (MQ1 und MQ2)

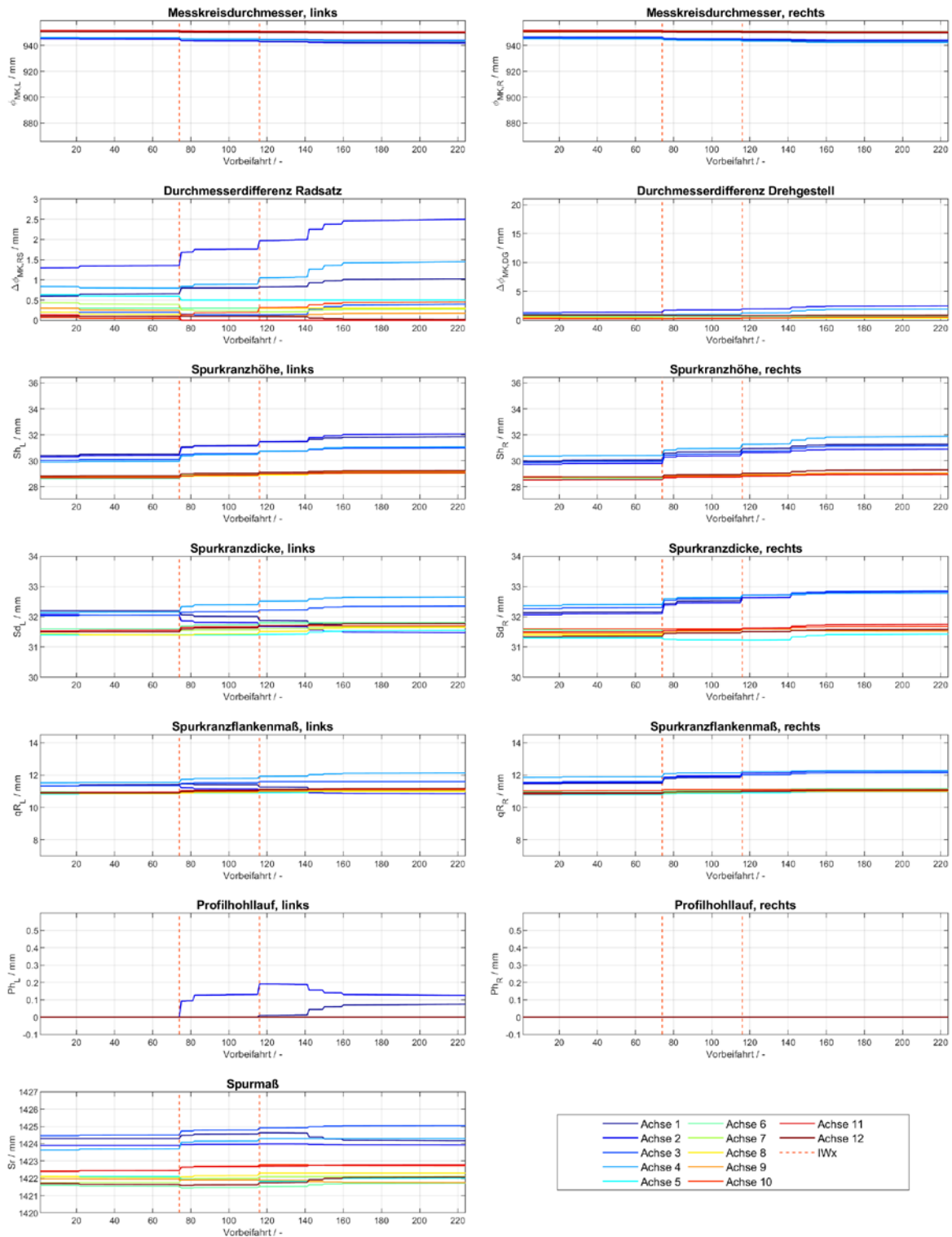


Abb. D-44: Verläufe ausgewählter Radparameter der Garnitur 270 der Schnellbahnbaureihe B über den Vorbeifahrten während der niederschlagsfreien Zeitabschnitte in MQ1 und MQ2 zum direkten Vergleich mit vorbeifahrtsbasierten Verlaufsdarstellungen von auffälligen Emissionen aus Anhang C

Typ B - 281, kein Regen (MQ1 und MQ2)

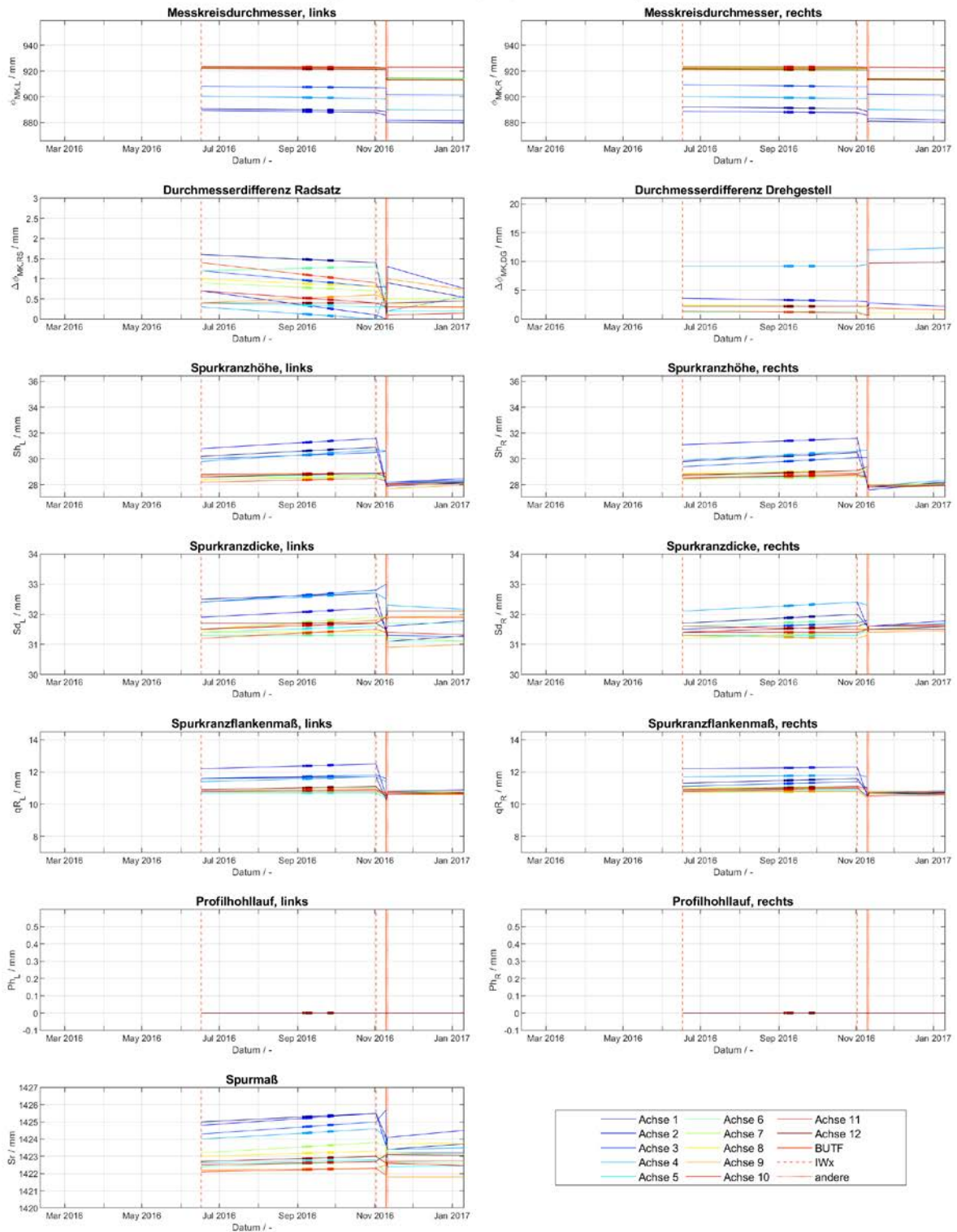


Abb. D-45: Verläufe ausgewählter Radparameter der Garnitur 281 der Schnellbahnbaureihe B über der Zeit – lineare Interpolation zwischen den Radprofilmessungen (durchgezogene Linien) mit Kennzeichnung der Vorbeifahrten während der niederschlagsfreien Zeitabschnitte in MQ1 und MQ2 (Punkte auf den Interpolationslinien)

Typ B - 281, kein Regen (MQ1 und MQ2)

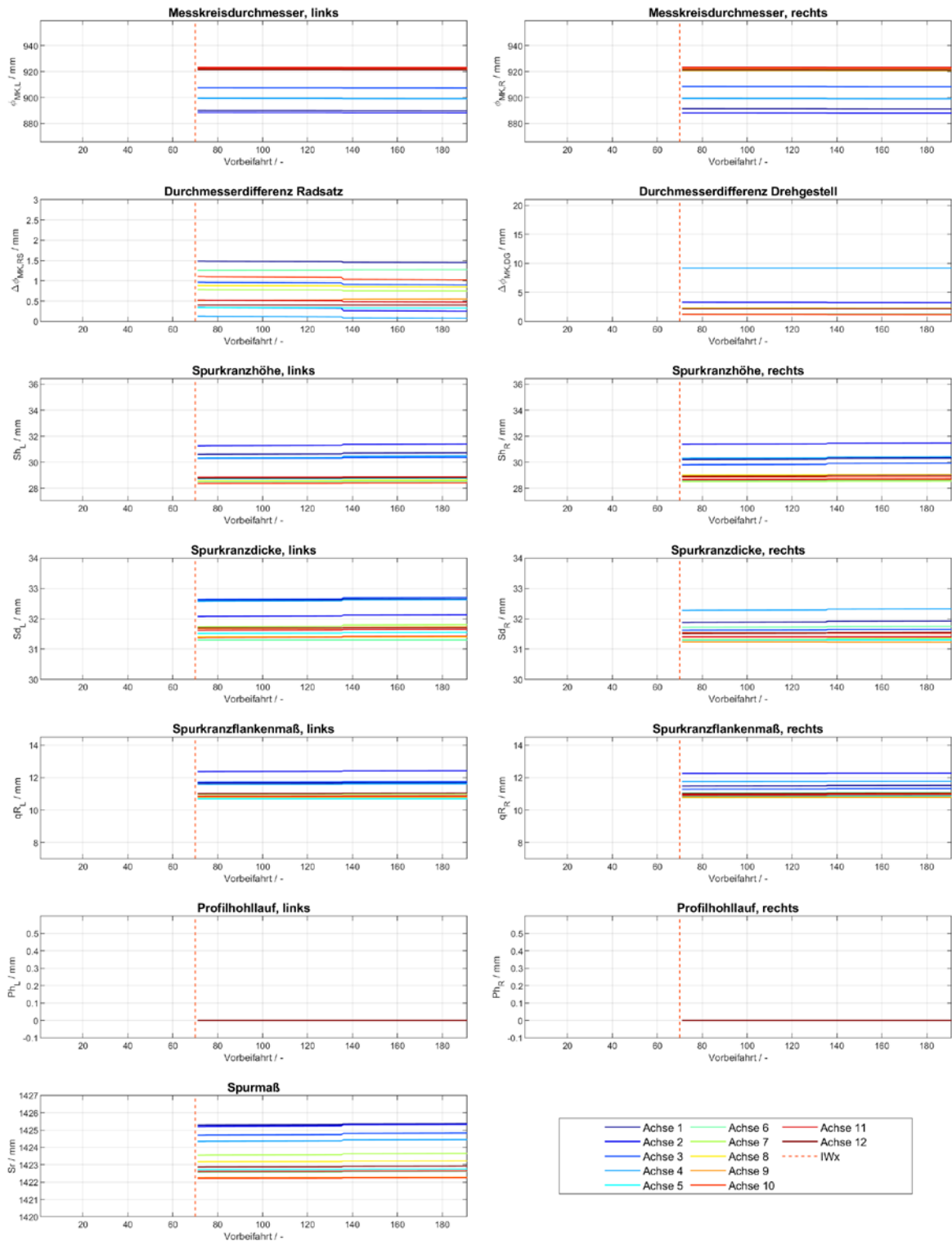


Abb. D-46: Verläufe ausgewählter Radparameter der Garnitur 281 der Schnellbahnbaureihe B über den Vorbeifahrten während der niederschlagsfreien Zeitabschnitte in MQ1 und MQ2 zum direkten Vergleich mit vorbeifahrtsbasierten Verlaufsdarstellungen von auffälligen Emissionen aus Anhang C

Typ B - 288, kein Regen (MQ1 und MQ2)

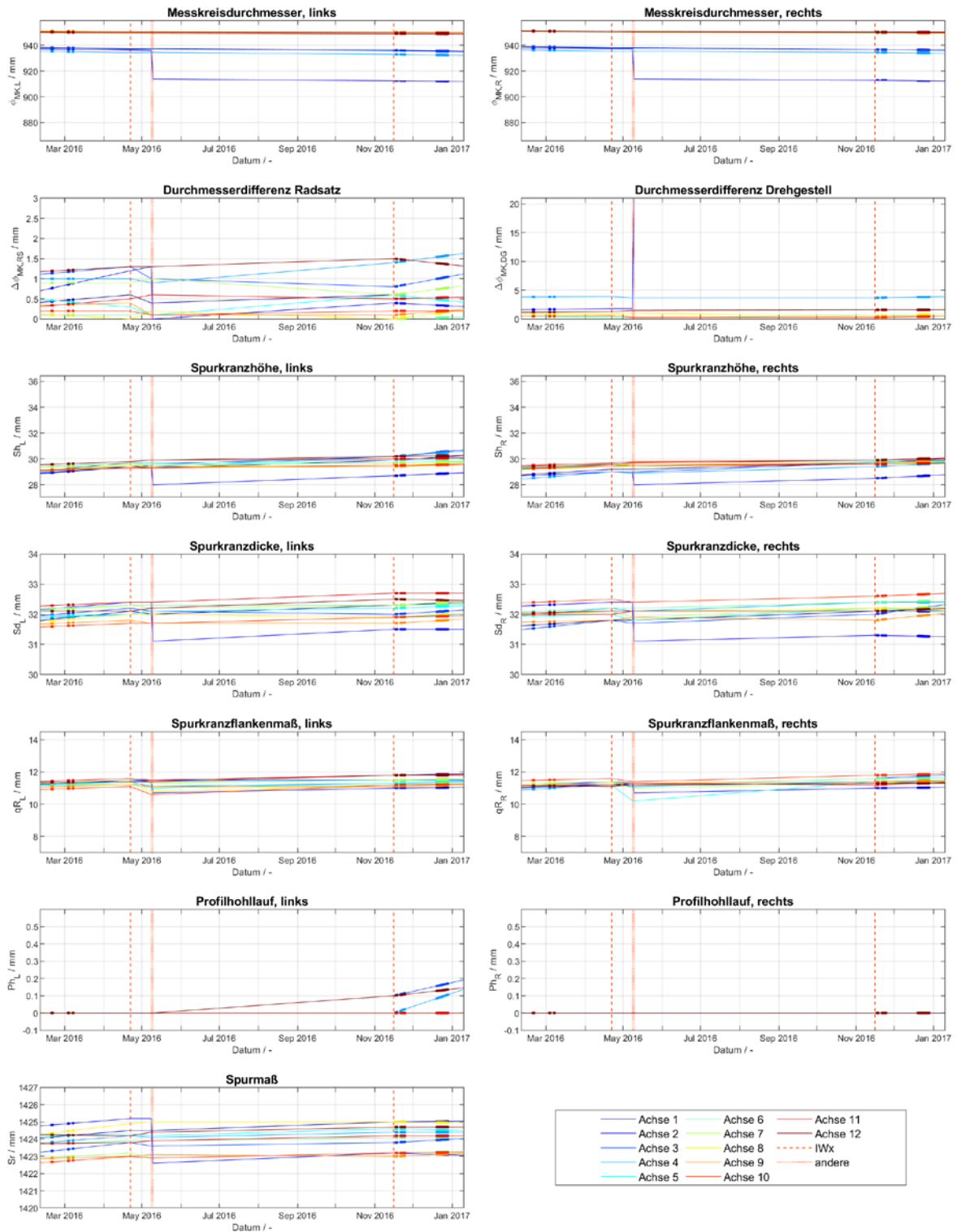


Abb. D-47: Verläufe ausgewählter Radparameter der Garnitur 288 der Schnellbahnbaureihe B über der Zeit – lineare Interpolation zwischen den Radprofilmessungen (durchgezogene Linien) mit Kennzeichnung der Vorbeifahrten während der niederschlagsfreien Zeitabschnitte in MQ1 und MQ2 (Punkte auf den Interpolationslinien)

Typ B - 288, kein Regen (MQ1 und MQ2)

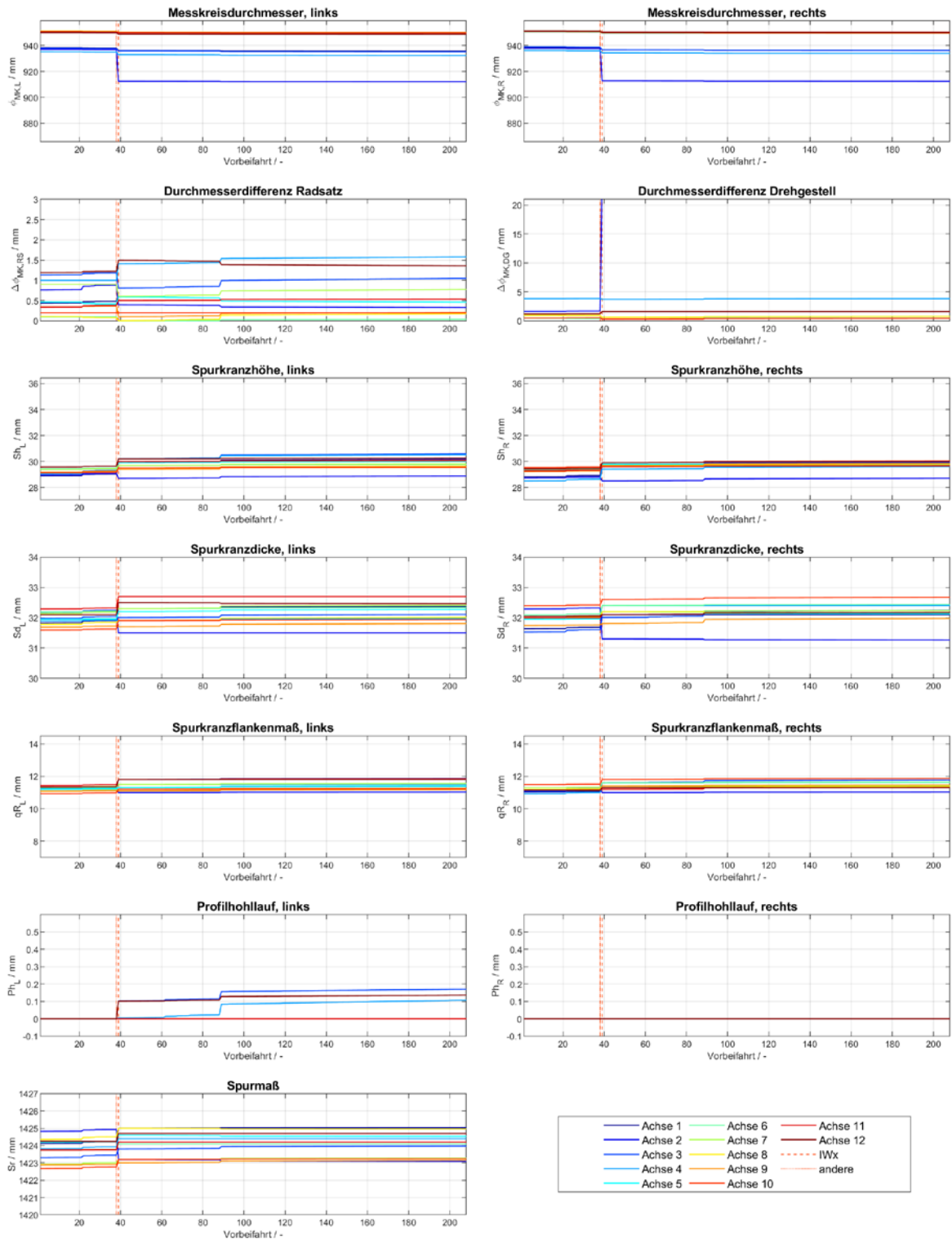


Abb. D-48: Verläufe ausgewählter Radparameter der Garnitur 288 der Schnellbahnbaureihe B über den Vorbeifahrten während der niederschlagsfreien Zeitabschnitte in MQ1 und MQ2 zum direkten Vergleich mit vorbeifahrtsbasierten Verlaufsdarstellungen von auffälligen Emissionen aus Anhang C

Typ B - 290, kein Regen (MQ1 und MQ2)

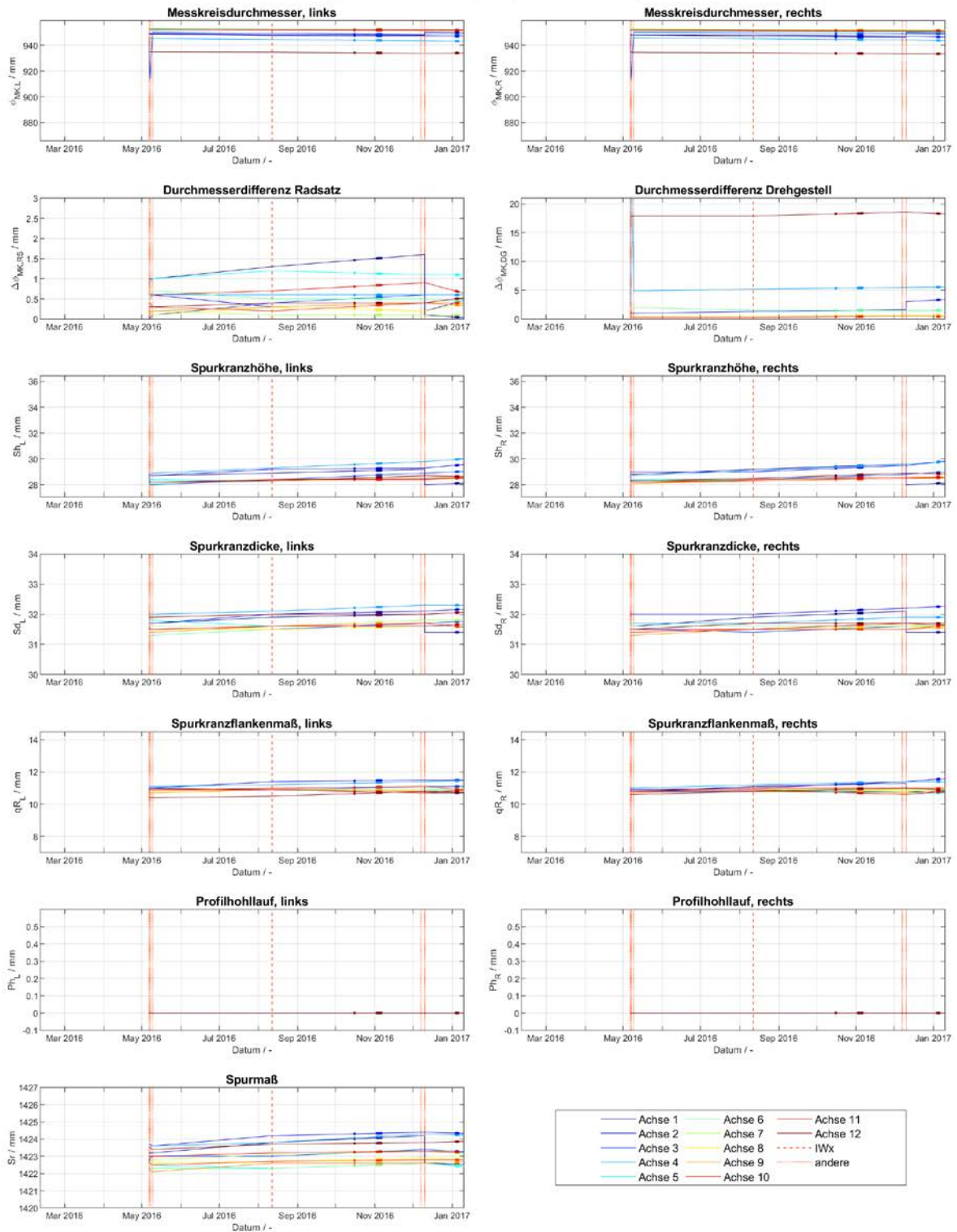


Abb. D-49: Verläufe ausgewählter Radparameter der Garnitur 290 der Schnellbahnbaureihe B über der Zeit – lineare Interpolation zwischen den Radprofilmessungen (durchgezogene Linien) mit Kennzeichnung der Vorbeifahrten während der niederschlagsfreien Zeitabschnitte in MQ1 und MQ2 (Punkte auf den Interpolationslinien)

Typ B - 290, kein Regen (MQ1 und MQ2)

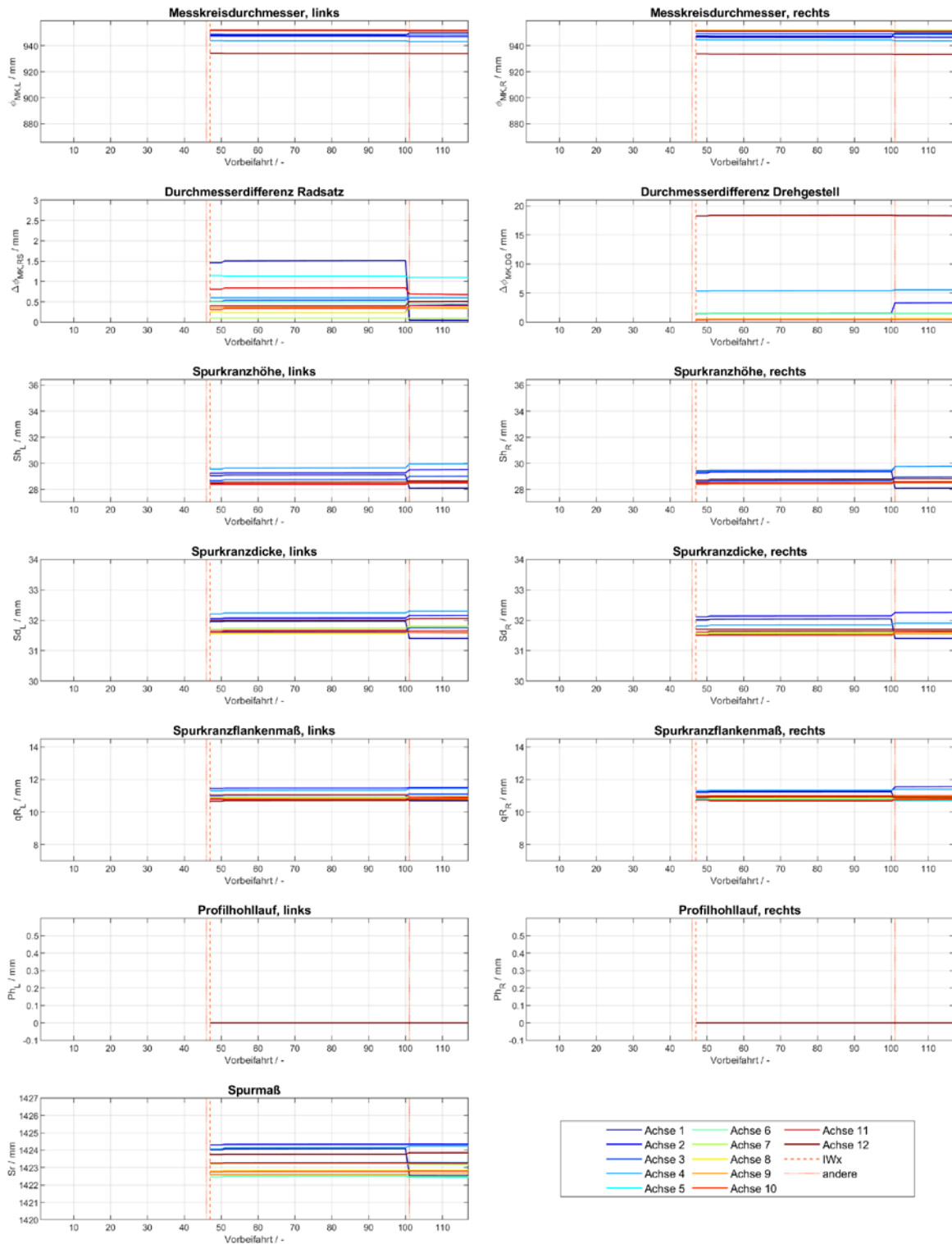


Abb. D-50: Verläufe ausgewählter Radparameter der Garnitur 290 der Schnellbahnbaureihe B über den Vorbeifahrten während der niederschlagsfreien Zeitabschnitte in MQ1 und MQ2 zum direkten Vergleich mit vorbeifahrtsbasierten Verlaufsdarstellungen von auffälligen Emissionen aus Anhang C

Typ B - 295, kein Regen (MQ1 und MQ2)

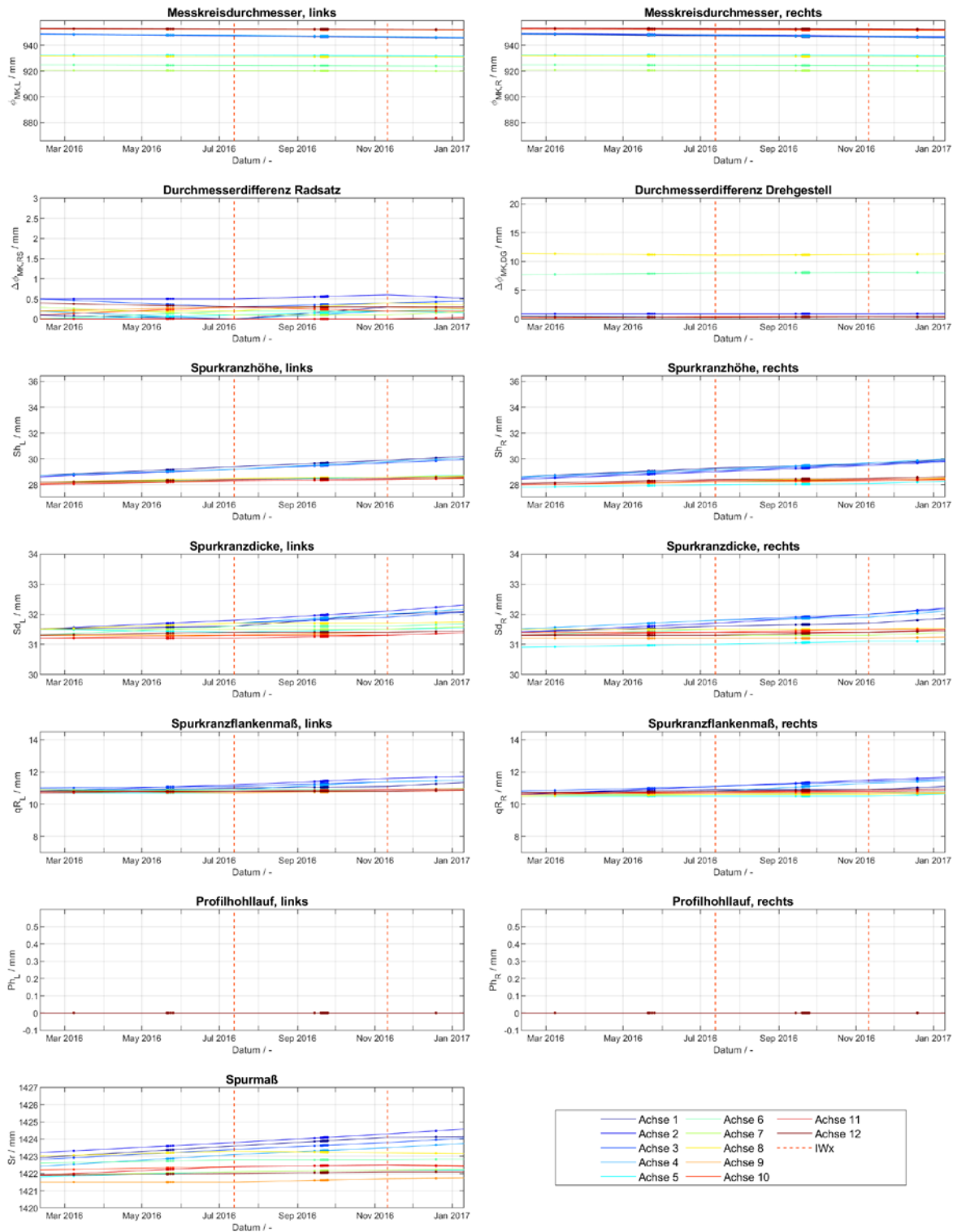


Abb. D-51: Verläufe ausgewählter Radparameter der Garnitur 295 der Schnellbahnbaureihe B über der Zeit – lineare Interpolation zwischen den Radprofilmessungen (durchgezogene Linien) mit Kennzeichnung der Vorbeifahrten während der niederschlagsfreien Zeitabschnitte in MQ1 und MQ2 (Punkte auf den Interpolationslinien)

Typ B - 295, kein Regen (MQ1 und MQ2)

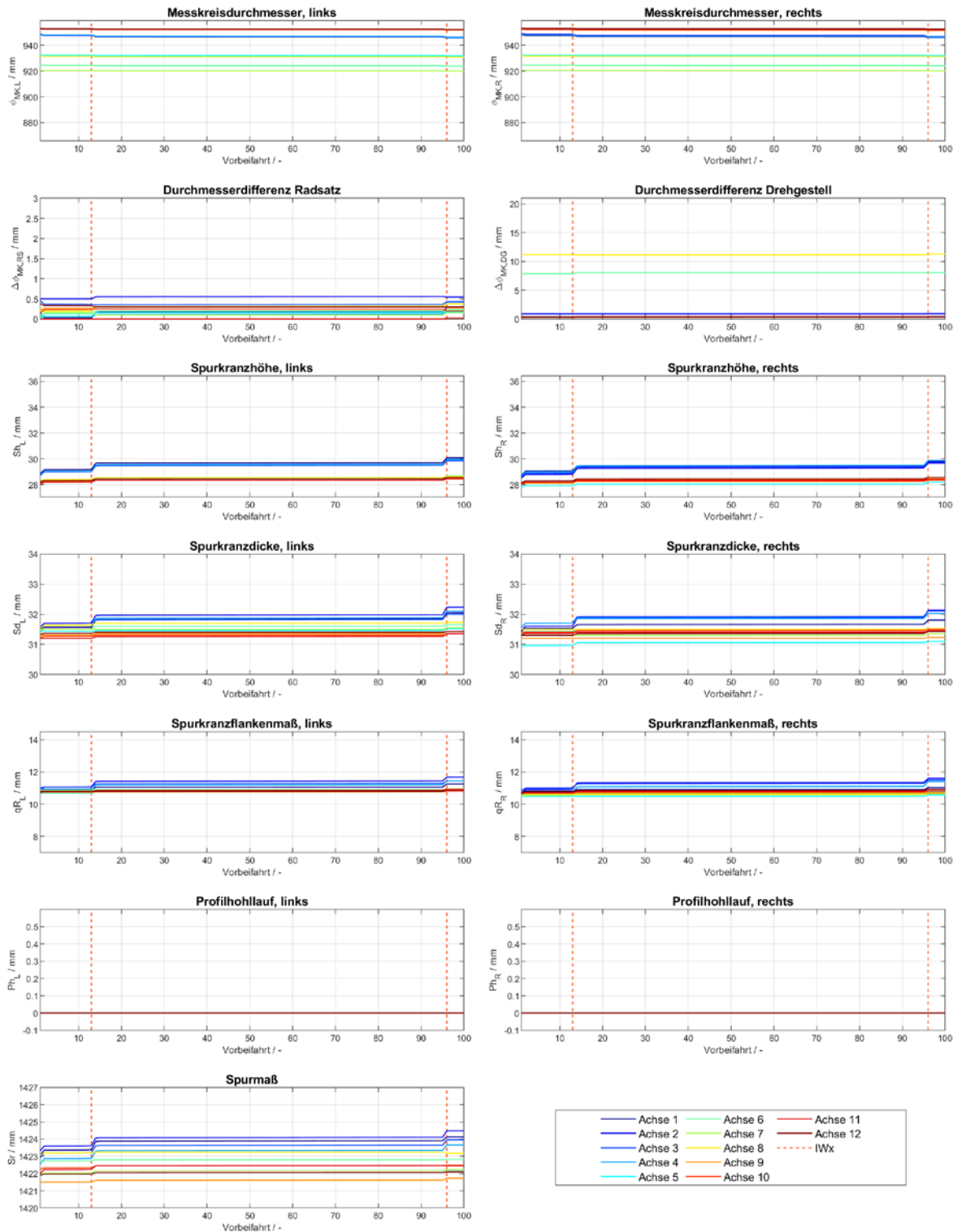


Abb. D-52: Verläufe ausgewählter Radparameter der Garnitur 295 der Schnellbahnbaureihe B über den Vorbeifahrten während der niederschlagsfreien Zeitabschnitte in MQ1 und MQ2 zum direkten Vergleich mit vorbeifahrtsbasierten Verlaufsdarstellungen von auffälligen Emissionen aus Anhang C

Typ B - 298, kein Regen (MQ1 und MQ2)

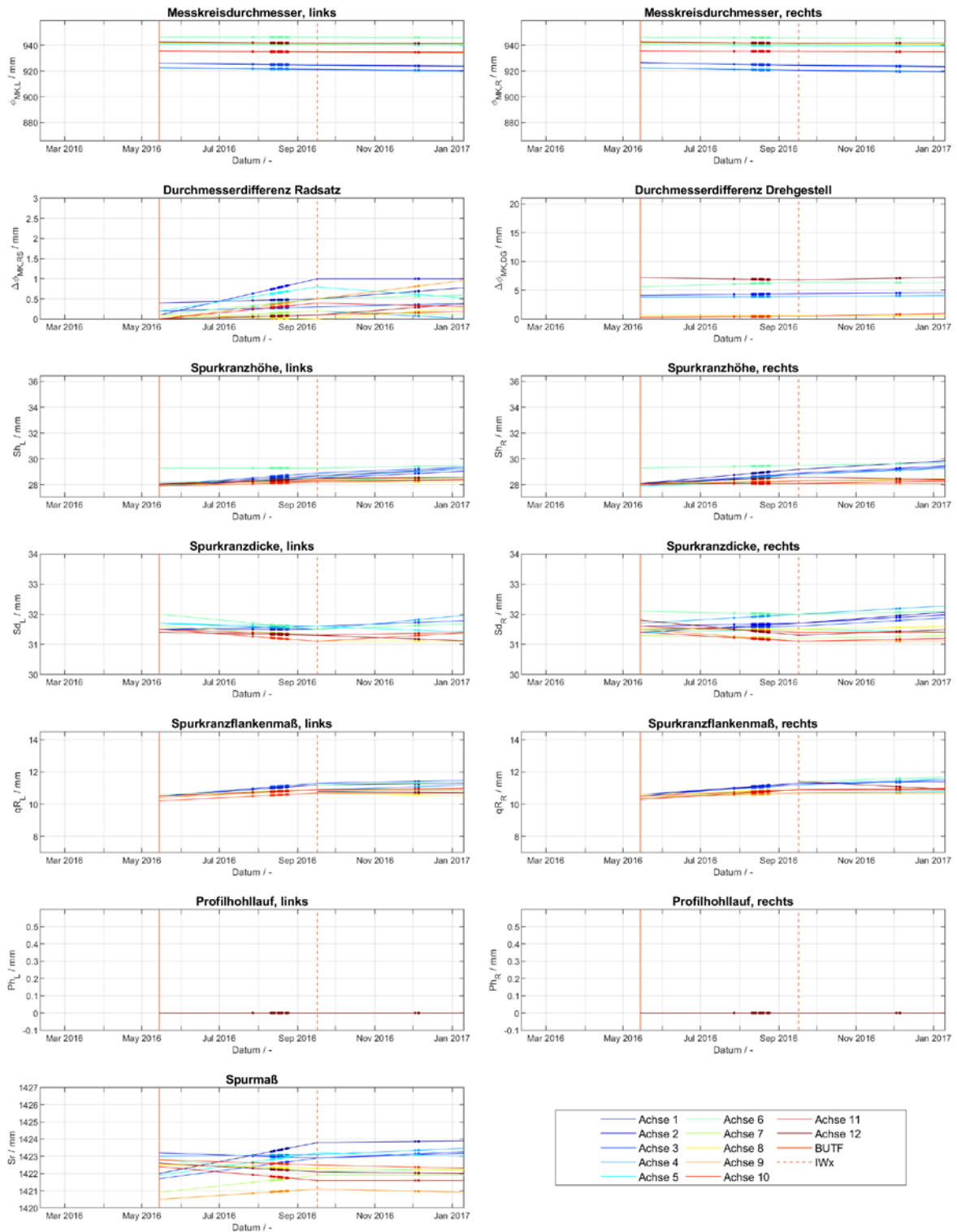


Abb. D-53: Verläufe ausgewählter Radparameter der Garnitur 298 der Schnellbahnbaureihe B über der Zeit – lineare Interpolation zwischen den Radprofilmessungen (durchgezogene Linien) mit Kennzeichnung der Vorbeifahrten während der niederschlagsfreien Zeitabschnitte in MQ1 und MQ2 (Punkte auf den Interpolationslinien)

Typ B - 298, kein Regen (MQ1 und MQ2)

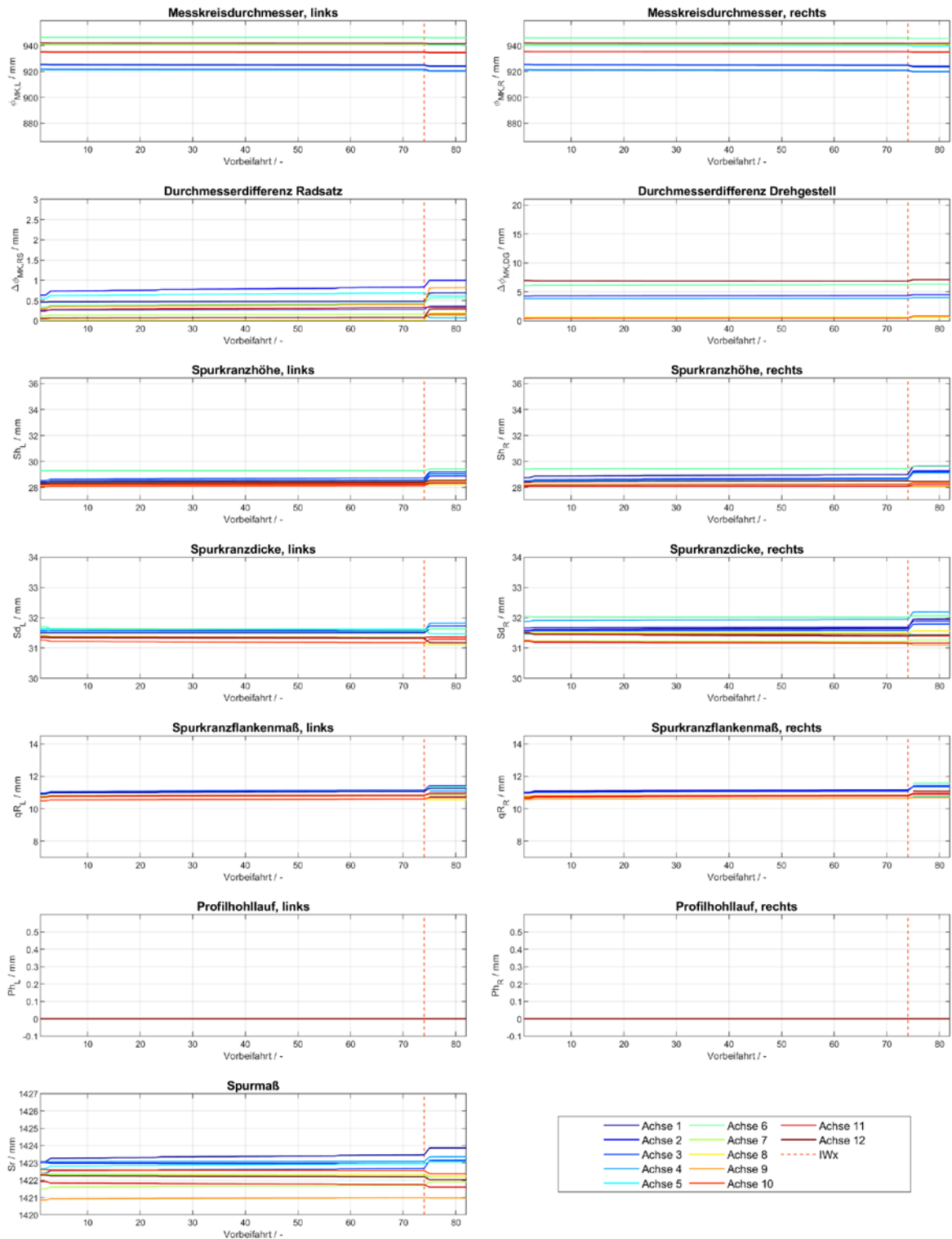


Abb. D-54: Verläufe ausgewählter Radparameter der Garnitur 298 der Schnellbahnbaureihe B über den Vorbeifahrten während der niederschlagsfreien Zeitabschnitte in MQ1 und MQ2 zum direkten Vergleich mit vorbeifahrtsbasierten Verlaufsdarstellungen von auffälligen Emissionen aus Anhang C

Typ B - 308, kein Regen (MQ1 und MQ2)

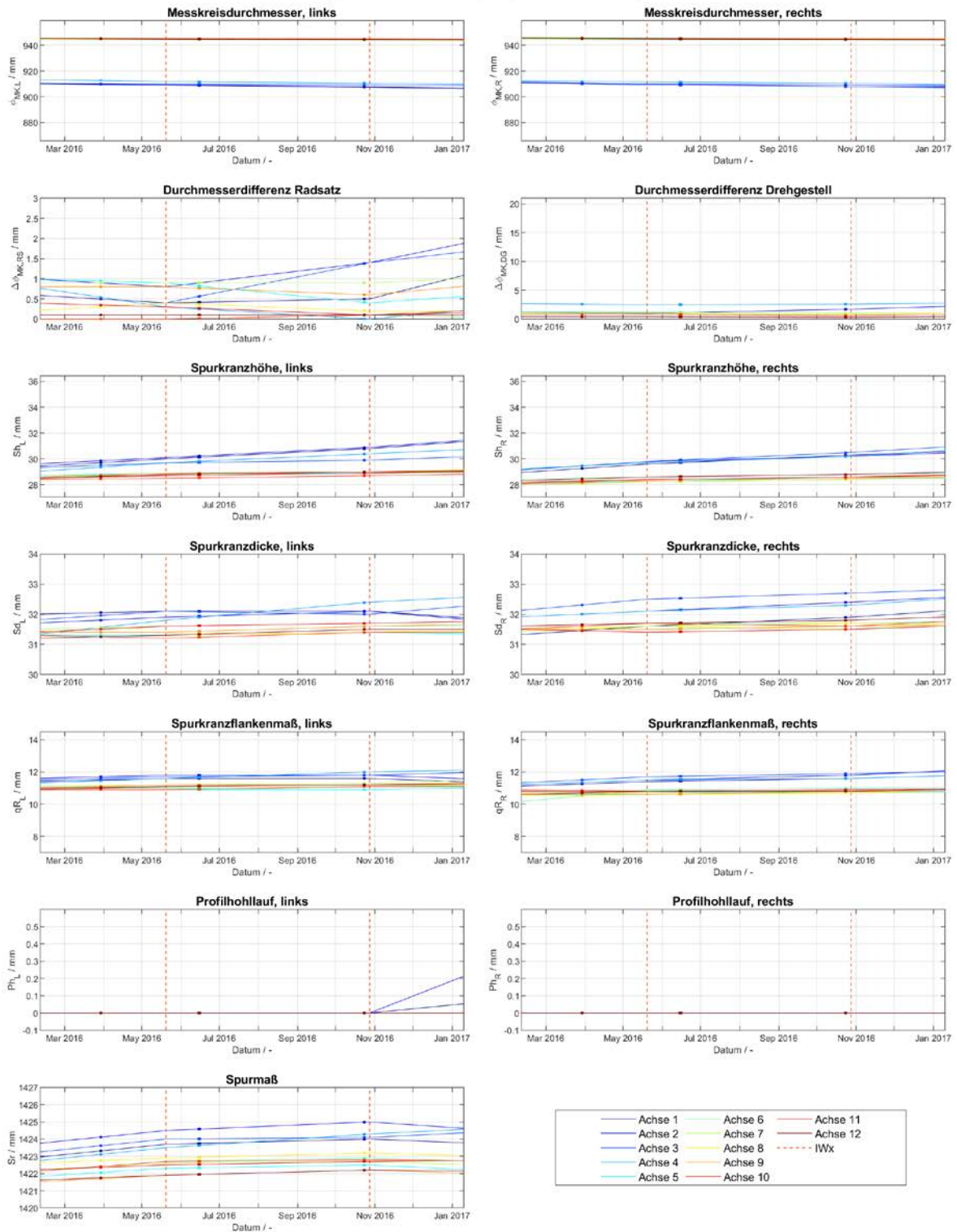


Abb. D-55: Verläufe ausgewählter Radparameter der Garnitur 308 der Schnellbahnbaureihe B über der Zeit – lineare Interpolation zwischen den Radprofilmessungen (durchgezogene Linien) mit Kennzeichnung der Vorbeifahrten während der niederschlagsfreien Zeitabschnitte in MQ1 und MQ2 (Punkte auf den Interpolationslinien)

Typ B - 308, kein Regen (MQ1 und MQ2)

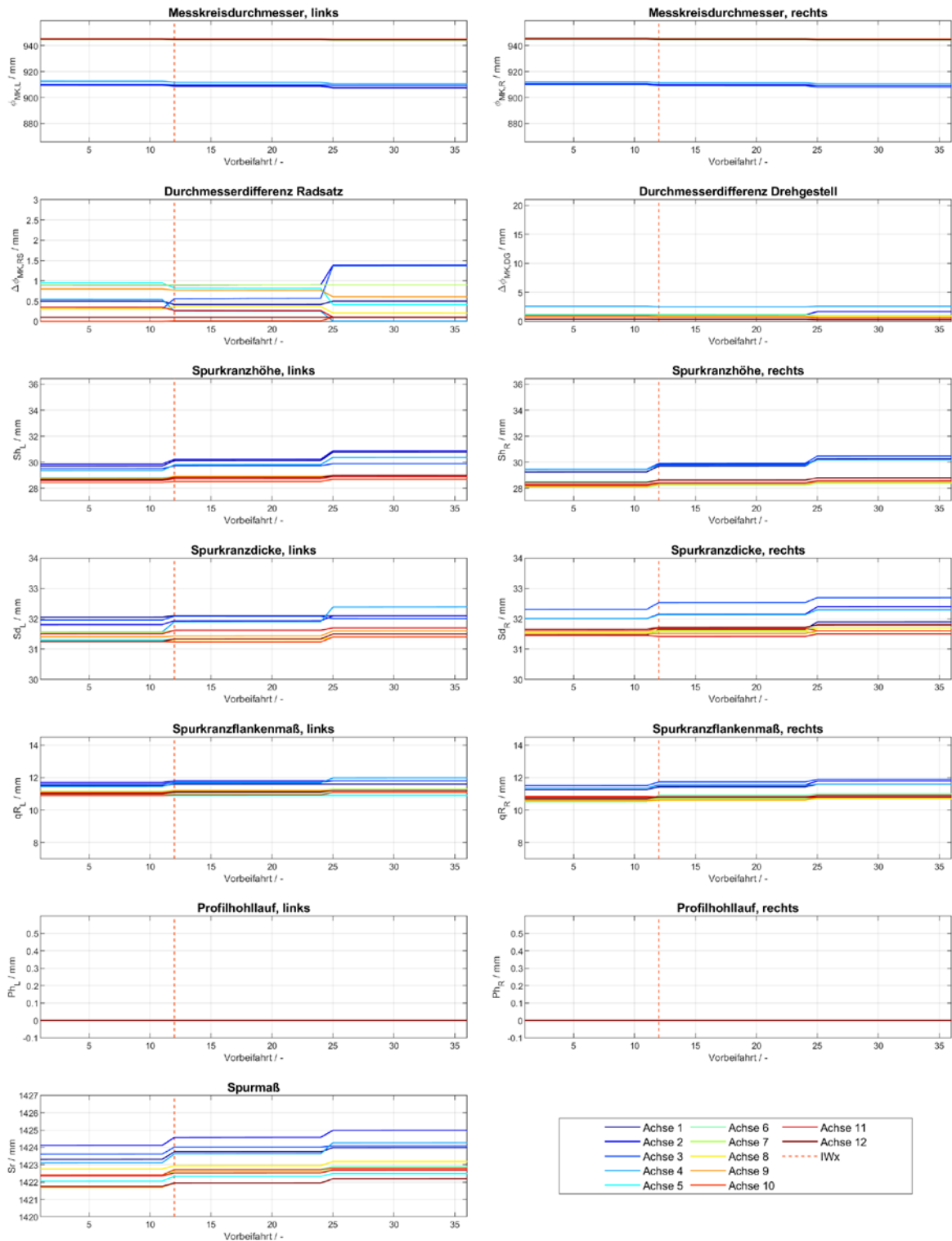


Abb. D-56: Verläufe ausgewählter Radparameter der Garnitur 308 der Schnellbahnbaureihe B über den Vorbeifahrten während der niederschlagsfreien Zeitabschnitte in MQ1 und MQ2 zum direkten Vergleich mit vorbeifahrtsbasierten Verlaufsdarstellungen von auffälligen Emissionen aus Anhang C

Typ B - 315, kein Regen (MQ1 und MQ2)

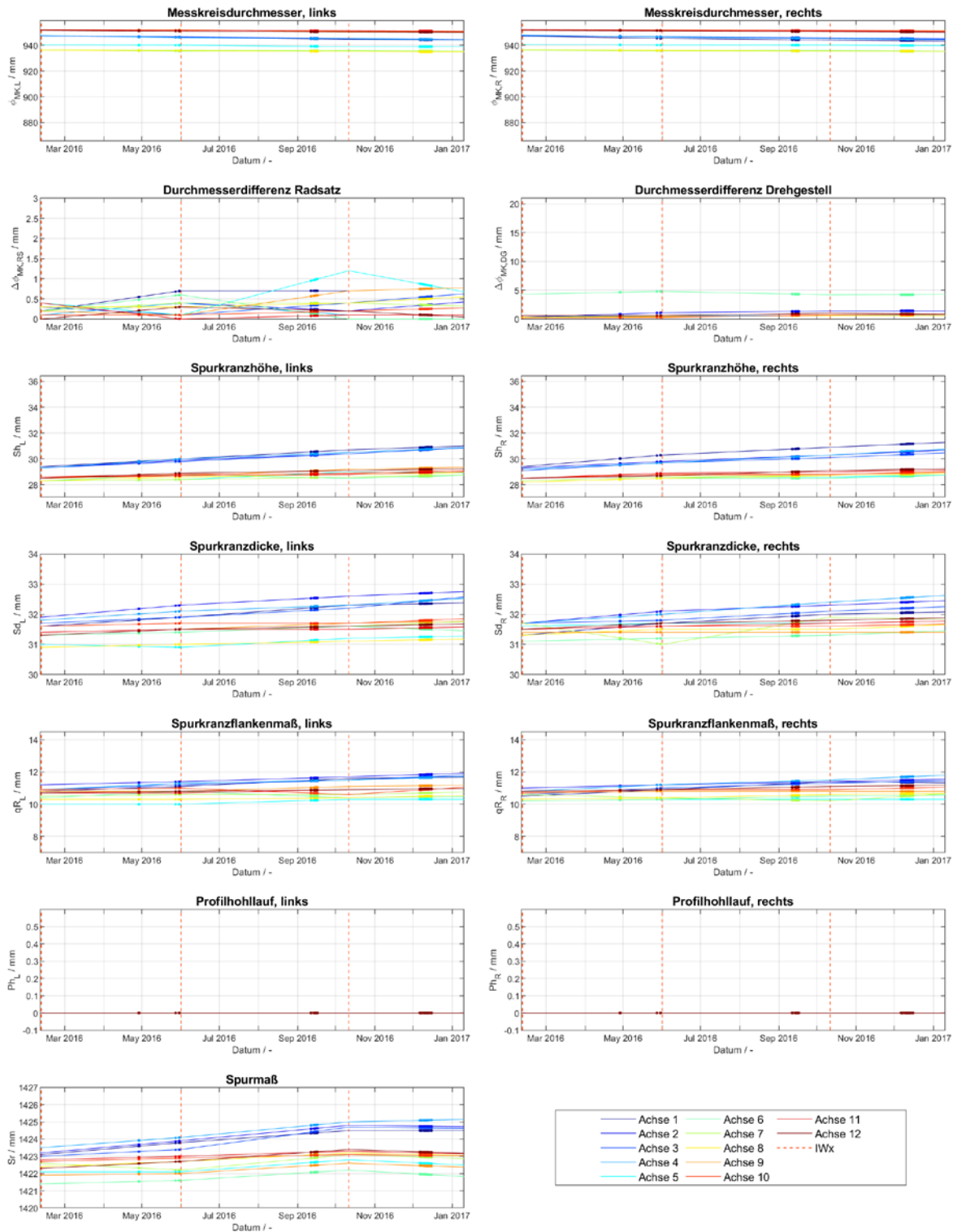


Abb. D-57: Verläufe ausgewählter Radparameter der Garnitur 315 der Schnellbahnbaureihe B über der Zeit – lineare Interpolation zwischen den Radprofilmessungen (durchgezogene Linien) mit Kennzeichnung der Vorbeifahrten während der niederschlagsfreien Zeitabschnitte in MQ1 und MQ2 (Punkte auf den Interpolationslinien)

Typ B - 315, kein Regen (MQ1 und MQ2)

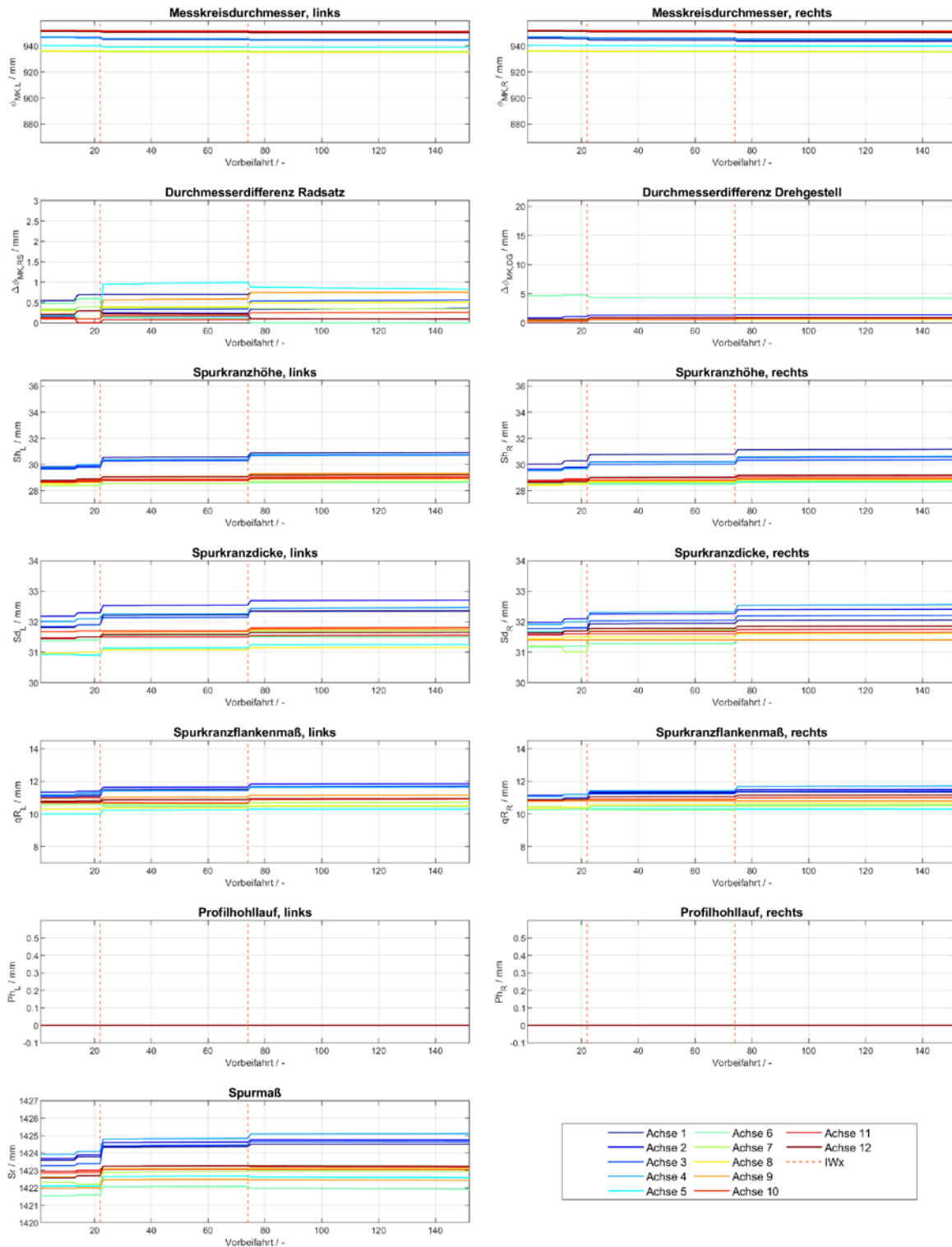


Abb. D-58: Verläufe ausgewählter Radparameter der Garnitur 315 der Schnellbahnbaureihe B über den Vorbeifahrten während der niederschlagsfreien Zeitabschnitte in MQ1 und MQ2 zum direkten Vergleich mit vorbeifahrtsbasierten Verlaufsdarstellungen von auffälligen Emissionen aus Anhang C

Anhang E Vergleich der Verläufe akust. Auffälligkeiten und Witterung

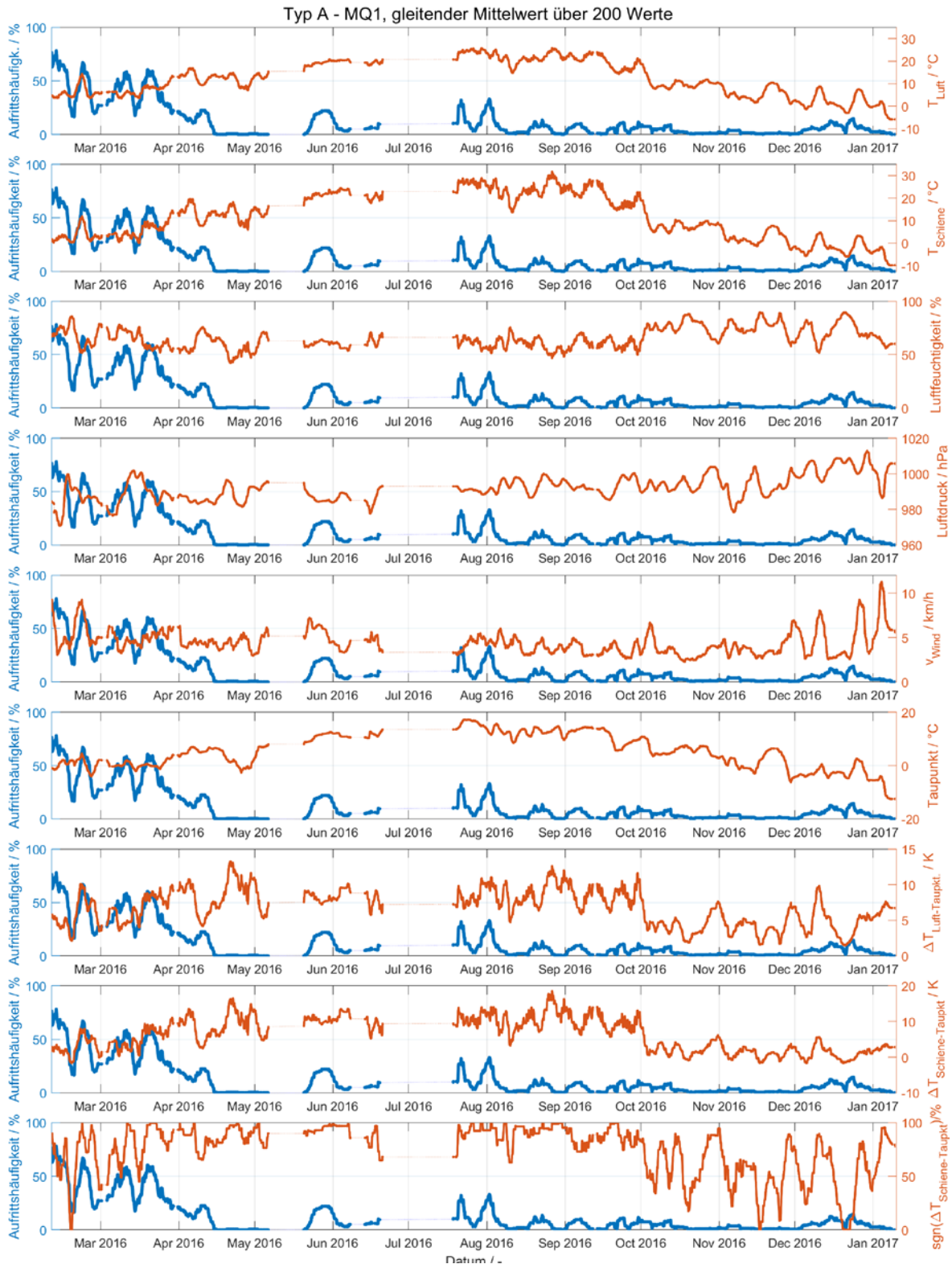


Abb. E-1: Vergleich der Zeitverläufe der akustischen Auffälligkeiten (tonal oder breitbandig) aller Schnellbahngarnituren der Baureihe A in MQ1 während niederschlagsfreier Phasen (in allen Diagrammen ident) und Zeitverläufe erfasster Witterungsparameter (Verlaufsdarstellung erfolgt jeweils durch gleitende Mittelwertbildung über 200 Werte)

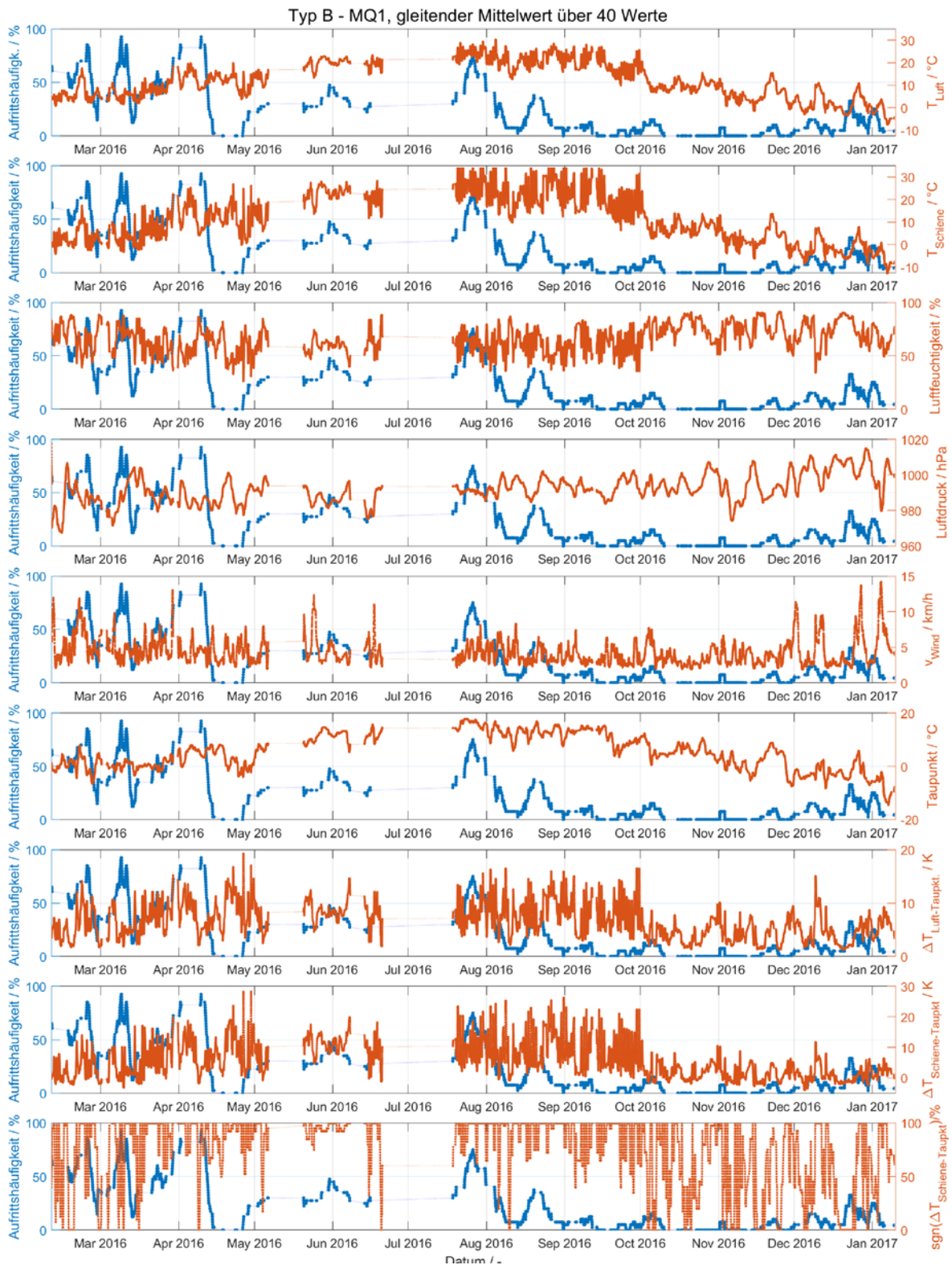


Abb. E-2: Vergleich der Zeitverläufe der akustischen Auffälligkeiten (tonal oder breitbandig) aller Schnellbahngarnituren der Baureihe B in MQ1 während niederschlagsfreier Phasen (in allen Diagrammen ident) und Zeitverläufe erfasster Witterungsparameter (Verlaufsdarstellung erfolgt jeweils durch gleitende Mittelwertbildung über 40 Werte)

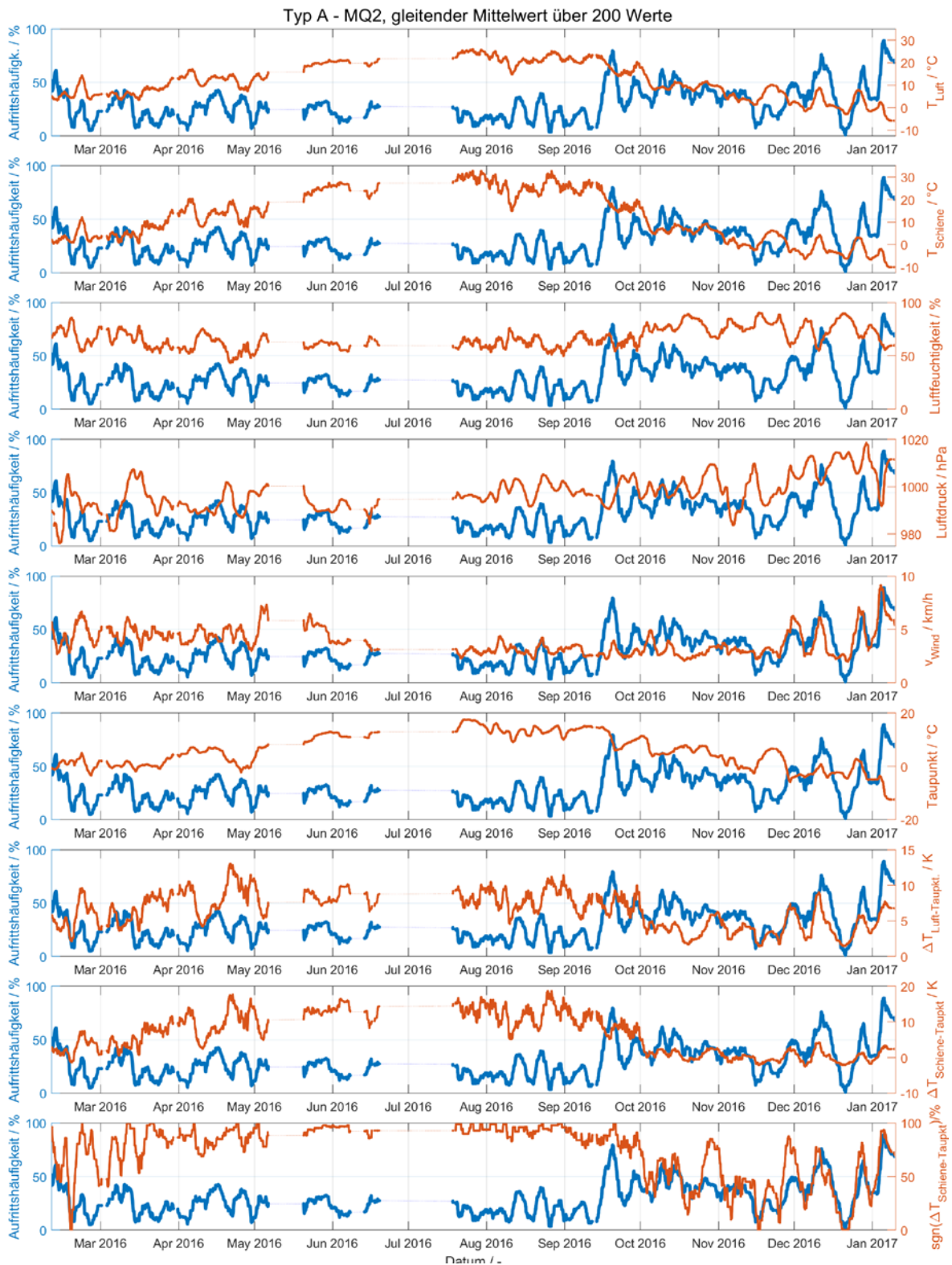


Abb. E-3: Vergleich der Zeitverläufe der akustischen Auffälligkeiten (tonal oder breitbandig) aller Schnellbahngarnituren der Baureihe A in MQ2 während niederschlagsfreier Phasen (in allen Diagrammen ident) und Zeitverläufe erfasster Witterungsparameter (Verlaufsdarstellung erfolgt jeweils durch gleitende Mittelwertbildung über 200 Werte)

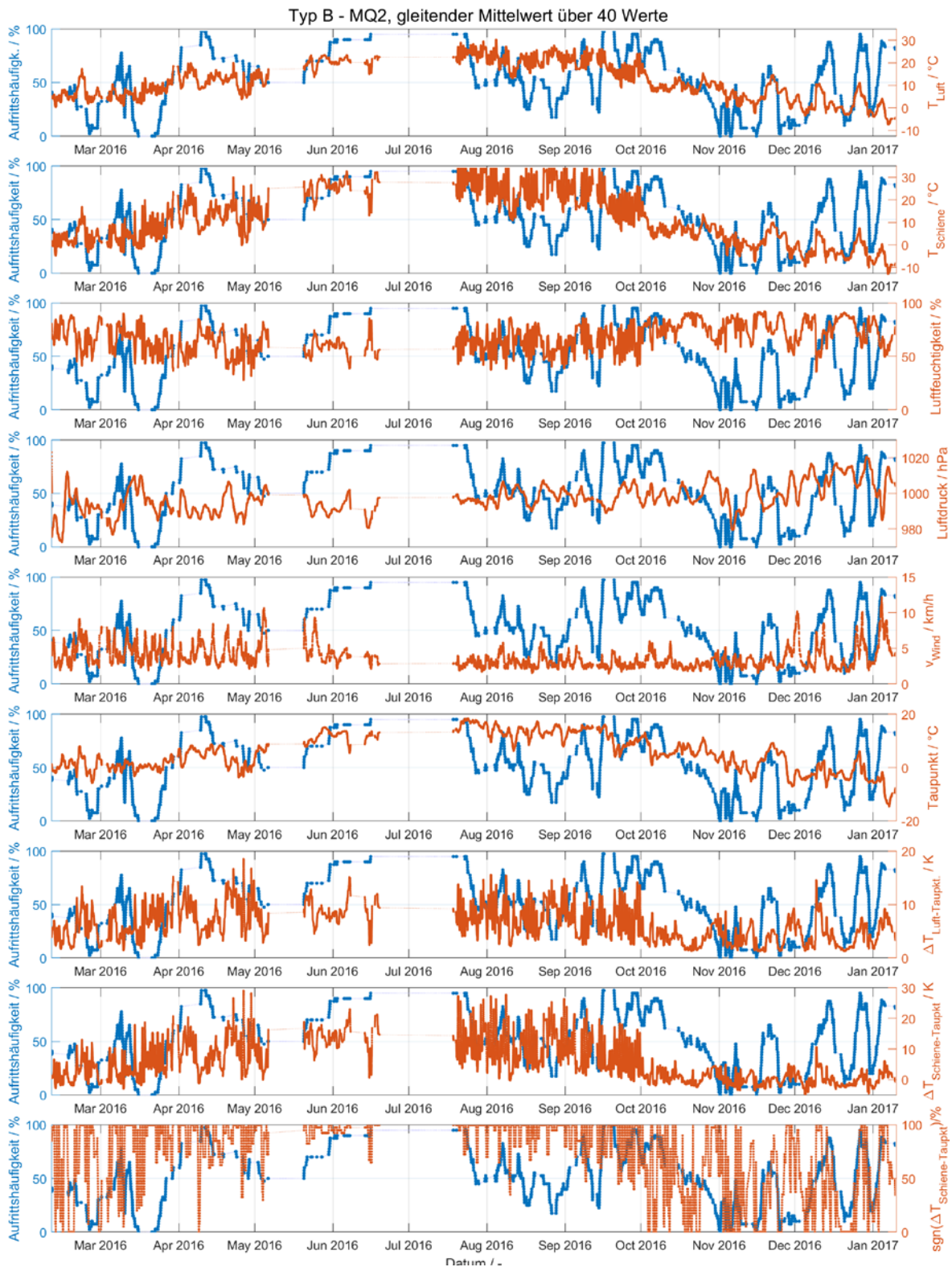


Abb. E-4: Vergleich der Zeitverläufe der akustischen Auffälligkeiten (tonal oder breitbandig) aller Schnellbahngarnituren der Baureihe B in MQ2 während niederschlagsfreier Phasen (in allen Diagrammen ident) und Zeitverläufe erfasster Witterungsparameter (Verlaufsdarstellung erfolgt jeweils durch gleitende Mittelwertbildung über 40 Werte)

Anhang F Logistische Regression von Witterungsparametern

Im Folgenden sind die Ergebnisse logistischer Regressionen zwischen akustisch unauffälligen und auffälligen (tonal oder breitbandig) Zügen in Abhängigkeit für folgende Witterungsparameter dargestellt:

- Lufttemperatur
- Schienentemperatur
- Luftfeuchtigkeit
- Luftdruck
- Windgeschwindigkeit
- Taupunkt
- Differenz zwischen Lufttemperatur und Taupunkt
- Differenz zwischen Schienentemperatur und Taupunkt

Die Regressionen werden getrennt nach Schnellbahnbaureihe (Baureihe A in Anhang F.1 und Baureihe B in Anhang F.2) für jeweils alle Garnituren, die in MQ2 während niederschlagsfreier Phasen erfasst wurden, durchgeführt. Dabei werden folgende Zeitbereiche unterschieden:

- 10. Feb. 2016 – 10. Jän. 2017 (11 Monate, gesamte Messzeit)
- 10. Feb. 2016 – 9. März 2016 (1 Monat)
- 10. März 2016 – 9. Sept. 2016 (6 Monate)
- 10. Sept. 2016 – 9. Okt. 2016 (1 Monat)
- 10. Okt. 2016 – 9. Dez. 2016 (1 Monat)
- 10. Dez. 2016 – 10. Jän. 2017 (1 Monat)

F.1 Schnellbahn Typ A

Typ A, kein Regen, MQ2, gesamte Messzeit: 10. 02. 2016 - 10.01.2017 (13958 Züge)

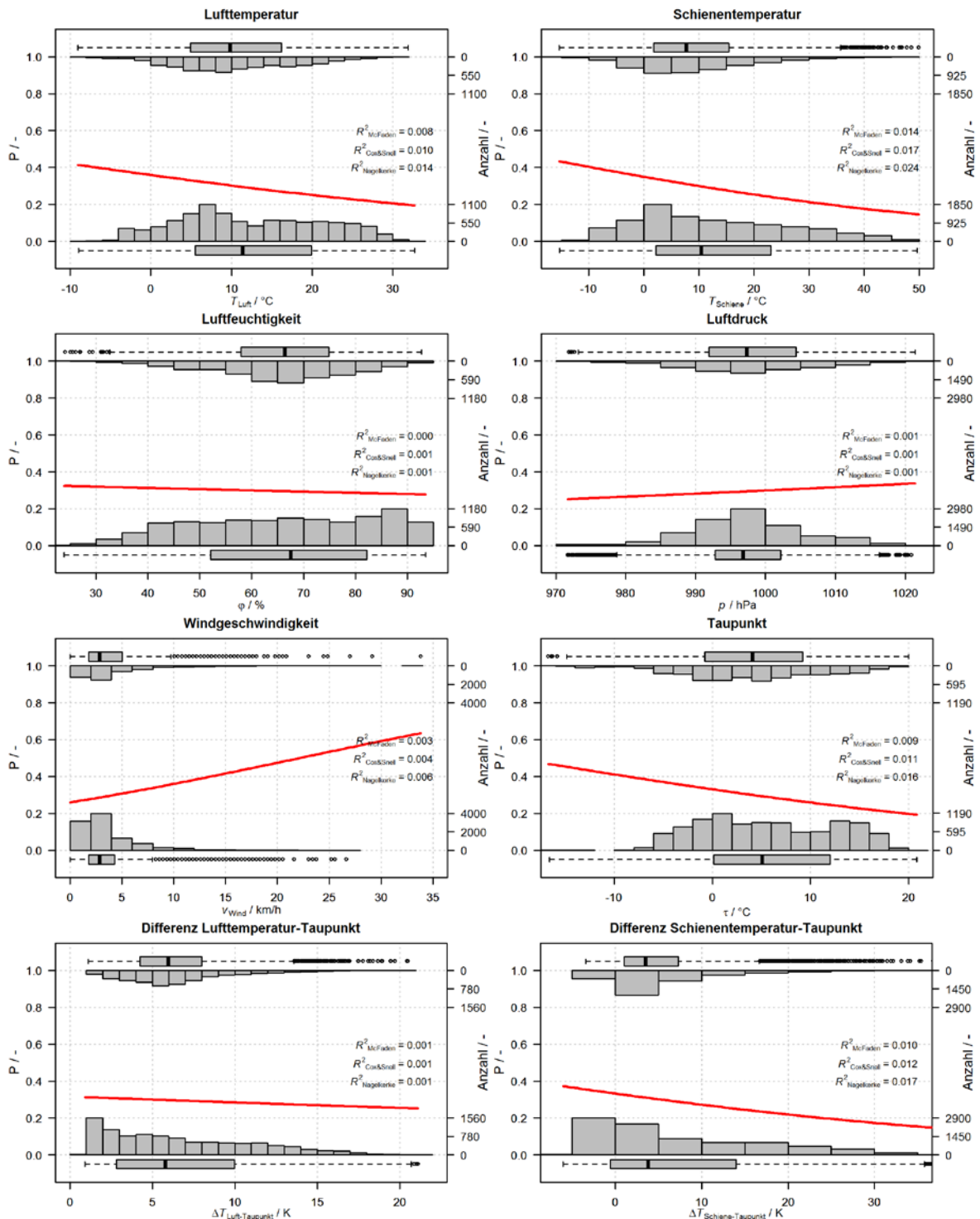


Abb. F-1: Logistische Regression in Abhängigkeit ausgewählter Witterungsparameter (rote Linien) inkl. Histogramme der zugrunde liegenden Auftrittshäufigkeiten von akustisch unauffälligen Schnellbahngarnituren der Baureihe A (jeweils unteres Histogramm) und von tonal oder breitbandig auffälligen Garnituren (jeweils oberes Histogramm) während niederschlagsfreier Phasen in MQ2 im Zeitbereich 10. Feb. 2016 bis 10. Jän. 2017 (13958 Züge)

Typ A, kein Regen, MQ2, 10. 02. 2016 - 09.03.2016 (1544 Züge)

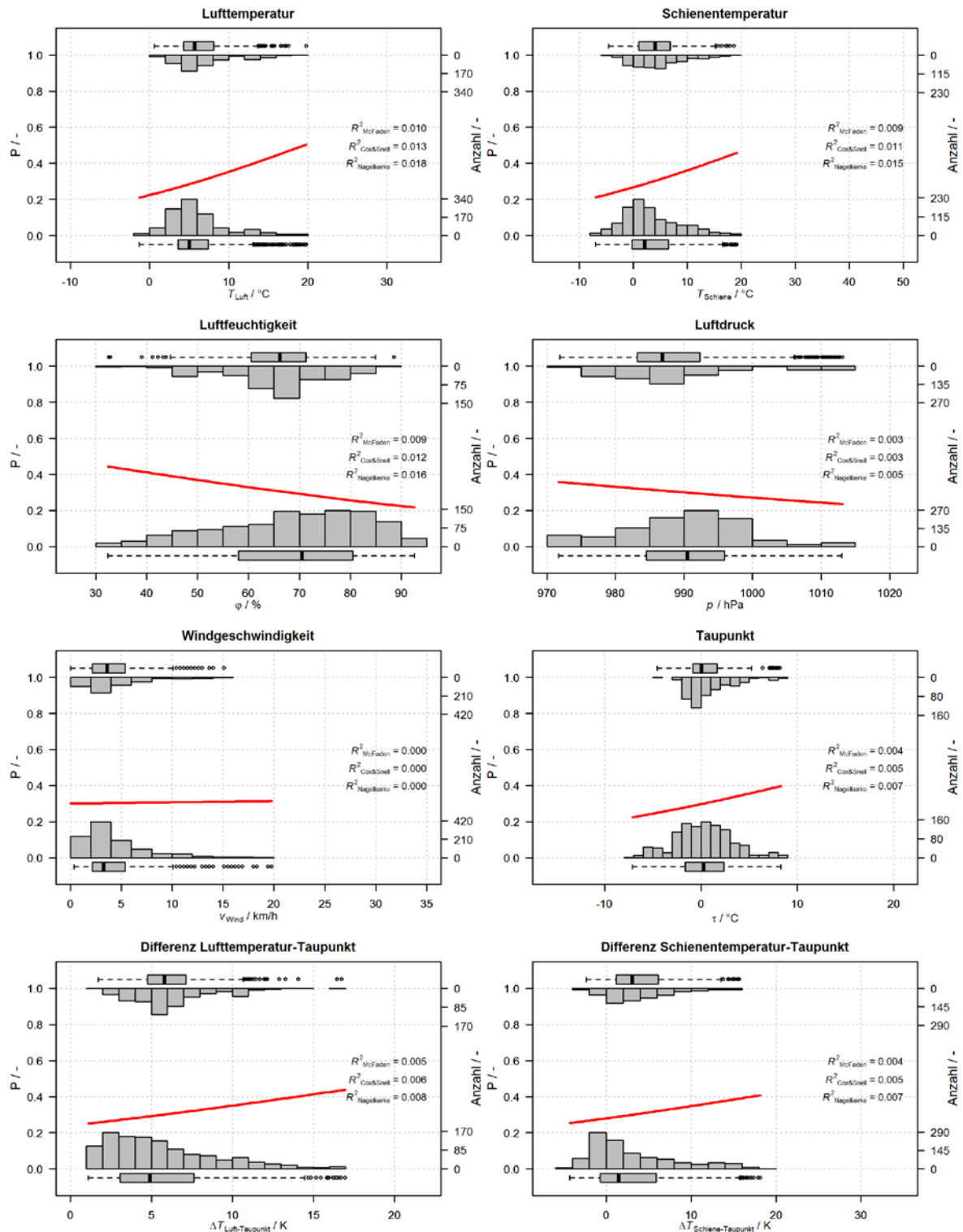


Abb. F-2: Logistische Regression in Abhängigkeit ausgewählter Witterungsparameter (rote Linien) inkl. Histogramme der zugrunde liegenden Auftrittshäufigkeiten von akustisch unauffälligen Schnellbahngarnituren der Baureihe A (jeweils unteres Histogramm) und von tonal oder breitbandig auffälligen Garnituren (jeweils oberes Histogramm) während niederschlagsfreier Phasen in MQ2 im Zeitbereich 10. Feb. 2016 bis 9. März 2016 (1544 Züge)

Typ A, kein Regen, MQ2, 10. 03. 2016 - 09.09.2016 (6762 Züge)

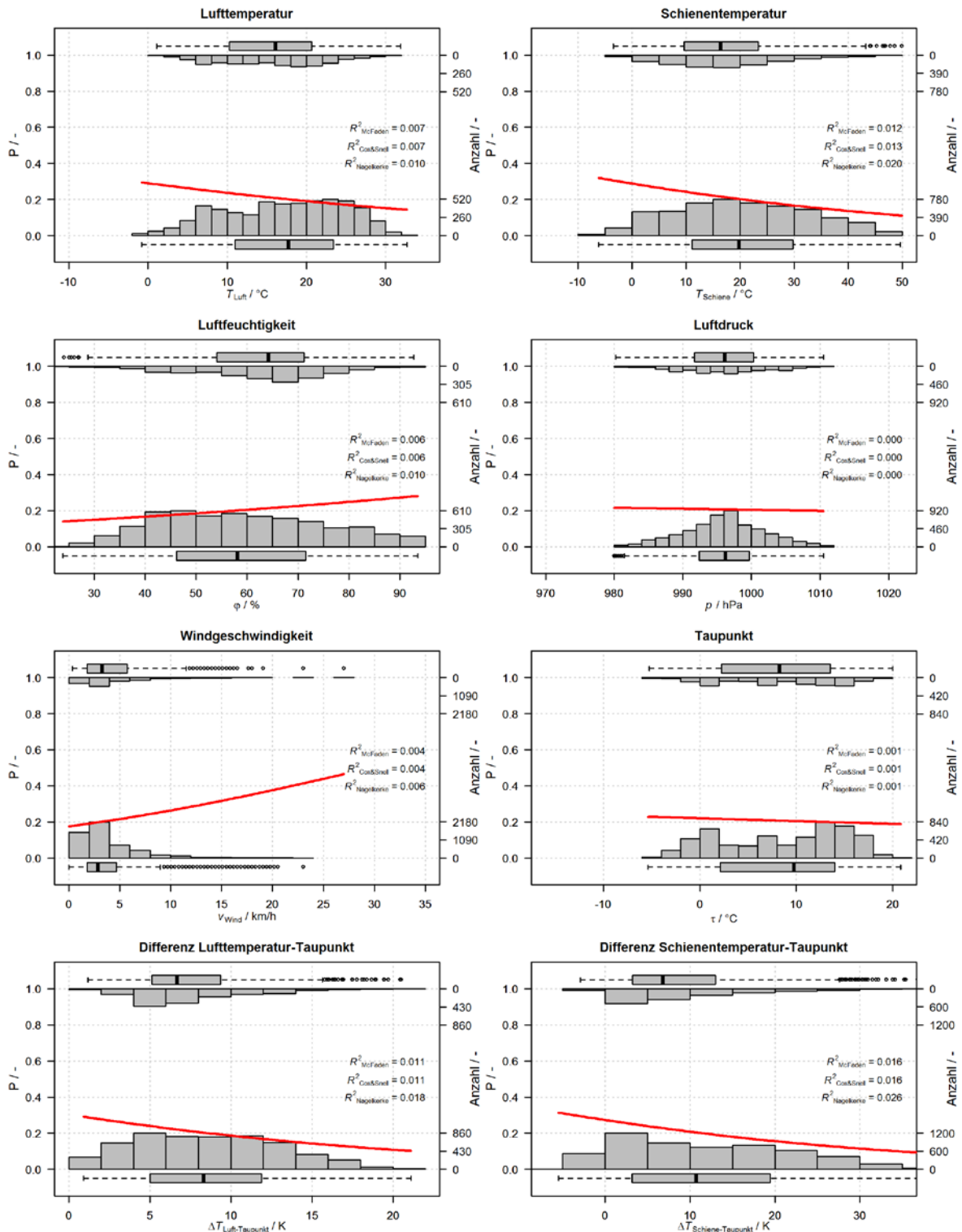


Abb. F-3: Logistische Regression in Abhängigkeit ausgewählter Witterungsparameter (rote Linien) inkl. Histogramme der zugrunde liegenden Auftrittshäufigkeiten von akustisch unauffälligen Schnellbahngarnituren der Baureihe A (jeweils unteres Histogramm) und von tonal oder breitbandig auffälligen Garnituren (jeweils oberes Histogramm) während niederschlagsfreier Phasen in MQ2 im Zeitbereich 10. März 2016 bis 9. Sept. 2016 (6762 Züge)

Typ A, kein Regen, MQ2, 10. 09. 2016 - 09.10.2016 (1552 Züge)

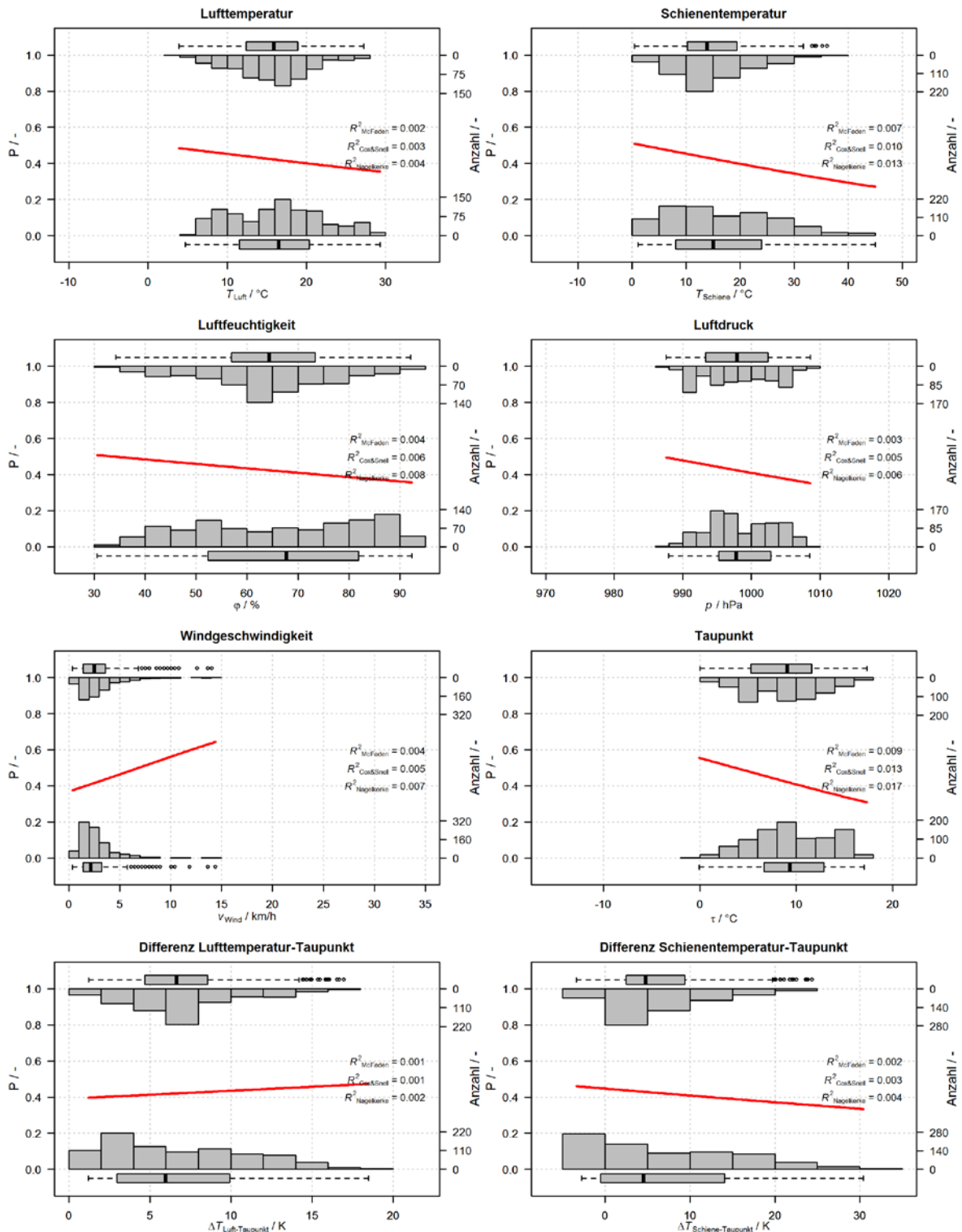


Abb. F-4: Logistische Regression in Abhängigkeit ausgewählter Witterungsparameter (rote Linien) inkl. Histogramme der zugrunde liegenden Auftrittshäufigkeiten von akustisch unauffälligen Schnellbahngarnituren der Baureihe A (jeweils unteres Histogramm) und von tonal oder breitbandig auffälligen Garnituren (jeweils oberes Histogramm) während niederschlagsfreier Phasen in MQ2 im Zeitbereich 10. Sept. 2016 bis 9. Okt. 2016 (1552 Züge)

Typ A, kein Regen, MQ2, 10. 10. 2016 - 09.11.2016 (1427 Züge)

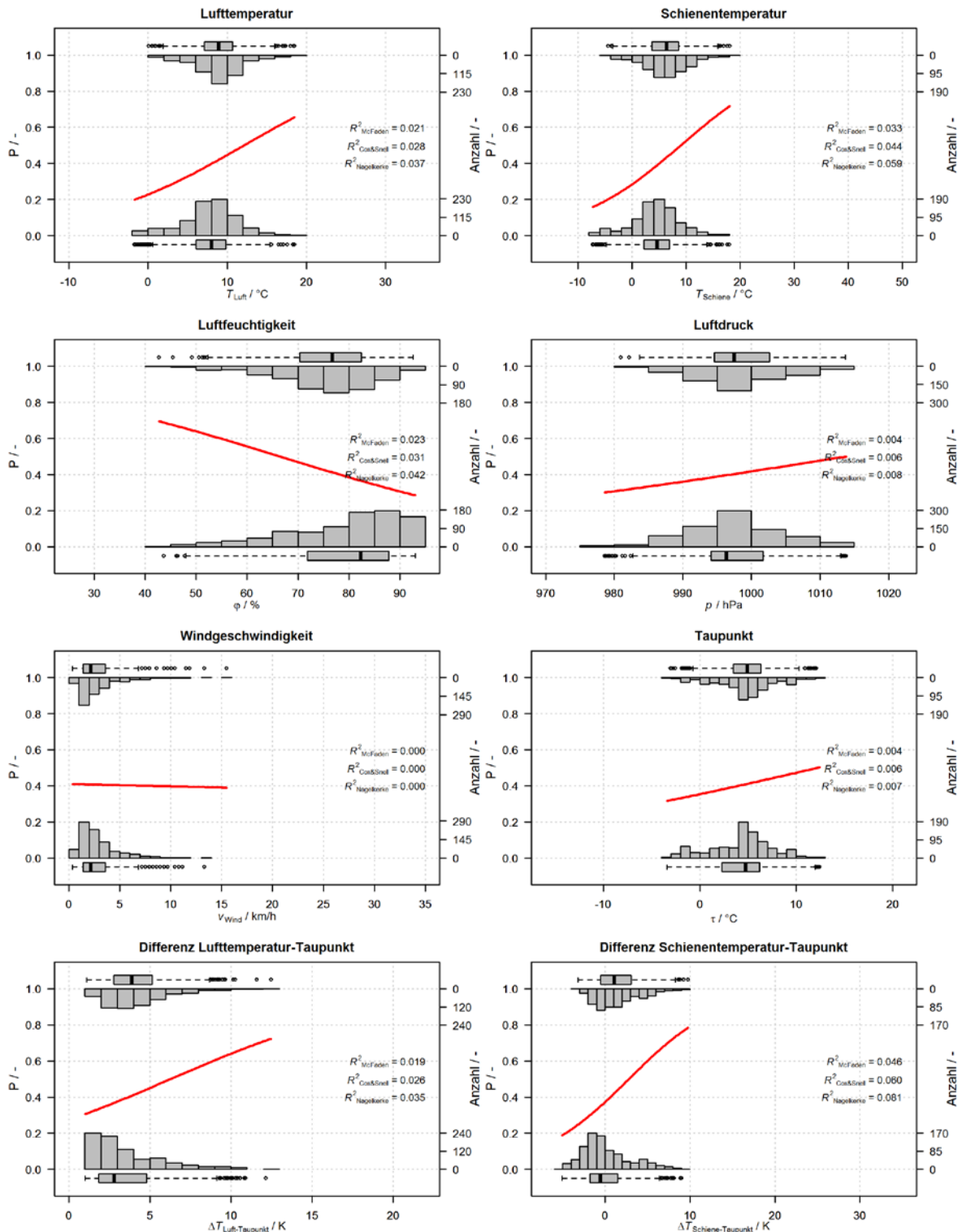


Abb. F-5: Logistische Regression in Abhängigkeit ausgewählter Witterungsparameter (rote Linien) inkl. Histogramme der zugrunde liegenden Auftrittshäufigkeiten von akustisch unauffälligen Schnellbahngarnituren der Baureihe A (jeweils unteres Histogramm) und von tonal oder breitbandig auffälligen Garnituren (jeweils oberes Histogramm) während niederschlagsfreier Phasen in MQ2 im Zeitbereich 10. Okt. 2016 bis 9. Nov. 2016 (1427 Züge)

Typ A, kein Regen, MQ2, 10. 11. 2016 - 09.12.2016 (1306 Züge)

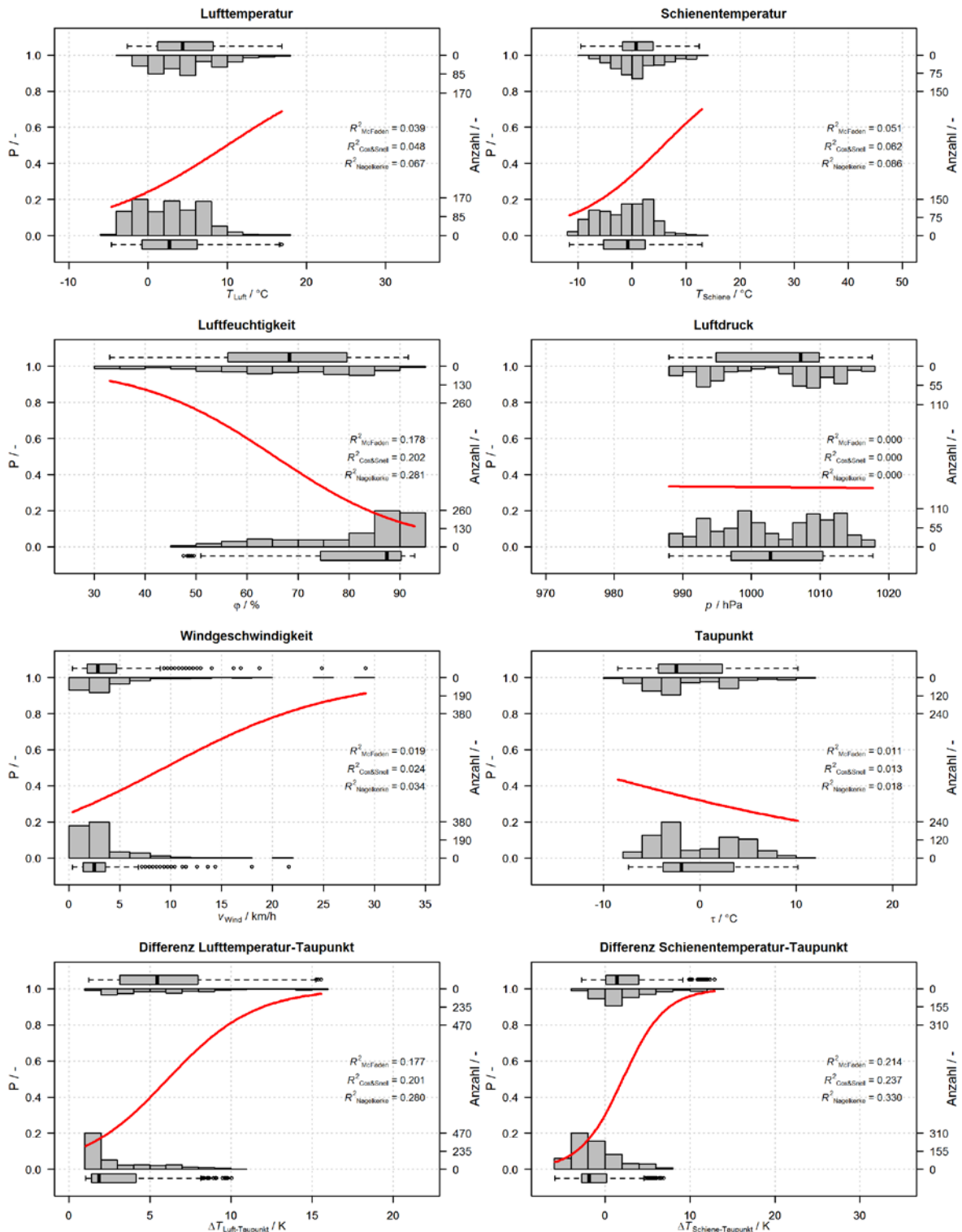


Abb. F-6: Logistische Regression in Abhängigkeit ausgewählter Witterungsparameter (rote Linien) inkl. Histogramme der zugrunde liegenden Auftrittshäufigkeiten von akustisch unauffälligen Schnellbahngarnituren der Baureihe A (jeweils unteres Histogramm) und von tonal oder breitbandig auffälligen Garnituren (jeweils oberes Histogramm) während niederschlagsfreier Phasen in MQ2 im Zeitbereich 10. Nov. 2016 bis 9. Dez. 2016 (1306 Züge)

Typ A, kein Regen, MQ2, 10. 12. 2016 - 10.01.2017 (1367 Züge)

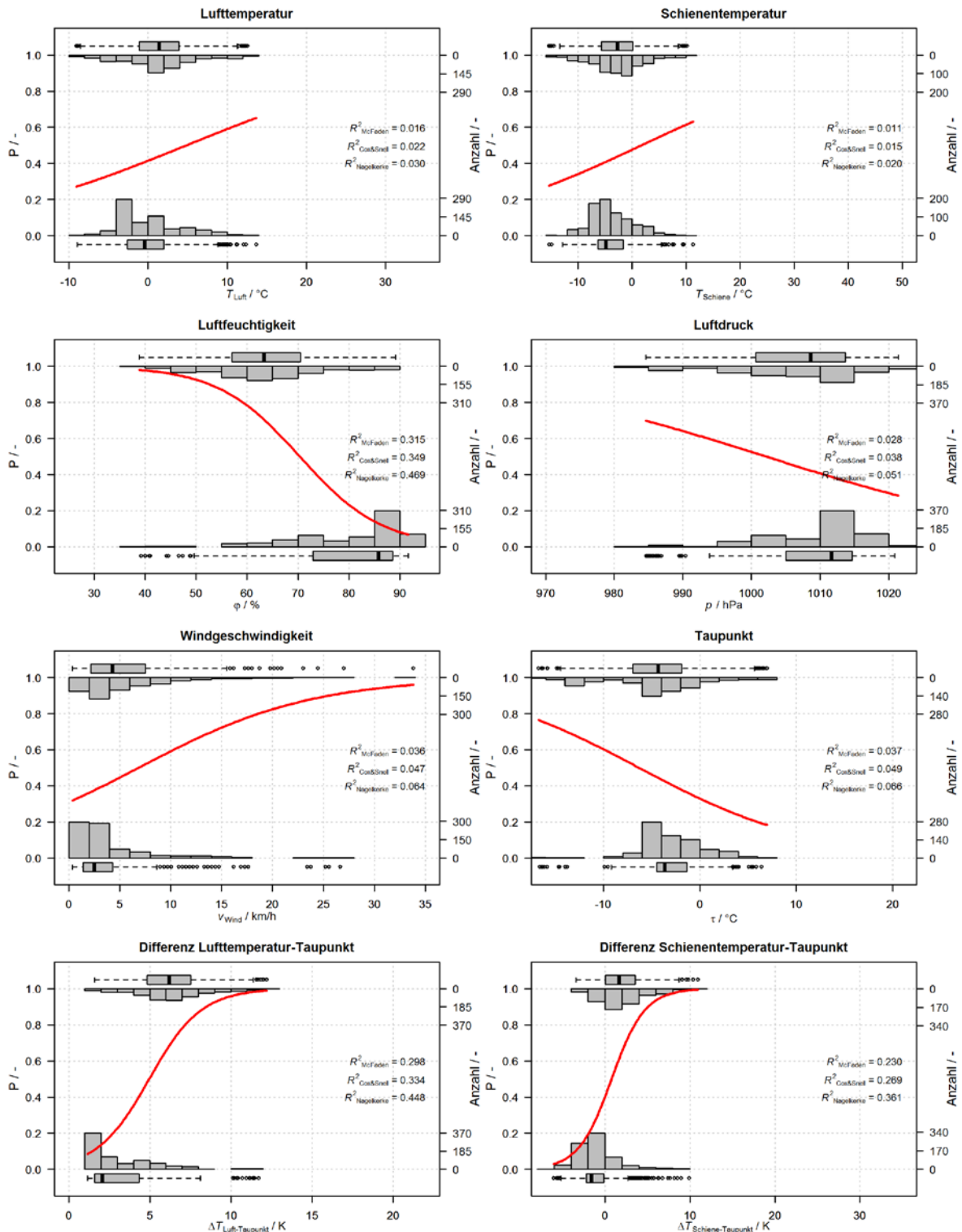


Abb. F-7: Logistische Regression in Abhängigkeit ausgewählter Witterungsparameter (rote Linien) inkl. Histogramme der zugrunde liegenden Auftrittshäufigkeiten von akustisch unauffälligen Schnellbahngarnituren der Baureihe A (jeweils unteres Histogramm) und von tonal oder breitbandig auffälligen Garnituren (jeweils oberes Histogramm) während niederschlagsfreier Phasen in MQ2 im Zeitbereich 10. Dez. 2016 bis 10. Jän. 2017 (1367 Züge)

F.2 Schnellbahn Typ B

Typ B, kein Regen, MQ2, gesamte Messzeit: 10. 02. 2016 - 10.01.2017 (2471 Züge)

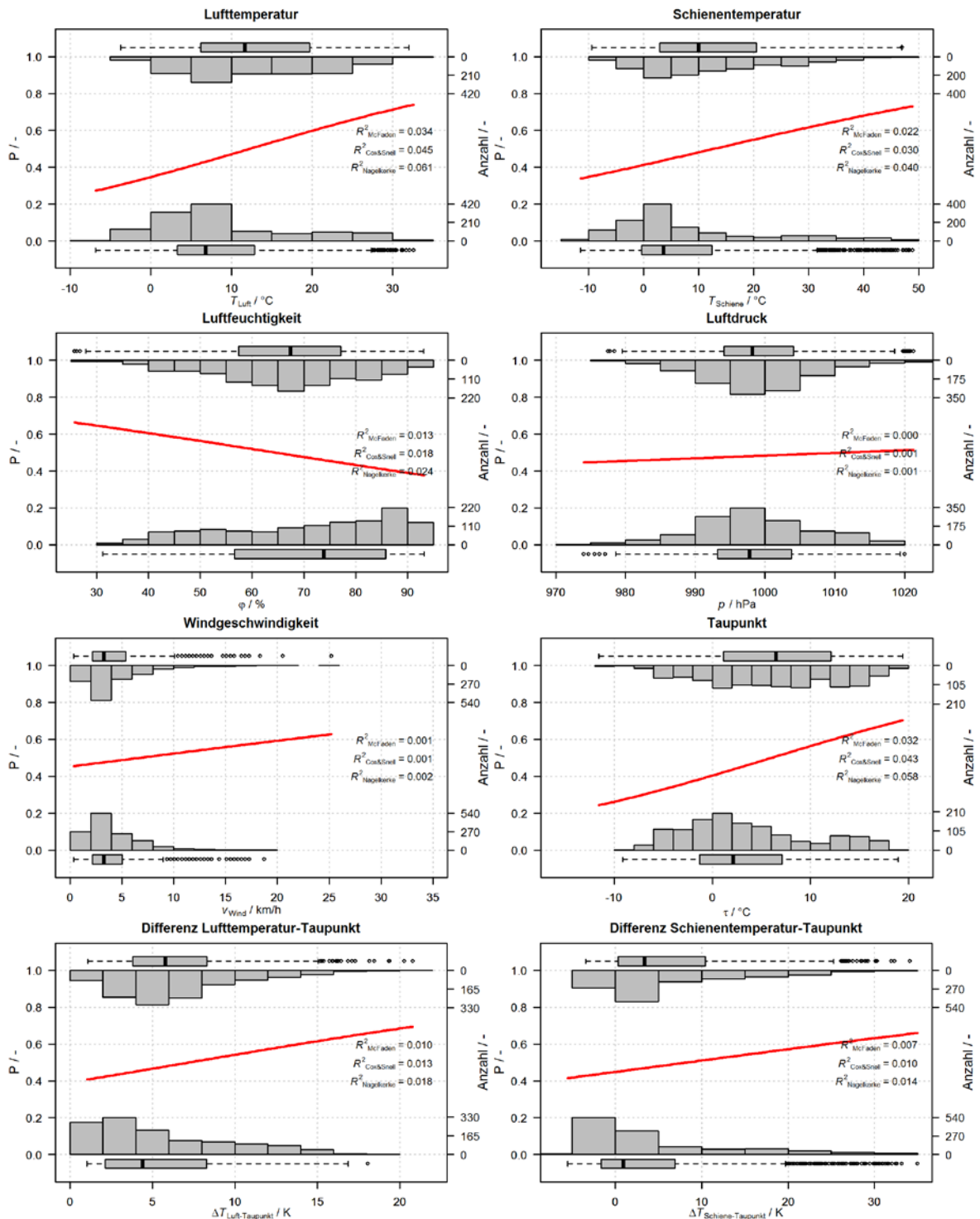


Abb. F-8: Logistische Regression in Abhängigkeit ausgewählter Witterungsparameter (rote Linien) inkl. Histogramme der zugrunde liegenden Auftrittshäufigkeiten von akustisch unauffälligen Schnellbahngarnituren der Baureihe B (jeweils unteres Histogramm) und von tonal oder breitbandig auffälligen Garnituren (jeweils oberes Histogramm) während niederschlagsfreier Phasen in MQ2 im Zeitbereich 10. Feb. 2016 bis 10. Jän. 2017 (2471 Züge)

Typ B, kein Regen, MQ2, 10. 02. 2016 - 09.03.2016 (221 Züge)

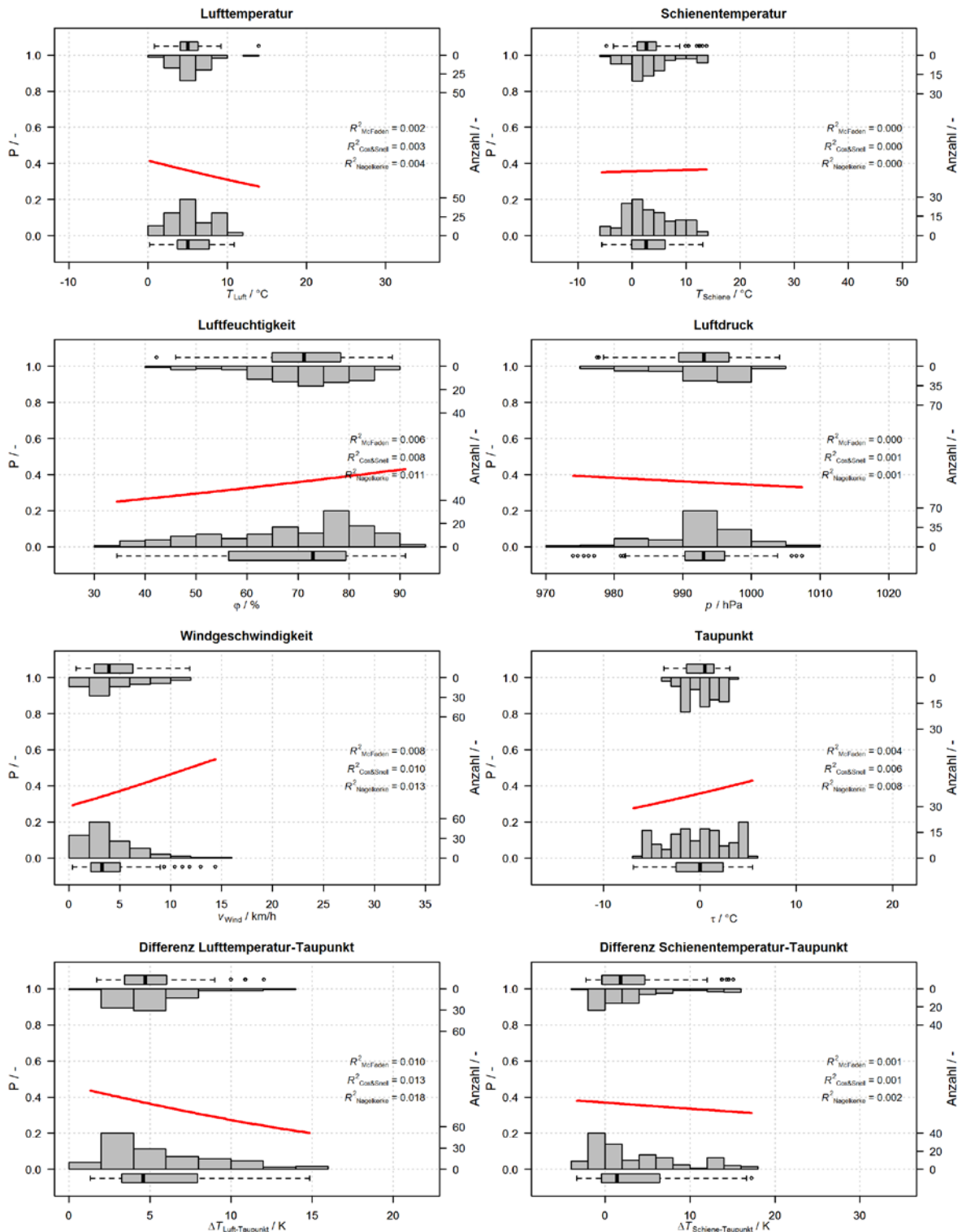


Abb. F-9: Logistische Regression in Abhängigkeit ausgewählter Witterungsparameter (rote Linien) inkl. Histogramme der zugrunde liegenden Auftrittshäufigkeiten von akustisch unauffälligen Schnellbahngarnituren der Baureihe B (jeweils unteres Histogramm) und von tonal oder breitbandig auffälligen Garnituren (jeweils oberes Histogramm) während niederschlagsfreier Phasen in MQ2 im Zeitbereich 10. Feb. 2016 bis 09. März 2016 (221 Züge)

Typ B, kein Regen, MQ2, 10. 03. 2016 - 09.09.2016 (804 Züge)

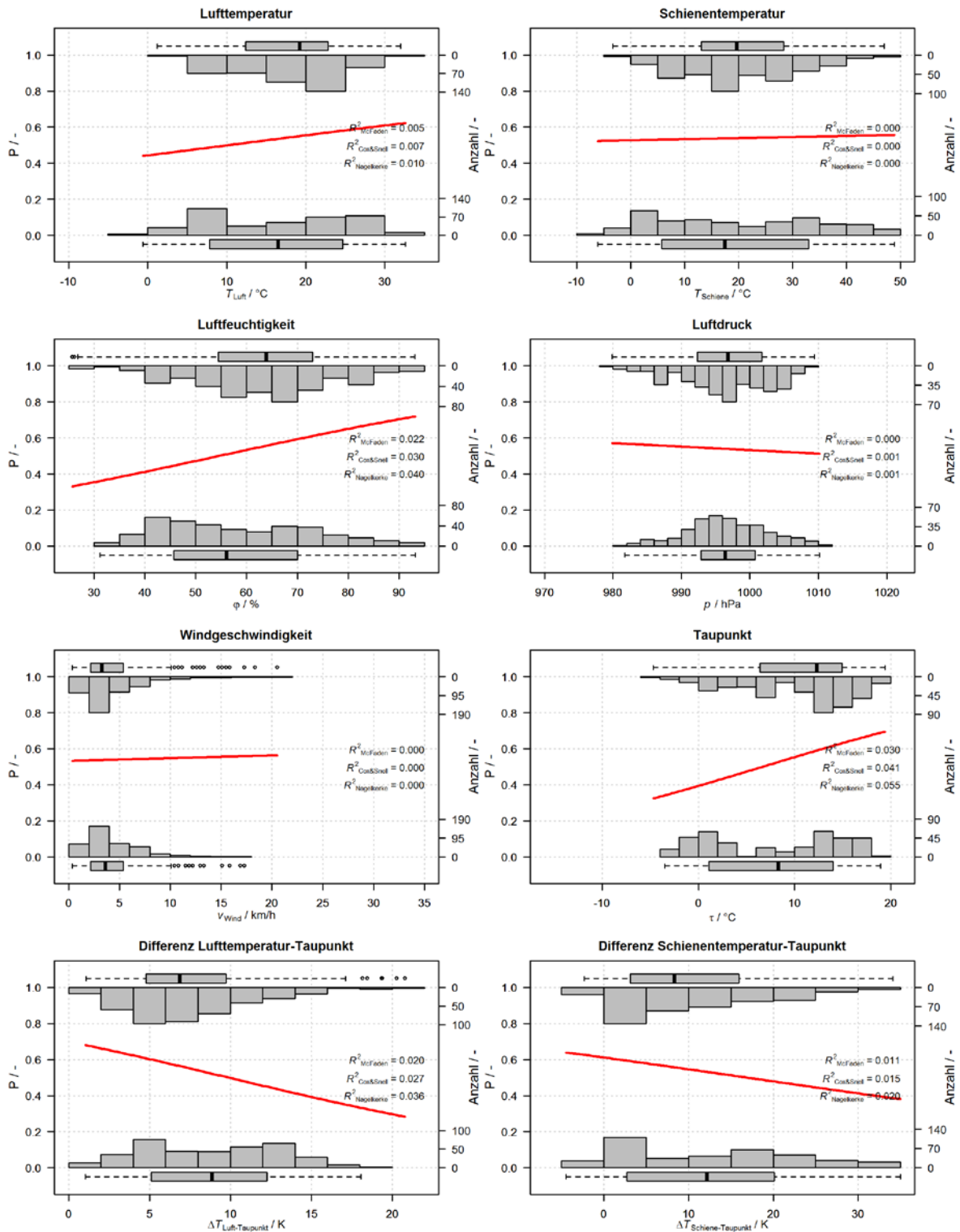


Abb. F-10: Logistische Regression in Abhängigkeit ausgewählter Witterungsparameter (rote Linien) inkl. Histogramme der zugrunde liegenden Auftrittshäufigkeiten von akustisch unauffälligen Schnellbahngarnituren der Baureihe B (jeweils unteres Histogramm) und von tonal oder breitbandig auffälligen Garnituren (jeweils oberes Histogramm) während niederschlagsfreier Phasen in MQ2 im Zeitbereich 10. März 2016 bis 09. Sept. 2016 (804 Züge)

Typ B, kein Regen, MQ2, 10. 09. 2016 - 09.10.2016 (411 Züge)

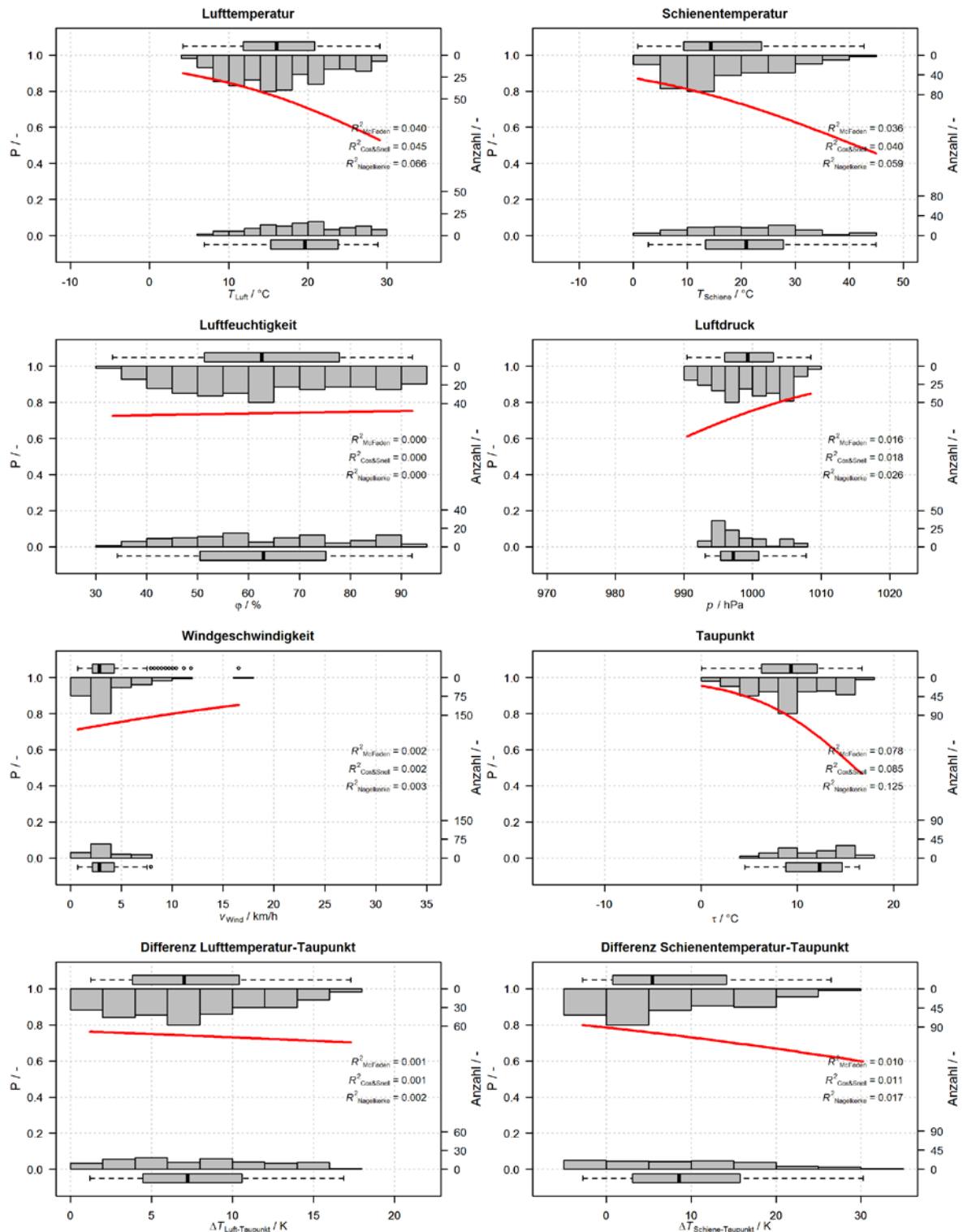


Abb. F-11: Logistische Regression in Abhängigkeit ausgewählter Witterungsparameter (rote Linien) inkl. Histogramme der zugrunde liegenden Auftrittshäufigkeiten von akustisch unauffälligen Schnellbahngarnituren der Baureihe B (jeweils unteres Histogramm) und von tonal oder breitbandig auffälligen Garnituren (jeweils oberes Histogramm) während niederschlagsfreier Phasen in MQ2 im Zeitbereich 10. Sept. 2016 bis 09. Okt. 2016 (411 Züge)

Typ B, kein Regen, MQ2, 10. 10. 2016 - 09.11.2016 (400 Züge)

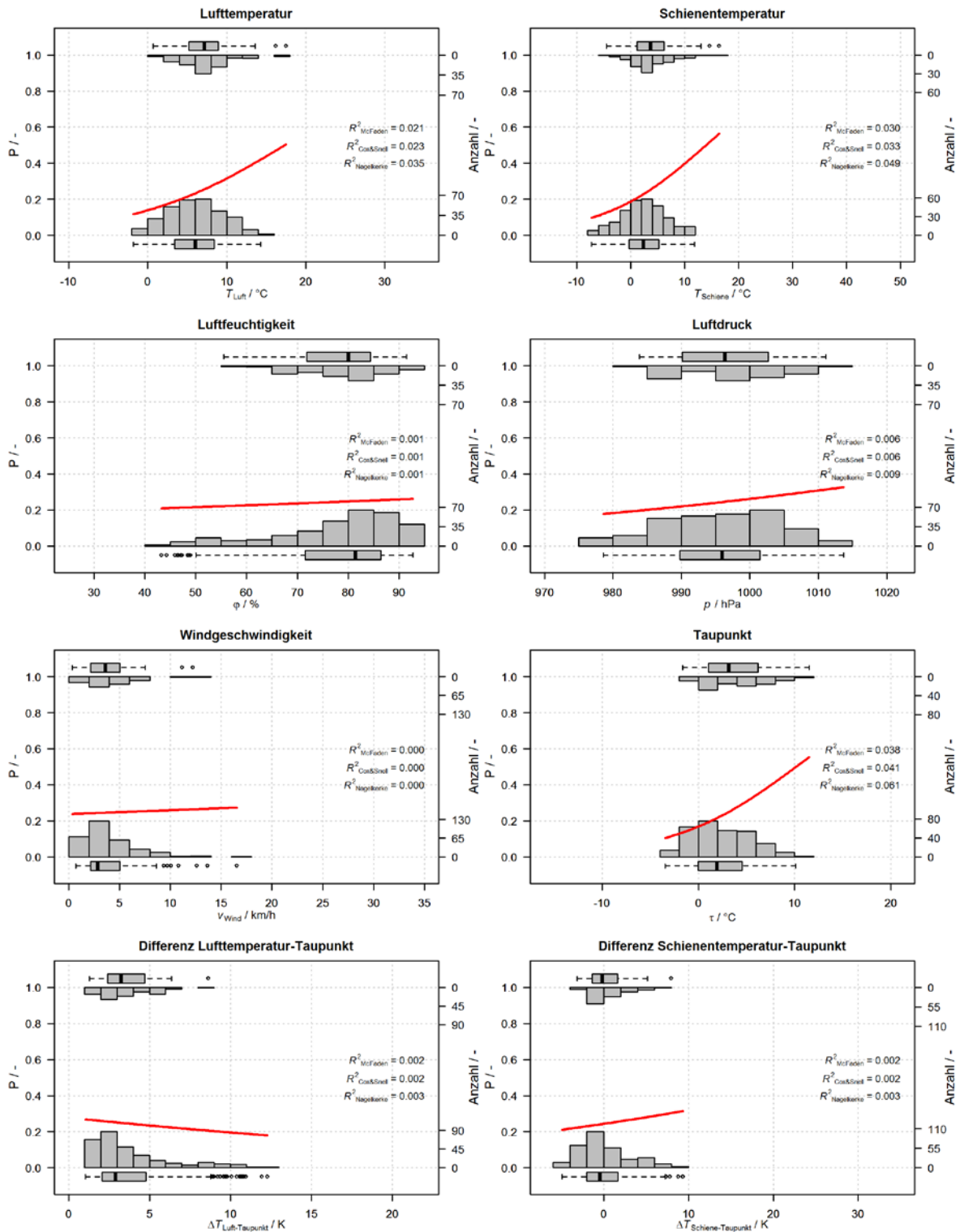


Abb. F-12: Logistische Regression in Abhängigkeit ausgewählter Witterungsparameter (rote Linien) inkl. Histogramme der zugrunde liegenden Auftrittshäufigkeiten von akustisch unauffälligen Schnellbahngarnituren der Baureihe B (jeweils unteres Histogramm) und von tonal oder breitbandig auffälligen Garnituren (jeweils oberes Histogramm) während niederschlagsfreier Phasen in MQ2 im Zeitbereich 10. Okt. 2016 bis 09. Nov. 2016 (400 Züge)

Typ B, kein Regen, MQ2, 10. 11. 2016 - 09.12.2016 (270 Züge)

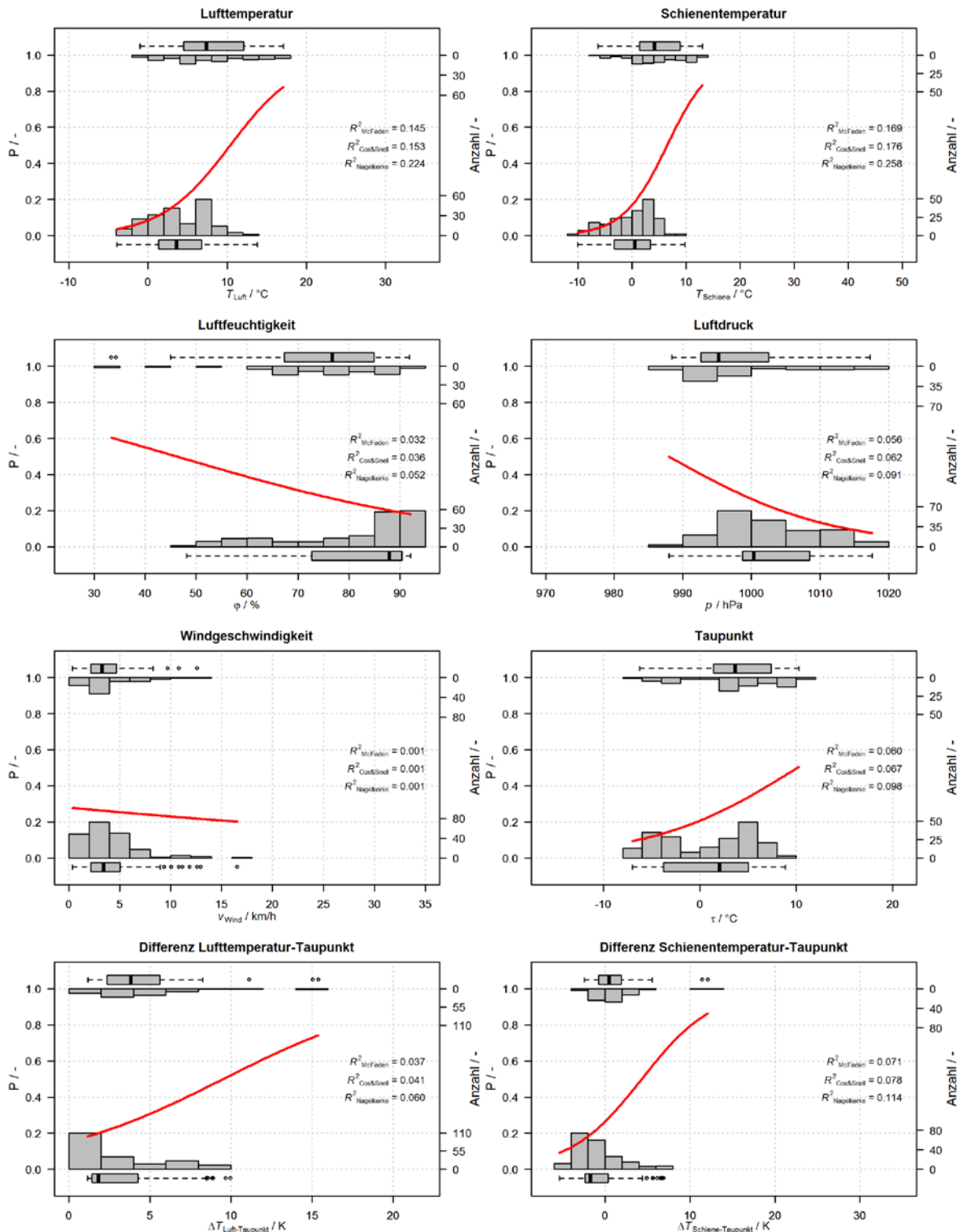


Abb. F-13: Logistische Regression in Abhängigkeit ausgewählter Witterungsparameter (rote Linien) inkl. Histogramme der zugrunde liegenden Auftrittshäufigkeiten von akustisch unauffälligen Schnellbahngarnituren der Baureihe B (jeweils unteres Histogramm) und von tonal oder breitbandig auffälligen Garnituren (jeweils oberes Histogramm) während niederschlagsfreier Phasen in MQ2 im Zeitbereich 10. Nov. 2016 bis 09. Dez. 2016 (270 Züge)

Typ B, kein Regen, MQ2, 10. 12. 2016 - 10.01.2017 (365 Züge)

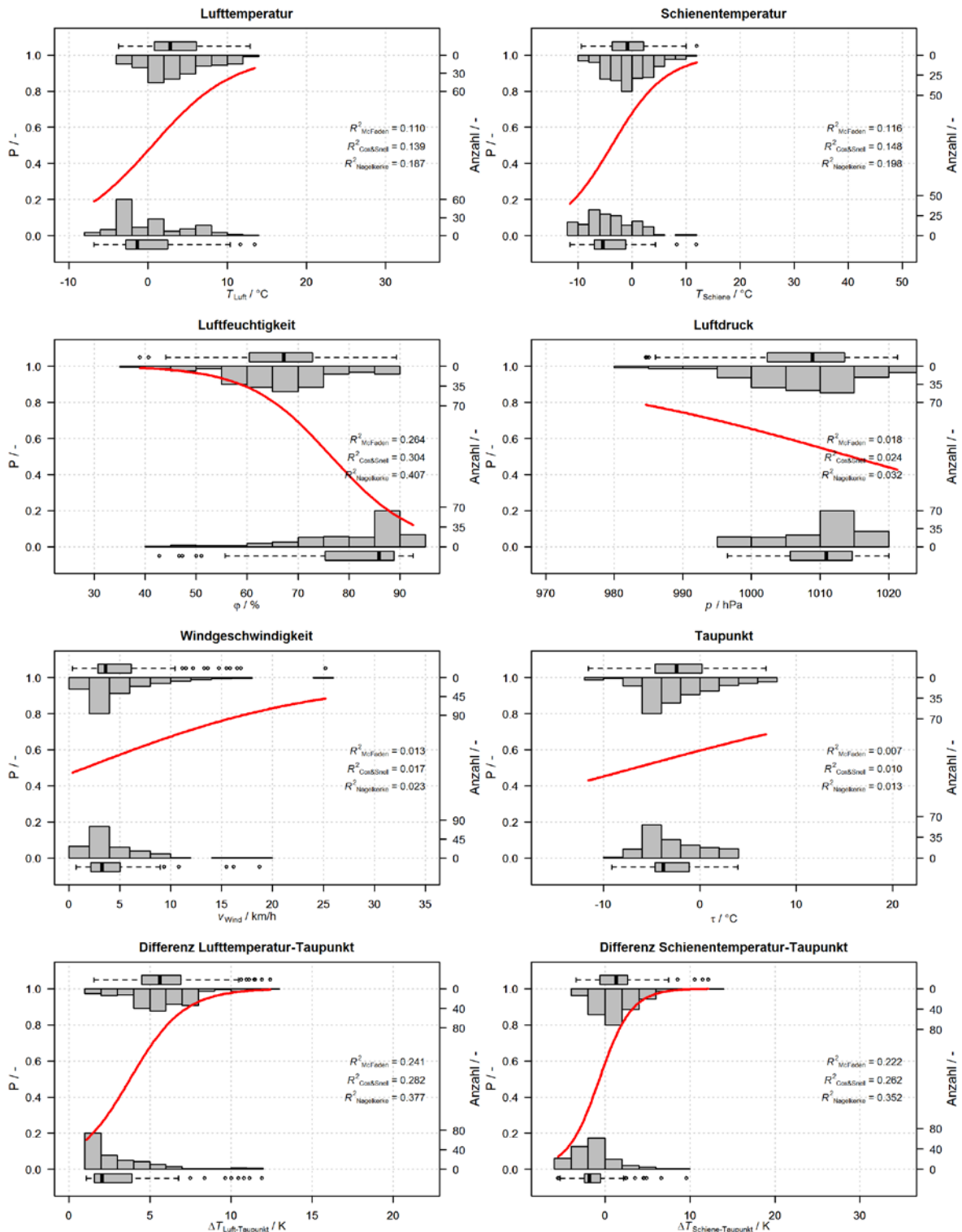


Abb. F-14: Logistische Regression in Abhängigkeit ausgewählter Witterungsparameter (rote Linien) inkl. Histogramme der zugrunde liegenden Auftrittshäufigkeiten von akustisch unauffälligen Schnellbahngarnituren der Baureihe B (jeweils unteres Histogramm) und von tonal oder breitbandig auffälligen Garnituren (jeweils oberes Histogramm) während niederschlagsfreier Phasen in MQ2 im Zeitbereich 10. Dez. 2016 bis 10. Jän. 2017 (365 Züge)